

Instituto Tecnológico  
GeoMinero de España

**INVESTIGACION GEOFISICA  
EN GAJANO (CANTABRIA).**

**Marzo, 1989**



MINISTERIO DE INDUSTRIA Y ENERGIA

**11226**

**INDICE**

	<b>Pág.</b>
1.- INTRODUCCION .....	1
2.- GEOLOGIA DE LA ZONA .....	3
3.- REALIZACION DE LA CAMPAÑA .....	7
3.1.- Medidas .....	7
3.2.- Resultados .....	8
4.- CONCLUSIONES .....	10

## **1.- INTRODUCCION**

Dentro de la programación de trabajos de investigación geológico-minera que la Sección de Rocas Industriales del Instituto Tecnológico GeoMinero de España (I.T.G.E.) desarrolla en Cantabria, al amparo del Convenio-Marco de Asistencia Técnica que el I.T.G.E. y la Diputación Regional de Cantabria suscribieron en fecha 29.3.84, se realizó el proyecto "Investigación de yesos en el País Vasco y Cantabria" (1987).

Posteriormente a la ejecución de este proyecto, el I.T.G.E. consideró necesaria la realización de una campaña de sondeos mecánicos de investigación minera para reconocer las posibilidades del área de Gajano, previa a la cual se estimó conveniente llevar a cabo una investigación geofísica por el método de Sondeos Eléctricos Verticales (S.E.V.) que, sirviendo de apoyo a los estudios previos realizados, permitiera obtener conclusiones sobre la ubicación idónea de los citados sondeos mecánicos de investigación.

Dado que la Oficina de Proyectos del I.T.G.E. en Oviedo

dispone del equipo humano y técnico necesario para desarrollar la mencionada campaña de investigación geofísica se acometió su realización, lo que da lugar a la redacción del presente informe.

## 2.- GEOLOGIA DE LA ZONA

El área de estudio, ubicada en el sector norte de Cantabria, hoja del Mapa Geológico Nacional, a escala 1:50.000, nº 35 - Santander, se sitúa en la parte noroccidental de la Cuenca Cantábrica, e incluye sedimentos mesozoicos, terciarios y cuaternarios. De acuerdo con la cartografía geológica que se adjunta en el plano nº 1 (DIAZ RODRIGUEZ y GARCIA DEL AMO, 1989) las formaciones geológicas presentes son las siguientes:

### **TRIASICO**

Aflorando de forma diapírica, lo que provoca la salida de grandes bloques de materiales jurásicos, y en gran parte recubierto por el Cuaternario, el Triásico presente en la zona de estudio, en facies Keuper, está constituido por limolitas arcillosas rojas y abigarradas con indicios de yesos variolados y frecuentes asomos ofíticos, frecuentemente alterados en superficie; estos, constituidos por masas de rocas subvolcánicas conocidas tradicionalmente como "ofitas", se clasifican petrográficamente como doloritas, corresponden a un magmatismo toleítico intraplaca y se emplazaron como sills durante el

Keuper Superior.

### **JURASICO**

Localizados como pequeñas manchas junto a las zonas diapíricas triásicas, los asomos jurásicos pertenecen al Lías y están formados por una serie inferior dolomítica, con una intercalación caliza, y una serie superior de calizas grises microcristalinas, bien estratificadas en bancos poco potentes, con ostreidos, ostrácodos y crinoideos.

### **CRETACICO INFERIOR**

- Valanginiense Superior - Hauteriviense - Barremiense en facies Weald.

Esta potente serie terrígena continental en facies Weald está representada en la zona de estudio por areniscas ocres, ferruginosas y micáceas, frecuentemente con estratificación cruzada, y limolitas arcillosas amarillentas que presentan, en ocasiones, tonos negruzcos por la presencia de materia orgánica.

- Gargasiense - Clansayense (Aptiense).

Incluido dentro de lo que en la bibliografía regional se conoce como Complejo Urgoniano, el Gargasiense-Clansayense de esta zona está constituido por calcarenitas masivas de tonos

beiges y/o calizas grises y cremas con abundantes rudistas, corales y algas constituyendo montículos arrecifales. La actividad halocinética del Keuper controló la sedimentación de esta unidad, que presenta las áreas con menor potencia de serie en localizaciones sobre los diapiros actualmente aflorantes.

### **CRETACICO SUPERIOR**

Esta unidad comprensiva, de edad Cenomaniense Medio-Santoniana, está representada por un conjunto constituido por una serie monótona de margas grises, normalmente hojosas, con intercalaciones de calizas arcillosas nodulosas.

### **CRETACICO SUPERIOR - TERCARIO INFERIOR**

Los materiales que se distinguen en la zona de estudio, calizas grises nodulosas con gasterópodos y grandes bivalvos, se incluyen en un conjunto de edad Campaniense Superior - Ilerdiense en el que las características de facies de cada uno de los pisos o tramos comprendidos son semejantes a las de sus correspondientes bien definidos en áreas relativamente próximas (serie de La Magdalena - Cabo Mayor, flanco sur del Sinclinal de S. Román).

### **CUATERNARIO**

- Depósitos restituidos por el hombre.

Los sedimentos antrópicos presentes en el área de estudio están representados por los terrenos artificialmente ganados al mar o a las marismas mediante la utilización de materiales de desecho procedentes de las minas de la región.

- Depósitos de aluvial.

Representados por el aluvial del Río Miera, estos materiales están constituidos por bolos y gravas heterogéneos, con matriz arenoso-arcillosa y abundante materia orgánica.

### **3.- REALIZACION DE LA CAMPAÑA**

#### **3.1.- MEDIDAS**

La realización de esta investigación geofísica por el método de resistividades mediante Sondeos Eléctricos Verticales (S.E.V.) se planteó como campaña de apoyo al estudio geológico-minero que lleva a cabo la Sección de Rocas Industriales del I.T.G.E. Centrándose en el área que corresponde a los afloramientos de materiales triásicos, su objetivo es la determinación de la existencia de niveles de yesos así como su disposición dentro de la serie cronoestratigráfica presente.

Para ello, se planificó la campaña de SEV situando sus emplazamientos a lo largo de 5 perfiles de dirección E-O, P-1 al P-5, y 6 perfiles de dirección N-S, P-I al P-VI. Dicha campaña geofísica, llevada a cabo utilizando el dispositivo Schlumberger, tetraelectrónico lineal simétrico, consta de 24 SEV que se agrupan en los perfiles anteriormente mencionados y cuya situación aparece reflejada en el plano nº 1.

Las longitudes finales de los dispositivos de los 24 SEV

realizados se reparten como sigue: 23 SEV con AB=200 m y 1 SEV con AB=160 m. Los azimutes se distribuyen en dos grupos: 14 SEV tienen direcciones comprendidas entre N-NO. y N-NE. y 10 SEV las tienen entre E-NE. y E-SE.

La realización de la campaña, y debido a circunstancias meteorológicas, ocupó los días 21 y 22 de Febrero y 8 y 9 de Marzo del presente año, y en ella se utilizó un equipo eléctrico convencional compuesto por los siguientes elementos: una unidad amperimétrica formada por el convertidor IGME 78-01, alimentada por una caja de pilas, y el milivoltímetro GEO-300 nº 406.

En esta campaña se siguieron las recomendaciones hechas por la Norma Española para la Prospección Geofísica Terrestre por el Método de Resistividades mediante Sondeos Eléctricos Verticales, según la cual se aumentará la distancia entre los electrodos de potencial sólo cuando se dejen de cumplir las normas establecidas para las lecturas en el milivoltímetro, que indican que éstas deben ser notables y superiores a 1/3 del fondo de escala del menor rango de lectura en aparatos analógicos.

### **3.2.- RESULTADOS**

A partir de las curvas de campo se hizo una primera interpretación, mediante el "método del punto auxiliar", utilizando los ábacos de Orellana-Mooney. Partiendo de ésta, y en un ordenador de mesa Hewlett-Packard modelo 9845 B, se

utilizó un programa de interpretación automática de SEV que posee el Servicio de Geofísica del ITGE, cuyas salidas gráficas se adjuntan.

Con los resultados de esta interpretación se confeccionaron once cortes geoeléctricos, que coinciden con los perfiles P-1 al P-5 y P-I al P-VI, en los que se agrupan los distintos SEV realizados, y que aparecen reflejados en los planos nos 2 y 3, de cortes geoeléctricos.

Como complemento, y a partir de los datos reales medidos en campo, sin ninguna interpretación previa, se dibujaron tres mapas de isorresistividades en planta en los que se muestran los valores de las resistividades aparentes obtenidas en los distintos SEV para  $AB = 20$  m,  $AB = 100$  m y  $AB = 200$  m. Esta información, que tratada cualitativamente puede apoyar las conclusiones que se obtengan de los cortes geoléctricos, se recoge en los planos nos 4, 5 y 6.

#### **4.- CONCLUSIONES**

Una vez ajustados los resultados obtenidos a partir de las interpretaciones manual y automática de las curvas de campo, se establecen dos tipos de conclusiones: cualitativas y cuantitativas.

Dentro del primer grupo se incluyen las procedentes tanto de los cortes geoeléctricos como de los planos de isorresistividades en planta.

En los cortes geoeléctricos, considerando los valores interpretados de las resistividades aparentes de cada SEV y sin tener en cuenta los depósitos cuaternarios presentes en la zona de estudio, se distinguen dos horizontes litoeléctricos incluidos dentro del Keuper:

- un nivel de limolitas arcillosas con resistividades comprendidas entre 1 y 50-55 ohmios.m, correspondiendo los valores superiores a estos a los materiales cuaternarios no diferenciados de los triásicos y situados en los metros más próximos a la superficie.

- un nivel de yesos, a los que acompañan pasadas de brechas calcáreas, cuyas resistividades se sitúan por encima de los 70 ohmios.m alcanzando algún valor superior a los 1000 ohmios.m.

En los planos de isorresistividades en planta se aprecia la evolución de la distribución de resistividades en los distintos niveles representados. En general, a medida que aumenta la profundidad se refleja un incremento de la resistividad aparente, exceptuando tres zonas que mantienen su carácter conductor: el ángulo suroccidental, el sector central de la franja norte y otra pequeña zona próxima al ángulo nororiental. No obstante, esta progresión hacia materiales más resistentes, que coincidirían con los yesos buscados, no se mantiene de forma clara en un pasillo N-S central.

En el apartado de la interpretación cuantitativa las conclusiones se refieren a los espesores y profundidades a que se encuentran los distintos niveles de yesos objeto del estudio bajo los perfiles planteados en la campaña geofísica, teniendo en cuenta que estos niveles se correlacionan, desde el punto de vista litoeléctrico, con las formaciones resistentes.

En cuanto a los espesores, y considerando los perfiles con dirección E-O, se aprecia una tendencia general que presenta los valores máximos (próximos a los 100 m) en los extremos de la zona estudiada y los mínimos (cuyo valor más bajo es de 15 m) en

el centro de la cuenca. Respecto a los perfiles de dirección N-S., estos espesores se mantienen más homogéneos (con valores entre 30 y 100 m) en los P-I, P-II, P-III y P-V; en el P-IV se mantienen por debajo de los 25 m salvo en el extremo sur, donde alcanzan valores de hasta 70 m, y en el P-VI sólo aparece el nivel resistivo en la mitad norte del perfil, acuñándose y desapareciendo entre los SEV nos 11 y 16.

Las profundidades a que se encuentra el techo del horizonte yesífero estudiado varían entre valores mínimos de 5 a 10 m en los SEV nos 1, 2, 4, 6, 11, 13 y 24 y un máximo de 80 m bajo el SEV nº 21.

Por último, se quiere dejar constancia de que el método empleado permite distinguir claramente dos horizontes litoeléctricamente contrastados pero no es capaz de diferenciar distintas litologías dentro del nivel resistivo, por lo que la presencia de brechas calcáreas que acompañan a los yesos investigados sólo será constatable a partir de los sondeos mecánicos de investigación minera.

Oviedo, Marzo de 1.989

EL AUTOR DEL INFORME



Fdo.: Miguel Luis Rodríguez González

# INSTITUTO TECNOLOGICO GEOMINERO DE ESPAÑA

Investigación eléctrica en GAJANO

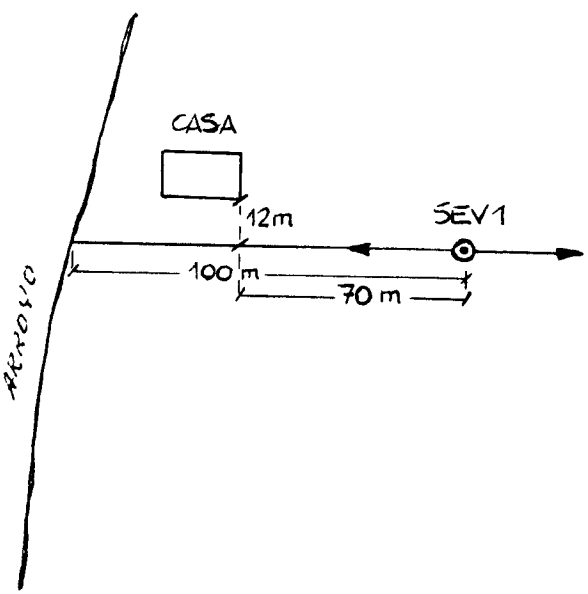
Fecha 8.3.89

Sondeo eléctrico nº 1 Azimut de AB N-65°-E Observador Sr. REBOLLAR

Coordenadas Lambert  $\left\{ \begin{array}{l} x \\ y \end{array} \right.$  Cota Z \_\_\_\_\_ Fórmula:  $\rho_a = K \frac{\Delta V}{I} \left( K = \frac{\pi}{MN} \left[ \left( \frac{AB}{2} \right)^2 \left( \frac{MN}{2} \right)^2 \right] \right)$   
Hoja nº 35

Observaciones: VER CROQUIS.

MN 2	AB 2	I		ΔV		K	ρ Ohmios m.	MN 2	AB 2	I		ΔV		K	ρ Ohmios m.
		Miliampérios	Millivoltios	Escala	I					Miliampérios	I	Escala	ΔV		
0,4	1,6	82,5	365	9,4	42			8	63	230	9,4			127	
	2	94,5	241	15,1	39				80	179	5				N-65°-E 3114
	2,5	80	131	23,9	39				100	270	5,25				N-65°-E 5823
	3,2	67	67,5	39,6	40				126						N-65°-E 7851
	4	65	42	62,2	40				160						3.103
	5	109	47	97,5	42				200						5.014
	6,3	105	29,5	155	44										7.841
	8	124	23	251	47										
	10	110	14,2	392	51										
	12,6	114	10	624	55										
0,4	10				75,4			32	160					1.206	
	12,6				122				200						1.913
	16	122	7,3	1005	60				250						3.018
	20	130	5,5	1570	66				320						4.976
	25	160	5,1	2454	78				400						7.804
	32	135	3,05	4021	91				500						12.222
	40	176	2,95	6283	105				630						19.432
	50	155	1,88	9.817	119				100	500					3.770
	40	180	14,5	1253	101				630						6.077
	50	155	9,1	1960	115				800						9.896
<u>B</u> <u>2</u>	40							1.000						15.551	
	50								1.260						24.781
								1.600						40.055	
									2.000						62.675



INSTITUTO TECNOLOGICO GEOMINERO DE ESPAÑA

Investigación eléctrica en GAJANO

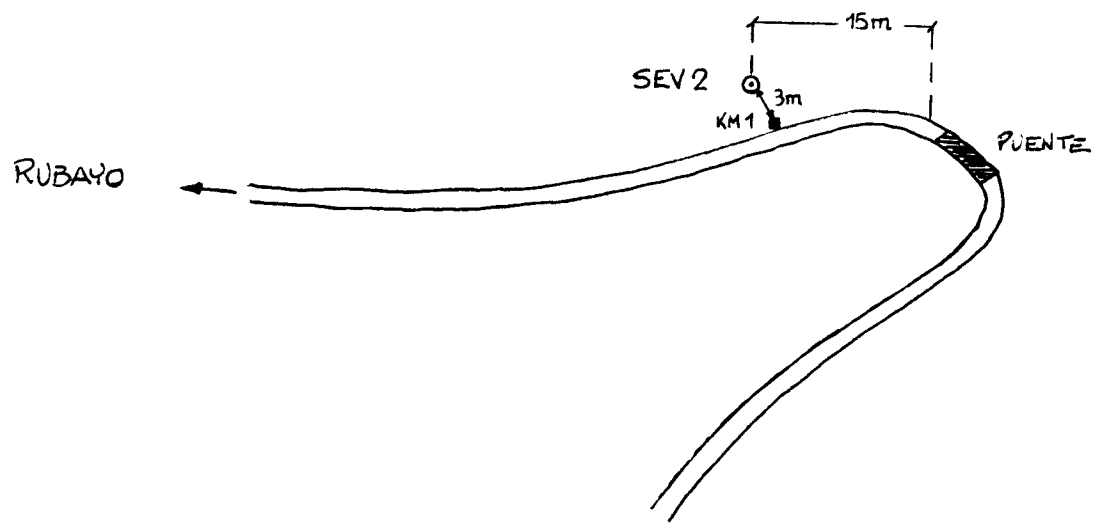
Fecha 21.2.89

Sondeo eléctrico nº 2 Azimut de AB N-63°E Observador Sr. REBOLLAR

Coordenadas Lambert  $\left\{ \begin{array}{l} x \\ y \end{array} \right.$  Cota Z  $\left. \begin{array}{l} \\ 35 \end{array} \right.$  Fórmula:  $\rho_a = K \frac{\Delta V}{I} \left( K \cdot \frac{\pi}{MN} \left[ \left( \frac{AB}{2} \right)^2 - \left( \frac{MN}{2} \right)^2 \right] \right)$

Observaciones: VER CROQUIS.

MN 2	AB 2	I		ΔV		K	ρ Ohmios m.	MN 2	AB 2	I		ΔV		K	ρ Ohmios m.
		Milliamperes	Miliampares	Escala	I					Escala	I	Millivoltios	Escala	ρ Ohmios m.	
0,4	1,6	76		400		9,4	49	32	63	250		1,9		24	
	2	73		185		15,1	38		210			1,5		3114	22
	2,5	80		117		23,9	35		80	155		0,6		NORMA 5023	19
	3,2	85		69		39,6	32		100	155		0,4		NORMA 7851	20
	4	88		43		62,2	30		126					3.103	
	5	145		44		97,5	29,5		160					5.014	
	6,3	120		23,5		155	30		200					7.841	
	8	110		13,5		251	31		32	160				1.206	
	10	77		6		392	31		200					1.913	
	12,6	81		3,7		624	29		250					3.018	
2	10	70		32		75,4	34	100	300					4.976	
	12,6	81		21,2		122	32		400					7.804	
	16	82		14		198	34		500					12.222	
	20	110		12,5		311	35		630					19.432	
	25	95		7,6		488	39		500					3.770	
	32	220		10,9		801	40		630					6.077	
	40	102		3,4		1253	42		800					9.896	
	50	120		2,1		1.960	34		1.000					15.551	
	185			3,1			33		1.260					24.781	
	40					302			1.600					40.055	
8	50					478			2000					62.675	



INSTITUTO TECNOLOGICO GEOMINERO DE ESPAÑA

Investigación eléctrica en GAJANO

Fecha 22.2.89

Sondeo eléctrico nº 3 Azimut de AB N-S Observador Sr. REBOLLAR

Coordenadas Lambert  $\left\{ \begin{array}{l} x \\ y \end{array} \right.$  Cota Z  $\left( \begin{array}{l} \text{Fórmula: } \rho_a = K \frac{\Delta V}{I} \left( K = \frac{\pi}{MN} \left[ \left( \frac{AB}{2} \right)^2 - \left( \frac{MN}{2} \right)^2 \right] \right) \end{array} \right)$   
Hoja nº 35

Observaciones: A 80 M. EL ALA N. LLEGA AL ARROYO.

M.N 2	AB 2	I		ΔV		K	ρ Ohmios m.	M.N 2	AB 2	I		ΔV		K	ρ Ohmios m.
		Miliampérios	Escala	Milivoltios	Escala					Escala	Miliampérios	Escala	Milivoltios		
0,4	1,6	105		700		9,4	63	8 2	63	225		3,3		1167 3114	46
	2	104		378		15,1	55		80	202		2,1		NIBAN 5023	52
	2,5	97		190		23,9	47		100					1.951	
	3,2	96		100		39,6	41		126					3.105	
	4	99		60,5		62,2	38		160					5.014	
	5	95		35		97,5	36		200					7.841	
	6,3	88		20		155	35		160					1.206	
	8	90		12,5		251	35		200					1.913	
	10	81		7,4		392	36		250					3.018	
	12,6	82,5		4,9		624	37		320					4.976	
0,4	10					75,4			400					7.804	
	12,6					122			500					12.222	
	16	97		3,65		1005	38		630					19.432	
	20	90		2,3		1570	40		100	500				3.770	
	25	92		1,5		2454	40		630					6.077	
	32	114		1,12		4021	40		800					9.896	
	40	165		1		6283	38		1.000					15.551	
	50	76		0,31		9817	40		1.260					24.781	
	8 2	40		132,5		2020 1253	39		1.600					40.055	
	50	75,5		1,6		1960	42		2.000					62.675	

# INSTITUTO TECNOLOGICO GEOMINERO DE ESPAÑA

Investigación eléctrica en GAJANO

Fecha 22.2.89

Sondeo eléctrico nº 4 Azimut de AB N-S Observador Sr. REBOLLAR

Coordenadas { x \_\_\_\_\_ Cota Z \_\_\_\_\_  
Lambert y \_\_\_\_\_ Hoja nº 35 Fórmula:  $\rho_a = K \frac{\Delta V}{I} \left( K \cdot \frac{\pi}{MN} \left[ \left( \frac{AB}{2} \right)^2 - \left( \frac{MN}{2} \right)^2 \right] \right)$

Observaciones:

MN 2	AB 2	I		ΔV		K	ρ Ohmios m.	MN 2	AB 2	I		ΔV		K	ρ Ohmios m.
		Milliamperios	Milivoltios	Escala	I					Escala	I	Escala	ΔV		
0,4	1,6	120	1240	9,4	97			8 2	63	260	11			132	
	2	135	760	15,1	85				80	214	6,25		NIRMIN 5023	147	
	2,5	180	610	23,9	81				100	194	4,2		NIRMIN 7851	170	
	3,2	180	274	39,6	60				126		3.103				
	4	155	135	62,2	54				160		5.014				
	5	195	104	97,5	52				200		7.841				
	6,3	140	47	155	52				32	160	1.206				
	8	160	38	251	59					200	1.913				
	10	170	28,5	392	66					250	3.018				
	12,6	134	17	624	79					320	4.976				
0,4	10				75,4			100	400		7.804				
	12,6				122				500		12.222				
	16	149	13	1005	88				630		19.432				
	20	140	8,5	1570	95				500		3.770				
	25	130	5,3	2454	100				630		6.077				
	32	156	4,35	4021	112				800		9.896				
	40	124	2,33	6283	118				1.000		15.551				
	50	126	1,65	9817	129				1.260		24.781				
	40	124	12	1253	121				1.600		40.055				
	50	128	8,4	1960	129				2.000		62.675				

INSTITUTO TECNOLOGICO GEOMINERO DE ESPAÑA

Investigación eléctrica en GAJANO

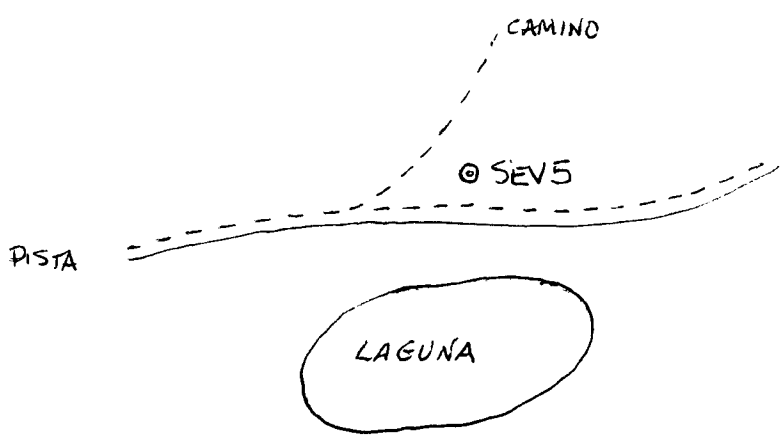
Fecha 7.2.89

Sondeo eléctrico nº 5 Azimut de AB N-62°-E Observador Sr. REBOLLAR

Coordenadas Lambert  $\left\{ \begin{array}{l} x \\ y \end{array} \right.$  Cota Z  $\left\{ \begin{array}{l} \text{Hoja n°} \\ 35 \end{array} \right.$  Fórmula:  $\rho_a = K \frac{\Delta V}{I} \left( K = \frac{\pi}{MN} \left[ \left( \frac{AB}{2} \right)^2 \left( \frac{MN}{2} \right)^2 \right] \right)$

Observaciones: VER CROQUIS.

MN 2	AB 2	I		ΔV		K	ρ Ohmicas m.	MN 2	AB 2	I		ΔV		K	ρ Ohmicas m.
		Miliampares	Millivoltios	Escala	I					Escala	I	Escala	ΔV		
0,4	1,6	122	1830	9,4	141			8 2	63	115	4,65			126	
	2	80	552	15,1	104				80	130	3,65			141	
	2,5	85	260	23,9	73				100	200	4			157	
	3,2	90	117	39,6	51				126					3.103	
	4	80	53,5	62,2	42				160					5.014	
	5	90	33	97,5	36				200					7.841	
	6,3	105	23	155	34				32					1.206	
	8	120	16,4	251	34									1.913	
	10	85	7,9	392	36									3.018	
	12,6	95	6	624	39									4.976	
0,2	10				75,4			100	160					7.804	
	12,6				122				200					12.222	
	16	94	4,1	1005	44				250					19.432	
	20	105	3,45		52				320					3.770	
	25	50	1,2	2454	59				400					6.077	
	32	135	2,35		70				500					9.896	
	40	240	3,15	6283	82				630					15.551	
	50	200	2,57		81				800					24.781	
	50	170	1,65	9817	95				1.000					40.055	
	40	195	14		90				1.260					62.675	
	50	140	7,5		105				1.600						



INSTITUTO TECNOLOGICO GEOMINERO DE ESPAÑA

Investigación eléctrica en GAJANO

Fecha 8.3.89

Sondeo eléctrico nº 6 Azimut de AB N-15°E Observador Sr. REBOLLAR

Coordenadas { x \_\_\_\_\_ Cota Z \_\_\_\_\_  
Lambert y \_\_\_\_\_ Hoja nº 35 Fórmula:  $\rho_a = K \frac{\Delta V}{I} \left( K = \frac{\pi}{MN} \left[ \left( \frac{AB}{2} \right)^2 - \left( \frac{MN}{2} \right)^2 \right] \right)$

Observaciones:

MN 2	AB 2	I		ΔV		K	ρ Ohmios m.	MN 2	AB 2	I		ΔV		K	ρ Ohmios m.
		Miliampérios	Millivoltios	Escala	I					Miliampérios	I	Escala	ΔV		
0,4	1,6	132,5	595	9,4	42	82	82	32	63	165	7	1187 3114	132	132	
	2	109	300	15,1	42				80	190	5,3	1187 5029	140		
	2,5	117	190	23,9	39				100	170	3,3	1187 7851	152		
	3,2	102	93,5	39,6	36				126			3.105			
	4	94	49	62,2	32				160			5.014			
	5	101	32,5	97,5	31				200			7.841			
	6,3	98	19	155	30				160			1.206			
	8	129	17	251	33				200			1.913			
	10	120	11,4	392	37				250			3.018			
	12,6	145	9,8	624	42				320			4.976			
0,4	10				75,4	100	100	100	500			7.804		19.432	
	12,6				122				630			12.222			
	16	146	7,45	1005 1005	51				800			19.432			
	20	160	6,4	2000 1570	63				1.000			3.770			
	25	119	3,6	1000 2454	74				1.260			6.077			
	32	145	3,15	1000 4021	87				1.600			9.896			
	40	115	1,85	1000 6283	101				2.000			15.551			
	50	180	2,1	1000 9817	115				2.400			24.781			
	40	113	9,5	2000 1253	105				3.000			40.055			
	50	175	10,5	1000 1960	118				3.600			62.675			

INSTITUTO TECNOLOGICO GEOMINERO DE ESPAÑA

Investigación eléctrica en GAJANO

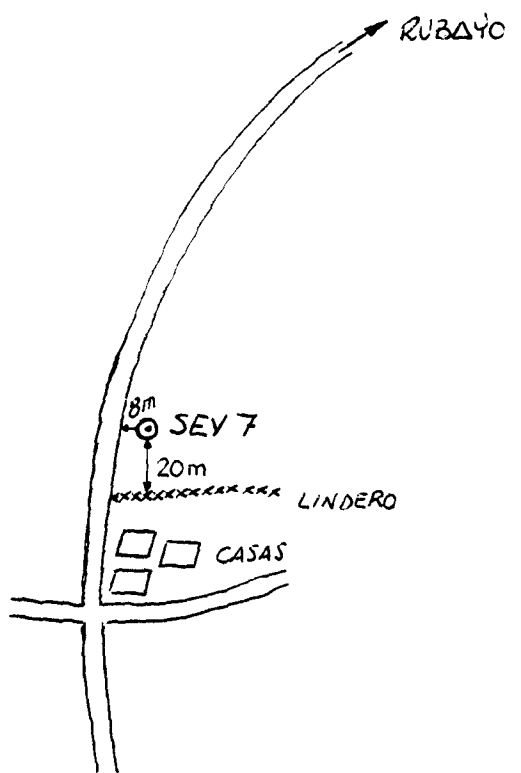
Fecha 21.2.89

Sondeo eléctrico nº 7 Azimut de AB N-S Observador Sr. REBOLLAR

Coordenadas Lambert  $\left\{ \begin{array}{l} x \\ y \end{array} \right.$  Cota Z  $\left\{ \begin{array}{l} \text{Fórmula: } \rho_a = K \frac{\Delta V}{I} \left( K \cdot \frac{\pi}{MN} \left[ \left( \frac{AB}{2} \right)^2 - \left( \frac{MN}{2} \right)^2 \right] \right) \\ \text{Hoja nº } 35 \end{array} \right.$

Observaciones: VER CROQUIS.

MN 2	AB 2	I		ΔV		K	ρ Ohmios m.	MN 2	AB 2	I		ΔV		K	ρ Ohmios m.
		Milliamperios	Miliampereas	Escala	ΔV					Escala	ΔV	Escala	ΔV		
0,4	1,6	195		2100		9,4	101	32	63	185		3,55		1187 3114	60
	2	190		1450		15,1	115		80	285		3,2		Nº 444 5023	56
	2,5	170		920		23,9	129		100	210		1,4		Nº 444 7851	52
	3,2	170		600		39,6	140		126			3.103			
	4	195		475		62,2	152		160			5.014			
	5	180		286		97,5	155		200			7.841			
	6,3	260		234		155	140								
	8	225		115		251	128								
	10	200		55,5		392	109								
	12,6	183		30		624	102								
0,4	10					75,4		100							
	12,6					122									
	16	128		12		1005	94								
	20	183		11,1		1570	98								
	25	230		8,9		2454	95		500			3.770			
	175			6,9			97		630			6.077			
	32	128		3,1		4021	97		800			9.896			
	40	155		2,2		6283	89		1.000			15.551			
	50	168		1,35		9817	79		1.260			24.781			
	82	40		8,1		1253	75		1.600			40.055			
	50	167		5,85		1960	69		2.000			62.675			



# INSTITUTO TECNOLOGICO GEOMINERO DE ESPAÑA

Investigación eléctrica en GAJANO

Fecha 22.2.89

Sondeo eléctrico nº 8 Azimut de AB N-172°-E Observador Sr. REBOLLAR

Coordenadas  $\left\{ \begin{array}{l} x \\ y \end{array} \right.$  Cota Z  $\left\{ \begin{array}{l} \text{Lambert} \\ \text{Hoja n°} \end{array} \right.$  Fórmula:  $\rho_a = K \frac{\Delta V}{I} \left( K = \frac{\pi}{MN} \left[ \left( \frac{AB}{2} \right)^2 - \left( \frac{MN}{2} \right)^2 \right] \right)$

Observaciones:

MN 2	AB 2	I		ΔV		K	ρ Ohmios m.	MN 2	AB 2	I		ΔV		K	ρ Ohmios m.
		Miliampérios	Millivoltios	Escala	I					Miliampérios	I	Escala	ΔV		
0,4	1,6	130	220	9,4	16			32	63	165	2,85			54	
	2	130	140	15,1	16				80	178	2,06			58	
	2,5	175	126	23,9	17				100	115	0,92			63	
	3,2	102,5	49	39,6	19				126					3.103	
	4	95	32	62,2	21				160					5.014	
	5	95	22,9	97,5	23,5				200					7.841	
	6,3	89	14,4	155	25				320					4.976	
	8	105	11,6	251	27,7				400					7.804	
	10	108	8,35	392	30				500					12.222	
	12,6	93,5	4,6	624	31				630					19.432	
0,4	10				75,4			100	500					3.770	
	12,6				122				630					6.077	
	16	91	2,9	1005	32				800					9.896	
	20	112,5	2,45	1570	34				1.000					15.551	
	25	140	2,05	2454	36				1.260					24.781	
	32	132,5	1,27	4021	39				1.600					40.055	
	40	122,5	0,83	6283	43				2.000					62.675	
	50	165	0,76	9817	45										
	82	40	122,5	1253	47										
	50	165	4,3	1960	51										

INSTITUTO TECNOLOGICO GEOMINERO DE ESPAÑA

Investigación eléctrica en GAJANO

Fecha 22.2.89

Sondeo eléctrico nº 9 Azimut de AB N-33° E Observador Sr. REBOLLAR

Coordenadas Lambert  $\left\{ \begin{array}{l} x \\ y \end{array} \right.$  Cota Z 35 Fórmula:  $\rho_d = K \frac{\Delta V}{I} \left( K \cdot \frac{\pi}{MN} \left[ \left( \frac{AB}{2} \right)^2 - \left( \frac{MN}{2} \right)^2 \right] \right)$

Observaciones: A 20 M. DE LA CARRETERA.

MN 2	AB 2	I		ΔV		K	ρ Ohmios m.	MN 2	AB 2	I		ΔV		K	ρ Ohmios m.
		Milliamperes	Millivoltios	Escala	I					Escala	I	Escala	ΔV		
0,4	1,6	116	1350	9,4	109			8 2	63	250	5,45			68	
	2	140	785	15,1	85				80	176	2,7				
	2,5	155	560	23,9	86				100	34	0,35				
	3,2	140	266	39,6	75				126						
	4	150	160	62,2	66				160						
	5	138	86	97,5	61				200						
	6,3	139	48	155	54				32						
	8	180	36,5	251	51					160					
	10	206	26	392	49					200					
	12,6	180	14,1	624	49					250					
0,4	10				75,4			100	320					4.976	
	12,6				122				400						
	16	182,5	8,9	Nº 1005	49				500						
	20	185	6		51				630						
	25	160	3,35	Nº 2454	51				500						
	32	165	2,2		54				630						
	40	174	1,65	Nº 6283	60				800						
	50	165	1,15		68				1.000						
8 2	40	144	6,4	Nº 1253	56				1.260						
	50	162	5,1		62				1.600						
									2.000						

# INSTITUTO TECNOLOGICO GEOMINERO DE ESPAÑA

Investigación eléctrica en GAJANO

Fecha 8.3.89

Sondeo eléctrico nº 10 Azimut de AB N-5 Observador Sr. REBOLLAR

Coordenadas  $\left\{ \begin{array}{l} x = \dots \\ y = \dots \end{array} \right.$  Cota Z =  $\dots$  Fórmula:  $\rho_a = K \frac{\Delta V}{l} \left( K = \frac{\pi}{MN} \left[ \left( \frac{AB}{2} \right) \frac{2}{l} \left( \frac{MN}{2} \right)^2 \right] \right)$

### **Observaciones :**

MN 2	AB 2	I		$\Delta V$		K	$P_{\text{Ohmies}}$ m.	MN 2	AB 2	I		$\Delta V$		K	$P_{\text{Ohmies}}$ m.						
		Milliamperes		Millivolts						Escale		Escale									
		Escale	I	Escale	$\Delta V$					Escale	I	Escale	$\Delta V$								
0,4	1,6	130		185		9,4	13,4	8 2	63	100		1,02		32							
		2		138		15,1	13,2			100		0,71									
		2,5		108		63	23,9			129		0,68									
		3,2		124		40	39,6			160		5,014									
		4		120		26,5	62,2			200		7,841									
		5		120		17,5	97,5			160		1.206									
		6,3		175		15,7	155			200		1.913									
		120				10,6				250		3.018									
		8		180		10	251			320		4.976									
		10		180		6,5	392			400		7.804									
0,4	12,6	122,5		3		624	15,3			500		12.222									
		10								630		19.432									
		12,6								100	500		3.770								
		16		108		1,75	198 1005			630			6.077								
		20		106		1,2	201 1570			800			9.896								
		25		105		0,8	198 2454			1.000			15.551								
		32		95		0,5	201 4021			1.260			24.781								
		40		120		0,46	1201 6283			1.600			40.055								
		50		109		0,3	198 9817			2.000			62.675								
		40		130		2,5	201 1253														
8 2	50	108		1,5		27,2															

INSTITUTO TECNOLOGICO GEOMINERO DE ESPAÑA

Investigación eléctrica en GAJANO

Fecha 9.3.89

Sondeo eléctrico nº 11 Azimut de AB N-S Observador Sr. REBOLLAR

Coordenadas Lambert  $\left\{ \begin{array}{l} x \\ y \end{array} \right.$  Cota Z 35 Fórmula:  $\rho_a = K \frac{\Delta V}{I} \left( K = \frac{\pi}{MN} \left[ \left( \frac{AB}{2} \right)^2 - \left( \frac{MN}{2} \right)^2 \right] \right)$

Observaciones:

MN 2	AB 2	I		ΔV		K	ρ Ohmios m.	MN 2	AB 2	I		ΔV		K	ρ Ohmios m.						
		Milliamperes		Millivoltios						Milliamperes		Millivoltios									
		Escala	I	Escala	ΔV					Escala	I	Escala	ΔV								
0,4	1,6		86		550	9,4	60	8	63		122		8,2	767	52						
	2		82		298	13,1	55		80		87		3,3	1.244	47						
	2,5		67		135	23,9	48		100		93		2,3	1.951	48						
	3,2		59		61,5	39,6	42		94		2,4		2,4		50						
	4		65		38	62,2	36		126					3.103							
	5		69		24	97,5	34		160					5.014							
	6,3		70		14,6	155	32		200					7.841							
	8		77		10,3	251	34		32	160					1.206						
	10		81		7,5	392	36		200						1.913						
	12,6		91		5,6	624	38		250						3.018						
2	10		81		40	75,4	37	100	320						4.976						
	12,6		91		29,5	122	40		400						7.804						
	16		73		15,5	198	42		500						12.222						
	20		92		13,5	311	46		630						19.432						
	25		91		9,3	488	50		500						3.770						
	32		98		6,6	801	54		630						6.077						
	40		132		6,1	1253	58		800						9.896						
	50		150		4,3	1.960	56		1.000						15.551						
8	40		135		23,5	302	53		1.260						24.781						
	50		150		16,5	478	53		1.600						40.055						
									2.000						62.675						

# INSTITUTO TECNOLOGICO GEOMINERO DE ESPAÑA

Investigación eléctrica en GAJANO

Fecha 8.3.89

Sondeo eléctrico nº 12 Azimut de AB N-135°-E Observador Sr. REBOLLAR

Coordenadas  $\left\{ \begin{array}{l} x \\ y \end{array} \right.$  Cota Z  $\left\{ \begin{array}{l} \text{Lambert} \\ \text{Hoja n° 35} \end{array} \right.$  Fórmula:  $\rho_a = K \frac{\Delta V}{I} \left( K = \frac{\pi}{MN} \left[ \left( \frac{AB}{2} \right)^2 \left( \frac{MN}{2} \right)^2 \right] \right)$

Observaciones:

MN 2	AB 2	I		ΔV		K	ρ Ohmios m.	MN 2	AB 2	I		ΔV		K	ρ Ohmios m.
		Miliampérios Escala	I	Millivoltios Escala	ΔV					Miliampérios Escala	I	Millivoltios Escala	ΔV		
0,4	1,6	65		305		9,4	44	32	63	150		6,7		139 3114	
	2	72		195		15,1	41		80	210		6,2			148 5023
	2,5	74		124		23,9	40		100	225		4,4			154 7051
	3,2	75		78		39,6	41		126						3.105
	4	75,5		50		62,2	41		160						5.014
	5	70		30,5		97,5	42		200						7.841
	6,3	76		21,7		155	44		160						1.206
	8	79		15,4		251	49		200						1.913
	10	73		10		392	54		250						3.018
	12,6	75		7,2		624	60		320						4.976
0,4	10					75,4		100	500					7.804 12.222 19.432 3.770 6.077 9.896 15.551 24.781 40.055 62.675	
	12,6					122			630						
	16	83		5,7		1005	69		800						
	20	92		4,5		1570	77		1.000						
	25	83		3,05		2454	90		1.260						
	32	96		2,47		4021	103		1.600						
	40	142,5		2,6		6283	115		2.000						
	50	137		1,76		9817	126								
	40	142,5		12,7		1253	112								
	50	136		8,9		1960	128								

# INSTITUTO TECNOLOGICO GEOMINERO DE ESPAÑA

Investigación eléctrica en GAJANO

Fecha 21.2.89

Sondeo eléctrico n° 13 Azimut de AB N-15°-E Observador Sr. REBOLLAR

Coordenadas Lambert  $\left\{ \begin{array}{l} x \\ y \end{array} \right.$  Cota Z 35 Fórmula:  $\rho_a = K \frac{\Delta V}{I} \left( K = \frac{\pi}{MN} \left[ \left( \frac{AB}{2} \right)^2 - \left( \frac{MN}{2} \right)^2 \right] \right)$

Observaciones:

MN 2	AB 2	I		ΔV		K	ρ Ohmios m.	MN 2	AB 2	I		ΔV		K	ρ Ohmios m.
		Milliamperes		Millivoltios						Milliamperes	I	Escala	ΔV		
0,4	1,6	370		1300		9,4	33	32	63	300		8,3		7111 3114	86
	2	340		715		15,1	32		80	210		3,2		NIKON 5023	77
	2,5	340		440		23,9	31		100	295		2,65		NIKON 7851	71
	3,2	450		345		39,6	30		126					3.105	
	4	430		210		62,2	30		160					5.014	
	5	410		138		97,5	33		200					7.841	
	6,3	390		91		155	36		32	160				1.206	
	8	350		60		251	43		200					1.913	
	10	350		43,5		392	49		250					3.018	
	12,6	350		32		624	57		320					4.976	
0,4	10					75,4		100	400					7.804	
	12,6					122			500					12.222	
	16	420		25,9		198	62		630					19.432	
	20	360		17,3		311	75		500					3.770	
	25	415		14,5		488	86		630					6.077	
	32	245		5,8		801	95		800					9.896	
	40	299		5,2		1253	109		1.000					15.551	
	50	355		4,3		1.960	119		1.260					24.781	
	40	299		19,6		2000 1253	82		1.600					40.055	
	50	360		16		ANALY 1960	87		2.000					62.675	

# INSTITUTO TECNOLOGICO GEOMINERO DE ESPAÑA

Investigación eléctrica en GATANO

Fecha 22.2.89

Sondeo eléctrico nº 14 Azimut de AB N-120°-E Observador Sr. REBOLLAR

Coordenadas Lambert  $\left\{ \begin{array}{l} x \\ y \end{array} \right.$  Cota Z  $\left\{ \begin{array}{l} \text{Fórmula: } \rho_a = K \frac{\Delta V}{I} \left( K = \frac{\pi}{MN} \left[ \left( \frac{AB}{2} \right)^2 - \left( \frac{MN}{2} \right)^2 \right] \right) \\ \text{Hoja nº } 35 \end{array} \right.$

Observaciones:

MN 2	AB 2	I		ΔV		K	ρ Ohmios m.	MN 2	AB 2	I		ΔV		K	ρ Ohmios m.
		Miliampérios	Miliampérios	Escala	I					Escala	I	Escala	ΔV		
0,4	1,6	105		775		9,4	69	32	63	285		11,5		126	
	2	154		650		15,1	64		80	210		5,05		121	
	2,5	135		350		23,9	62		212	212		5,15		122	
	3,2	130		196		39,6	60		100	2425		3,85		125	
	4	125		114		62,2	54		126					3.105	
	5	121		72		97,5	58		160					5.014	
	6,3	154		55,5		155	56		200					7.841	
	8	145		34		251	59		160					1.206	
	10	142		22,5		392	62		200					1.913	
	12,6	195		21,5		624	69		250					3.018	
0,4	10					75,4			320					4.976	
	12,6					122			400					7.804	
	16	130		9,8		1005	76		500					12.222	
	20	132,5		7,4		1570	88		630					19.432	
	25	115		4,5		2454	96		100	500				3.770	
	32	145		3,8		4021	105		630					6.077	
	40	137		2,5		6283	115		800					9.896	
	50	150		1,83		9817	120		1.000					15.551	
	40	135		11,9		1253	110		1.260					24.781	
	50	149		8,6		1960	113		1.600					40.055	
									2.000					62.675	

# INSTITUTO TECNOLOGICO GEOMINERO DE ESPAÑA

Investigación eléctrica en GAJANO

Fecha 8.3.89

Sondeo eléctrico n° 15 Azimut de AB N-60°-E Observador Sr. REBOLLAR

Coordenadas  $\left\{ \begin{array}{l} x = \dots \\ y = \dots \end{array} \right.$  Cota Z  $= \dots$  Fórmula:  $\rho_a = K \frac{\Delta V}{I} \left( K = \frac{\pi}{MN} \left[ \left( \frac{AB}{2} \right)^2 \left( \frac{MN}{2} \right)^2 \right] \right)$   
 Lambert Hoja n° 35

### **Observaciones:**

MN 2	AB 2	I		ΔV		K	P Ohmico m.	MN 2	AB 2	I		ΔV		K	P Ohmico m.								
		Milliamperes		Millivolts						Milliamperes		Millivolts											
		Escala	I	Escala	ΔV					Escala	I	Escala	ΔV										
0,4	1,6	41		160		9,4	37	2	63	53		1		2	59								
		41		101		15,1	37			58		0,69			12000 3114	60 59							
		37		60		23,9	39			56		0,66			N 1000 5023	67							
		43		44		39,6	41			60		0,51			N 1000 7851	67							
		37,5		25,5		62,2	42			126					3.105								
		45		20		97,5	43			160					5.014								
		40,5		11,2		155	43			200					7.841								
		38,5		6,9		251	45																
		38		4,5		392	46																
		41		3,1		624	47																
2	10	40		22		75,4	41	32	160					32	1.206								
		41		14		122	42			200					1.913								
		37		7,9		198	42			250					3.018								
		36,5		4,85		311	41			320					4.976								
		37		3,3		488	44			400					7.804								
		37		2,1		801	45			500					12.222								
		55		2,1		1253	48			630					19.432								
		48		1,3		1.960	53			100	500				3.770								
		40				302				630					6.077								
		50				478				800					9.896								
8	40									1.000					15.551								
		50								1.260					24.781								
	40									1.600					40.055								
		50								2.000					62.675								

INSTITUTO TECNOLOGICO GEOMINERO DE ESPAÑA

Investigación eléctrica en GAJANO

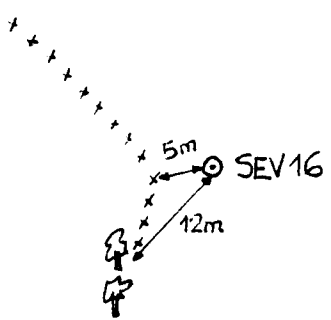
Fecha 9.3.89

Sondeo eléctrico nº 16 Azimut de AB N-2°-E Observador Sr. REBOLLAR

Coordenadas Lambert  $\left\{ \begin{array}{l} x \\ y \end{array} \right.$  Cota Z  $\left. \begin{array}{l} \\ \text{Hoja n°} \end{array} \right.$  Fórmula:  $\rho_a = K \frac{\Delta V}{I} \left( K = \frac{\pi}{MN} \left[ \left( \frac{AB}{2} \right)^2 - \left( \frac{MN}{2} \right)^2 \right] \right)$

Observaciones: VER CROQUIS.

MN 2	AB 2	I		ΔV		K	ρ Ohmios m.	MN 2	AB 2	I		ΔV		K	ρ Ohmios m.
		Miliampérios	Escala	Millivoltios	Escala					Miliampérios	Escala	Millivoltios	Escala		
0,4	1,6	82		550		9,4	63	32	63	102		0,87		767	6,5
	2	89		340		15,1	58		80	109		0,65		1.244	7,4
	2,5	78		180		23,9	55		100	110		0,5		1.951	8,9
	3,2	68		78		39,6	45		126					3.105	
	4	78		42		62,2	33		160					5.014	
	5	98		24		97,5	24		200					7.841	
	6,3	70,5		6,7		155	14,7		160					1.206	
	8	75		2,45		251	8,2		200					1.913	
	10	78		0,94		392	4,7		250					3.018	
	12,6	78		0,41		624	3,3		320					4.976	
2	10	79		5,5		75,4	5,2		400					7.804	
	12,6	79		2,75		122	4,2		500					12.222	
	16	130		2,15		198	3,3		630					19.432	
	20	120		1,35		311	3,5		100	500				3.770	
	25	106		0,85		488	3,9		630					6.077	
	32	109		0,6		801	4,4		800					9.896	
	40	100		0,4		1253	5		1.000					15.551	
	50	109		0,32		1.960	5,7		1.260					24.781	
8	40	99		1,75		302	5,3		1.600					40.055	
	50	105		1,3		478	5,9		2.000					62.675	



INSTITUTO TECNOLOGICO GEOMINERO DE ESPAÑA

Investigación eléctrica en GAJANO

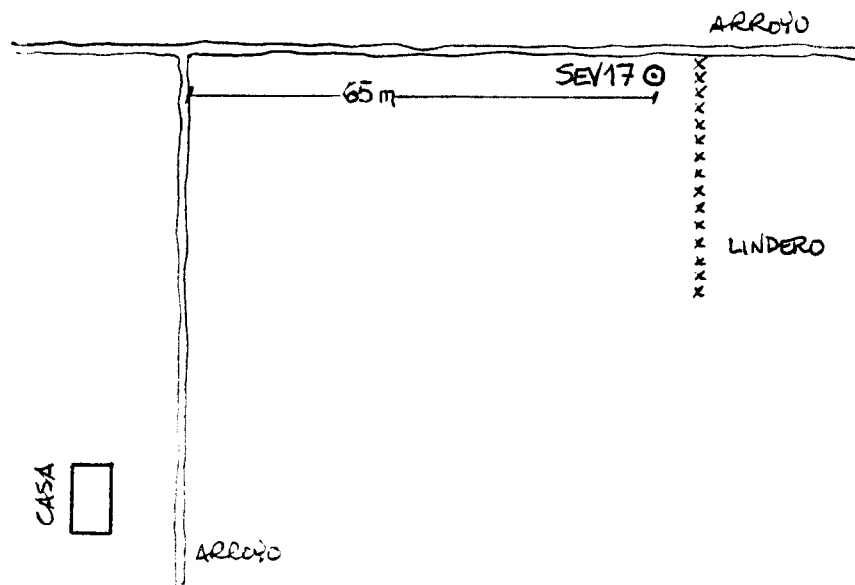
Fecha 9.3.89

Sondeo eléctrico nº 17 Azimut de AB N-156°-E Observador Sr. REBOLLAR

Coordenadas Lambert  $\left\{ \begin{array}{l} x \\ y \end{array} \right.$  Cota Z  $\left\{ \begin{array}{l} \text{Hoja n}^{\circ} \\ 35 \end{array} \right.$  Fórmula:  $\rho_a = K \frac{\Delta V}{I} \left( K \cdot \frac{\pi}{MN} \left[ \left( \frac{AB}{2} \right)^2 - \left( \frac{MN}{2} \right)^2 \right] \right)$

Observaciones: VER CROQUIS.

MN 2	AB 2	I		ΔV		K	ρ Ohmios m.	MN 2	AB 2	I		ΔV		K	ρ Ohmios m.
		Miliampieres	Escala	Millivoltios	Escala					Miliampieres	Escala	Millivoltios	Escala		
0,4	1,6	96		615		9,4	60	32	63	120		3,05		79	
	2	98		390		15,1	60		80	125		2,15		86	
	2,5	88		216		23,9	59		100	120		1,35		88	
	3,2	83		119		39,6	57		126					3.105	
	4	94		81,5		62,2	53		160					5.014	
	5	102		55		97,5	53		200					7.841	
	6,3	100		31		155	48		160					1.206	
	8	96		17,6		251	46		200					1.913	
	10	99		10,7		392	42		250					3.018	
	12,6	96		6,4		624	42		320					4.976	
0,4	10					75,4			400					7.804	
	12,6					122			500					12.222	
	16	104		4,35		1005	42		630					19.432	
	20	97		2,7		1570	44		100	500				3.770	
	25	130		2,55		1015 2454	48		630					6.077	
	32	134		1,8		1021	54		800					9.896	
	40	126		1,3		1020 6283	65		1.000					15.551	
	50	125		0,93		1040 9817	73		1.260					24.781	
	40	129		6,2		1253	60		1.600					40.055	
	50	125		4,6		1018 1960	72		2.000					62.675	



INSTITUTO TECNOLOGICO GEOMINERO DE ESPAÑA

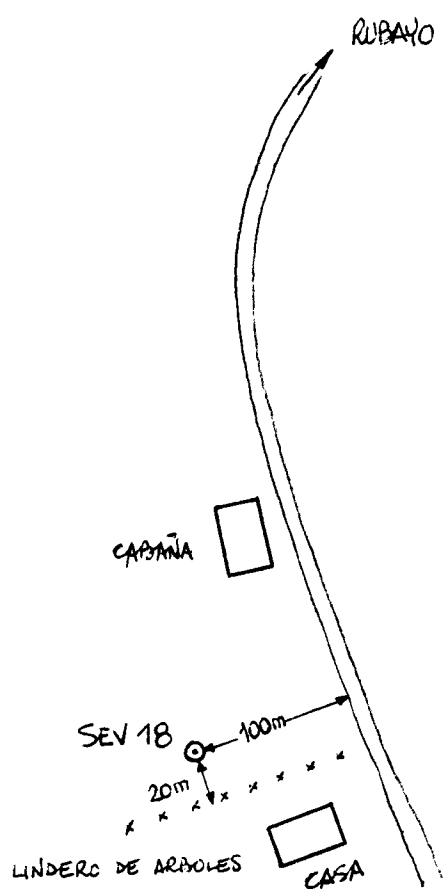
Investigación eléctrica en GAJANO Fecha 21.2.89

Sondeo eléctrico nº 18 Azimut de AB N-62°-E Observador Sr. REBOLLAR

Coordenadas  $\left\{ \begin{array}{l} x \\ y \end{array} \right.$  Cota Z  $\left\{ \begin{array}{l} \text{Lambert} \\ \text{Hoja n°} \end{array} \right.$  Fórmula:  $\rho_a = K \frac{\Delta V}{I} \left( K \cdot \frac{\pi}{MN} \left[ \left( \frac{AB}{2} \right)^2 - \left( \frac{MN}{2} \right)^2 \right] \right)$

Observaciones: VER CROQUIS.

MN 2	AB 2	I		ΔV		K	ρ Ohmios m.	MN 2	AB 2	I		ΔV		K	ρ Ohmios m.
		Miliampieres	Millivoltios	Escala	I					Miliampieres	I	Escala	ΔV		
0,4	1,6	255	685	9,4	25	$\frac{1}{2}$	63	32	63	149	3,7	1187 3114	77		
	2	295	465	15,1	24				80	189	2,75	1187 5023	73		
	2,5	250	250	23,9	24				100	262,5	2,45	1187 7851	73		
	3,2	215	140	39,6	26				126			3.105			
	4	237	101	62,2	27				160			5.014			
	5	225	67	97,5	29				200			7.841			
	6,3	240	46,5	155	30										
	8	253	33	251	33										
	10	217	19,9	392	36										
	12,6	265	17,1	624	40										
0,4	10				75,4	$\frac{1}{2}$	160	100				1.206			
	12,6				122							1.913			
	16	310	14,3	1005	46							3.018			
	20	182	6,1	1570	53							4.976			
	25	155	4	2454	63							7.804			
	32	165	2,8	4021	68							12.222			
	40	158	1,8	6283	72							19.432			
	50	110	0,87	9817	78							3.770			
	40	158	8,3	1253	66							6.077			
	50	110	4,25	1960	76							9.896			
$\frac{1}{2}$	40						500					15.551			
	50											24.781			
	40											40.055			
	50											62.675			



INSTITUTO TECNOLOGICO GEOMINERO DE ESPAÑA

Investigación eléctrica en GAJANO

Fecha 22.2.89

Sondeo eléctrico nº 19 Azimut de AB N-3°-E Observador Sr. REBOLLAR

Coordenadas Lambert  $\left\{ \begin{array}{l} x \\ y \end{array} \right.$  Cota Z  $\left\{ \begin{array}{l} \text{Fórmula: } P_a = K \frac{\Delta V}{I} \left( K = \frac{\pi}{MN} \left[ \left( \frac{AB}{2} \right)^2 - \left( \frac{MN}{2} \right)^2 \right] \right) \\ \text{Hoja nº } 35 \end{array} \right.$

Observaciones: A 20 M. DE LA CARRETERA.

MN 2	AB 2	I		ΔV		K	P Ohmios m.	MN 2	AB 2	I		ΔV		K	P Ohmios m.
		Miliampérios	Millivoltios	Escala	I					Escala	I	Escala	ΔV		
0,4	1,6	226	2140	9,4	89			8 2	63	370	5,5			46	
	2	225	1180	15,1	79				80	299	3,2			54	
	2,5	290	865	23,9	71				100	290	2,3			62	
	3,2	290 286	410 405	39,6	56				126					3.105	
	4	239	185	62,2	48				160					5.014	
	5	250	105	97,5	41				200					7.841	
	6,3	290	71,5	155	38				32	160				1.206	
	8	230	33	251	36				200					1.913	
	10	190	16	392	33				250					3.018	
	12,6	212,5	11	624	32				320					4.976	
0,4	10				75,4			100	500					7.804	
	12,6				122				630					12.222	
	16	270	8,5	1005	32				800					19.432	
	20	440	8,8		31				1.000					3.770	
	25	232	3		32				1.260					6.077	
	32	255	2,14		34				1.600					9.896	
	40	175	1,01		36				2.000					15.551	
	50	182,5	0,74		40									24.781	
	40	215	6,05	2002 1253	35									40.055	
	50	175	4,5		32									62.675	
	40	185	3,6	2000 1960	38										

# INSTITUTO TECNOLOGICO GEOMINERO DE ESPAÑA

Investigación eléctrica en GAJANO

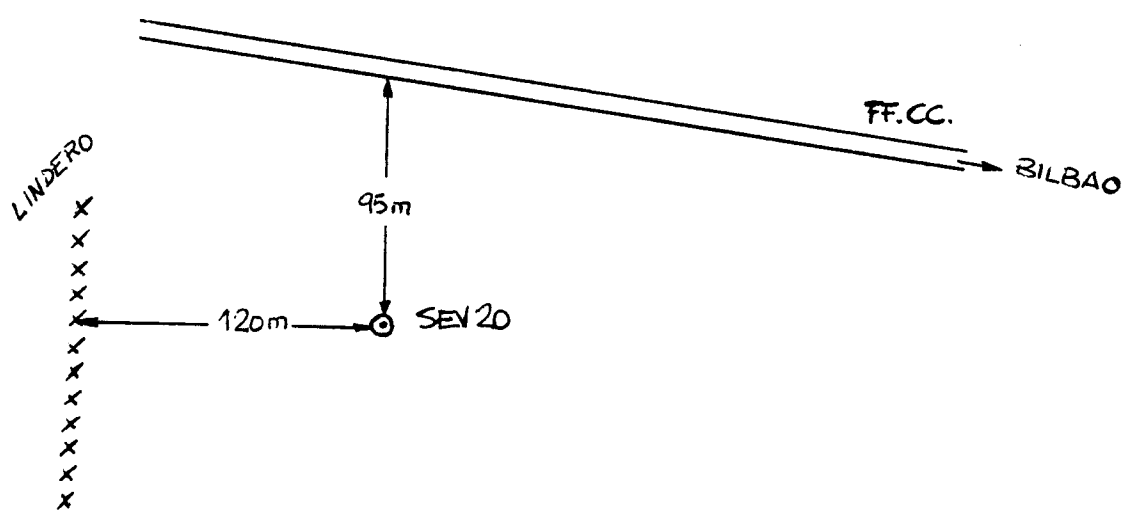
Fecha 9.3.89

Sondeo eléctrico nº 20 Azimut de AB E-O Observador Sr. REBOLLAR

Coordenadas { x \_\_\_\_\_ Cota Z \_\_\_\_\_  
Lambert y \_\_\_\_\_ Hoja nº 35 Fórmula:  $\rho_a = K \frac{\Delta V}{I} \left( K = \frac{\pi}{MN} \left[ \left( \frac{AB}{2} \right)^2 \left( \frac{MN}{2} \right)^2 \right] \right)$

Observaciones: VER CROQUIS.

MN 2	AB 2	I		ΔV		K	ρ Ohmios m.	MN 2	AB 2	I		ΔV		K	ρ Ohmios m.
		Miliampieres	Escala	Millivoltios	Escala					Escala	I	Escala	ΔV		
0,4	1,6	99		570		9,4	54	2	63	140		0,67		14,9	
	2	93		324		15,1	53		200	200		0,95			14,8
	2,5	97		195		23,9	48		80	115		0,34			14,9
	3,2	98		98		39,6	40		100	150		0,31			16,2
	4	95		50,5		62,2	33		126						3.105
	5	120		31,5		97,5	25,6		160						5.014
	6,3	102		11,8		155	17,9		200						7.844
	8	114		5,65		251	12,4		32	160					1.206
	10	117		2,8		392	9,4		200						1.913
	12,6	111		1,4		624	7,9		250						3.018
2	10	121		16		75,4	10	100	320					4.976	
	12,6	110		7,5		122	8,3		400						7.804
	16	127		5,2		198	8,1		500						12.222
	20	105		3,1		311	9,2		630						19.432
	25	115		2,4		488	10,2		500						3.770
	32	172,5		2,35		801	10,9		630						6.077
	40	106		1,05		1253	12,4		800						9.896
	50	215		1,5		1960	13,7		1.000						15.551
	40					302			1.260						24.781
	50					478			1.600						40.055
									2.000						62.675



INSTITUTO TECNOLOGICO GEOMINERO DE ESPAÑA

Investigación eléctrica en GAJANO

Fecha 8.3.89

Sondeo eléctrico nº 21 Azimut de AB N-130°E observador Sr. REBOLLAR

Coordenadas Lambert  $\left\{ \begin{array}{l} x \\ y \end{array} \right.$  Cota Z 35 Fórmula:  $P_a = K \frac{\Delta V}{I} \left( K \cdot \frac{\pi}{MN} \left[ \left( \frac{AB}{2} \right)^2 - \left( \frac{MN}{2} \right)^2 \right] \right)$

Observaciones: PROBLEMAS GRAVES DE COMPENSACION.

MN 2	AB 2	I		ΔV		K	ρ Ohmios m.	MN 2	AB 2	I		ΔV		K	ρ Ohmios m.
		Miliampérios	Milliampérios	Escala	I					Escala	I	Escala	ΔV		
0,4	1,6	135		420		9,4	29	32	63		160		2,8	<u>NAUTON</u> <u>3114</u>	54
	2	120		240		15,1	30		80		175		2		57
	2,5	115		144		23,9	30		100		115		0,9	<u>NAUTON</u> <u>7851</u>	61
	3,2	140		108		39,6	31		126						3.103
	4	110		57		62,2	32		160					5.014	
	5	85		30		97,5	34		200					7.841	
	6,3	74		15,2		155	32		160					1.206	
		73,5		15,5			33		200					1.913	
	8	80		10,5		251	33		250					3.018	
	10	96		8,15		392	35		320					4.976	
2	12,6	120		6,7		624	35		400					7.804	
	10	96		43,5		75,4	34		500					12.222	
	12,6	118		35		122	36		630					19.432	
	16	106		20,5		198	38		100	500				3.770	
	20	126		16,5		311	41		630					6.077	
	25	99		8,7		488	43		800					9.896	
	32	112		6,4		801	46		1.000					15.551	
	40	180		7		1253	49		1.260					24.781	
	50	148		3,8		1960	50		1.600					40.055	
	40					302			2.000					62.675	
8	50					478									

INSTITUTO TECNOLOGICO GEOMINERO DE ESPAÑA

Investigación eléctrica en GAJANO

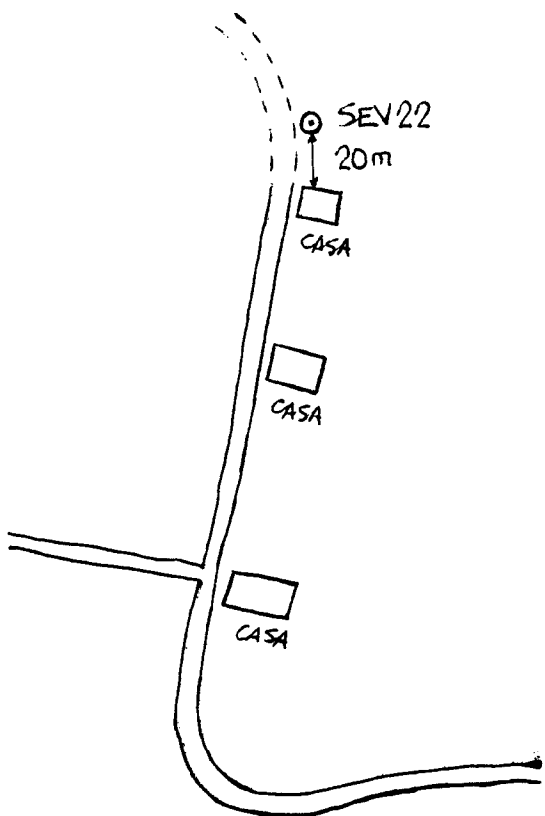
Fecha 21.2.89

Sondeo eléctrico nº 22 Azimut de AB N-105°-E Observador Sr. REBOLLAR

Coordenadas Lambert  $\left\{ \begin{array}{l} x \\ y \end{array} \right.$  Cota Z 35 Fórmula:  $\rho_a = K \frac{\Delta V}{I} \left( K = \frac{\pi}{MN} \left[ \left( \frac{AB}{2} \right)^2 - \left( \frac{MN}{2} \right)^2 \right] \right)$

Observaciones: VER CROQUIS.

MN 2	AB 2	I		ΔV		K	ρ Ohmios m.	MN 2	AB 2	I		ΔV		K	ρ Ohmios m.
		Miliampérios	Millivoltios	Escala	I					Miliampérios	Millivoltios	Escala	I		
0,4	1,6	310	550	9,4	16,7			32	63	370	7,2			61	
	2	385	445	15,1	17,5				80	260	3,5				
	2,5	549	460	23,9	20				100	140	1,25				
	3,2	280	162	39,6	23				126						
	4	518	199	62,2	24				160						
	5	460	123	97,5	26				200						
	6,3	399	69,5	155	27				32	160					
	8	430	50	251	29				200						
	10	470	36	392	30				250						
	12,6	325	16,5	624	32				320						
0,4	10				75,4			100	500					7.804	
	12,6				122				630						
	16	185	6,45	1005	35				500						
	20	120	3,1	1570	41				630						
	25	292,5	5,45	2454	46				500						
	32	292	3,8	4021	52				630						
	40	182	1,6	6283	55				800						
	50	162,5	0,97	9817	57				1.000						
	40	180	7,3	1253	51				1.260						
	50	162	4,35	1960	53				1.600						
8 2	40								2.000						
	50														



INSTITUTO TECNOLOGICO GEOMINERO DE ESPAÑA

Investigación eléctrica en GAJANO

Fecha 22.2.89

Sondeo eléctrico nº 23 Azimut de AB N-S Observador Sr. REBOLLAR

Coordenadas  $\begin{cases} x \\ y \end{cases}$  Cota Z 35 Fórmula:  $\rho_a = K \frac{\Delta V}{I} \left( K \cdot \frac{\pi}{MN} \left[ \left( \frac{AB}{2} \right)^2 - \left( \frac{MN}{2} \right)^2 \right] \right)$

Observaciones:

MN 2	AB 2	I		ΔV		K	ρ Ohmios m.	MN 2	I		ΔV		K	ρ Ohmios m.
		Miliampérios	Miliampérios	Escala	I				Miliampérios	I	Escala	ΔV		
0,4	1,6	122,5		847		9,4	65	32	63	385		12,6	1.02	1.02
	2	215		840		15,1	59		80	230		4,9	Nº 3114	107
	2,5	194		492		23,9	61		100	285		4,1	Nº 5023	113
	3,2	169		265		39,6	62		126				Nº 7851	3.105
	4	121		125		62,2	64		160				5.014	
	5	129		86		97,5	65		200				7.841	
	6,3	151		64		155	66		160				1.206	
	8	185		50		251	68		200				1.913	
	10	245		41		392	66		250				3.018	
	12,6	144		15		624	65		320				4.976	
0,4	10					75,4			400				7.804	
	12,6					122			500				12.222	
	16	192		12,6		1005	66		630				19.432	
	20	211		9,1		2000	68		500				3.770	
	25	150		4,3		2454	70		630				6.077	
	32	285		5		4021	71		800				9.896	
	40	250		3,05		6283	77		1.000				15.551	
	50	219		2,1		9817	94		1.260				24.781	
	40	196		11,7		2000	75		1.600				40.055	
	50	218		10		1960	90		2.000				62.675	

# INSTITUTO TECNOLOGICO GEOMINERO DE ESPAÑA

Investigación eléctrica en GAJANO

Fecha 8.3.89

Sondeo eléctrico n° 24 Azimut de AB N-25°-E Observador Sr. REBOLLAR

Coordenadas Lambert  $\left\{ \begin{array}{l} x \\ y \end{array} \right.$  Cota Z 35 Fórmula:  $\rho_a = K \frac{\Delta V}{I} \left( K = \frac{\pi}{MN} \left[ \left( \frac{AB}{2} \right)^2 \left( \frac{MN}{2} \right)^2 \right] \right)$

Observaciones:

MN 2	AB 2	I		ΔV		K	ρ Ohmios m.	MN 2	AB 2	I		ΔV		K	ρ Ohmios m.
		Miliampieres	Miliampieres	Escala	I					Escala	I	Escala	ΔV		
0,4	1,6	98		455		9,4	44	8 2	63	55		2		113	
	2	42		123		15,1	44		80	102		2,1		3114	
	2,5	57		106		23,9	44		100	101		1,25		5023	
	3,2	48		56		39,6	46		126					97	
	4	53		40		62,2	47		160					3.105	
	5	53		24,6		97,5	45		200					5.014	
	6,3	35		10,6		155	47							7.841	
		55		16,5			47								
	8	60		12,6		251	53		32	160				1.206	
	10	62		9,5		392	60		200					1.913	
0,4	12,6	68		7,6		624	70		250					3.018	
									320					4.976	
	10					75,4			400					7.804	
	12,6					122			500					12.222	
	16	49		4		1005	82		630					19.432	
	20	32		2,01		1570	99								
	25	44		1,95		2454	109		100	500				3.770	
	32	49		1,4		4021	115		630					6.077	
	40	48		0,85		6283	111		800					9.896	
	50	61		0,67		9817	108		1.000					15.551	
8 2	40	51		4,6		1253	113		1.260					24.781	
	50	56		3,1		1960	109		1.600					40.055	
									2.000					62.675	



INSTITUTO GEOLÓGICO  
Y MINERO DE ESPAÑA

Prospección en: GAJANO

GEOFÍSICA

Fecha: 8.3.89

Interpretación:	Z	P
	1	49
	1,8	24
	10,5	50
		195

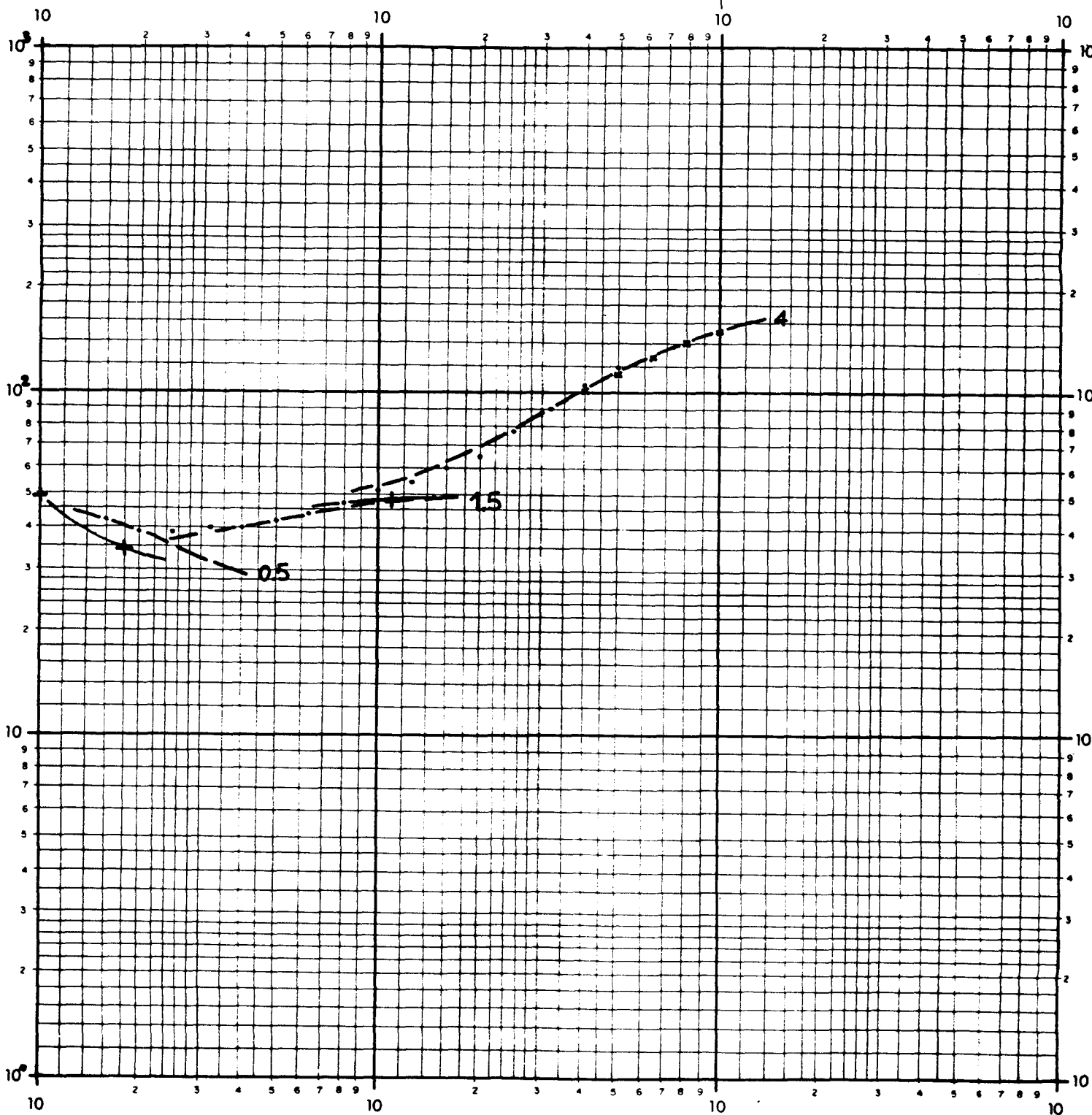
S.E.V. 1

Datos:

Azimut de AB: N - 65° E

Cota de superficie Z:

Coordenadas { X: .....  
Y: .....





INSTITUTO GEOLÓGICO  
Y MINERO DE ESPAÑA

Prospección en: GAJANO

GEOFÍSICA

Fecha: 21.2.89

S.E.V. 2

Interpretación:

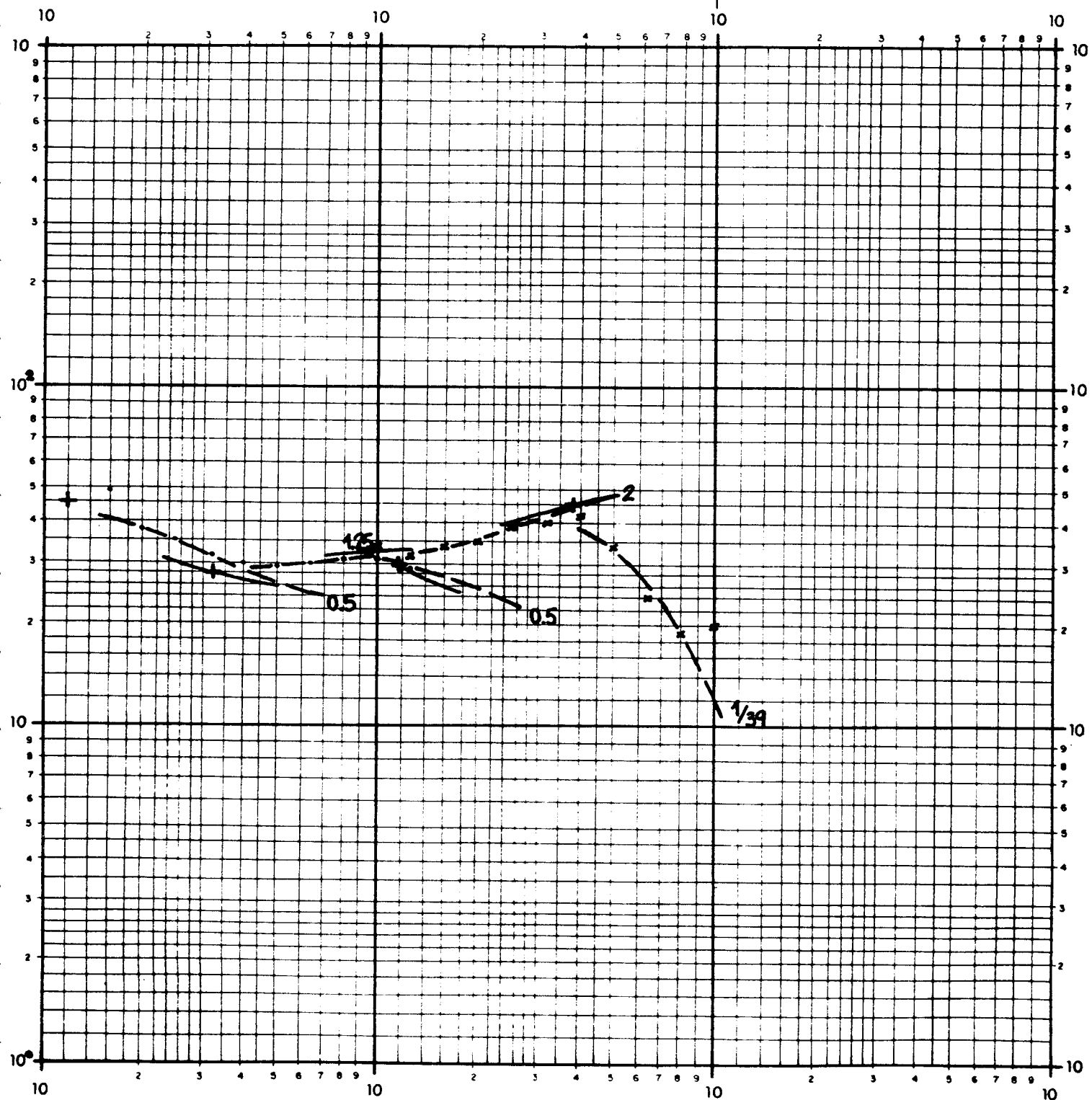
Z	P
1,2	45
3,2	23
9,3	35
11,8	16
32	60
	1

Datos:

Azimut de AB: N-63°-E

Cota de superficie Z: .....

Coordenadas { X: .....  
Y: .....





INSTITUTO GEOLOGICO  
Y MINERO DE ESPAÑA

Prospección en: GAJANO

GEOFISICA

Fecha: 22.2.89

S.E.V. 3

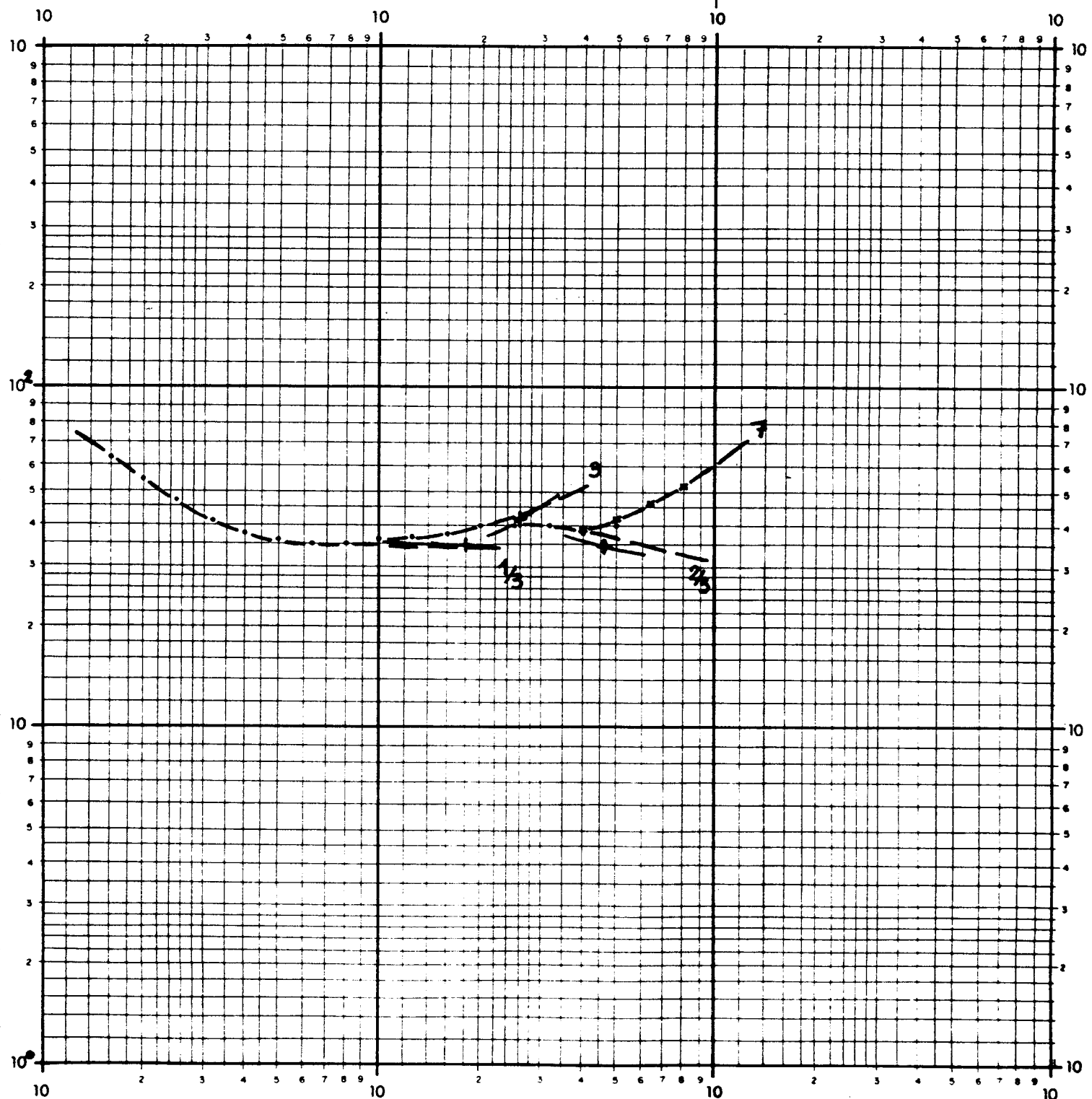
Interpretación:	Z	P
	0,7	100
	18	34
	21	102
	46	28
		250

Datos:

Azimut de AB: N-S

Cota de superficie Z:

Coordenadas { X: .....  
Y: .....





INSTITUTO GEOLÓGICO  
Y MINERO DE ESPAÑA

GEOFÍSICA

Fecha: 22.2.89

Prospección en: GAJANO

S.E.V. 4

Interpretación:

Z	P
1	122
4,8	41
>30	148
>250	

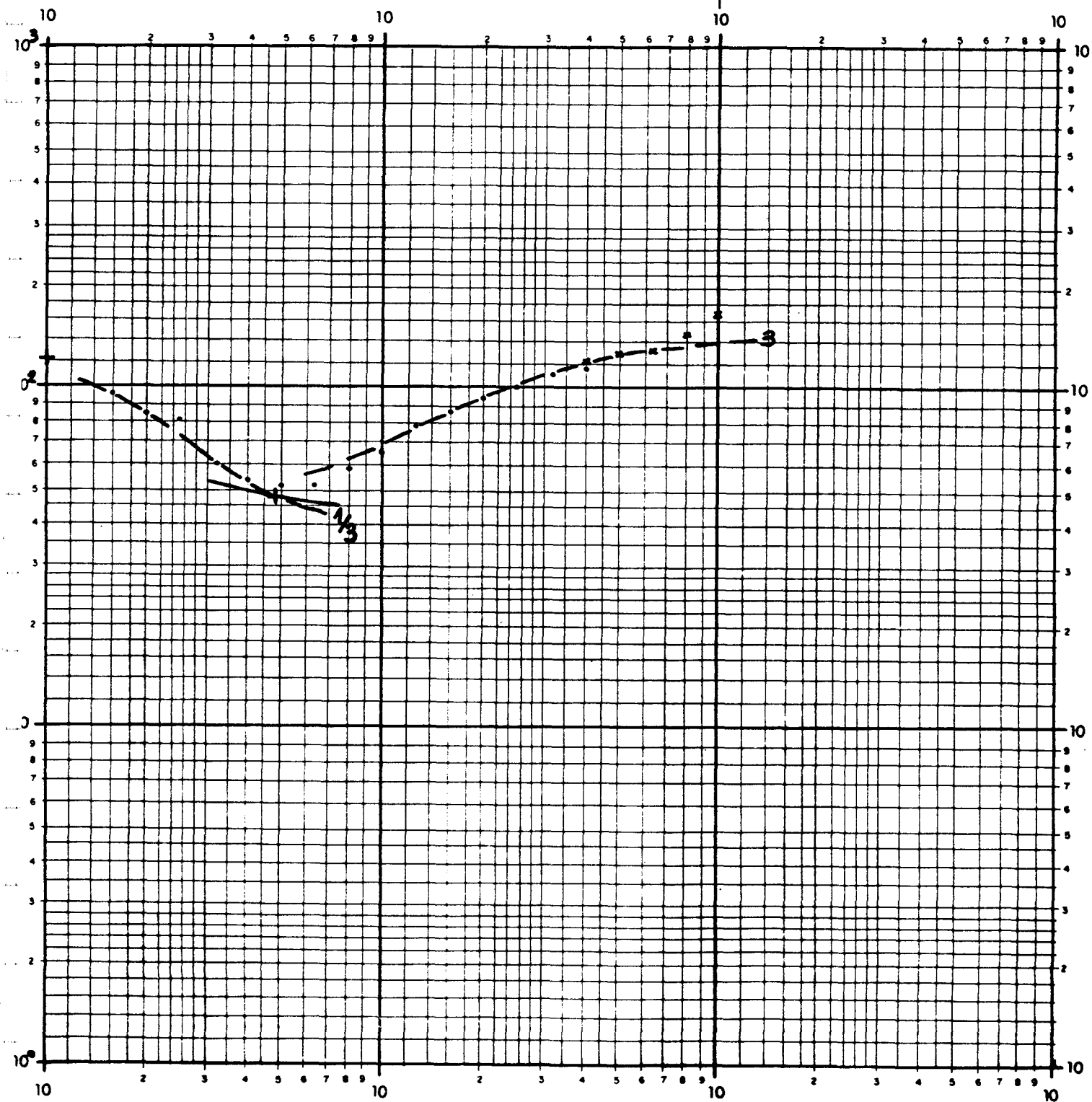
Datos:

Azimut de AB: N-S

Cota de superficie Z: .....

Coordenadas { X: .....

Y: .....





INSTITUTO GEOLOGICO  
Y MINERO DE ESPAÑA

Prospección en: GAJANO

GEOFISICA

Fecha: 7.2.89

S.E.V. 5

Interpretación:

Z	P
0,75	305
13,4	34

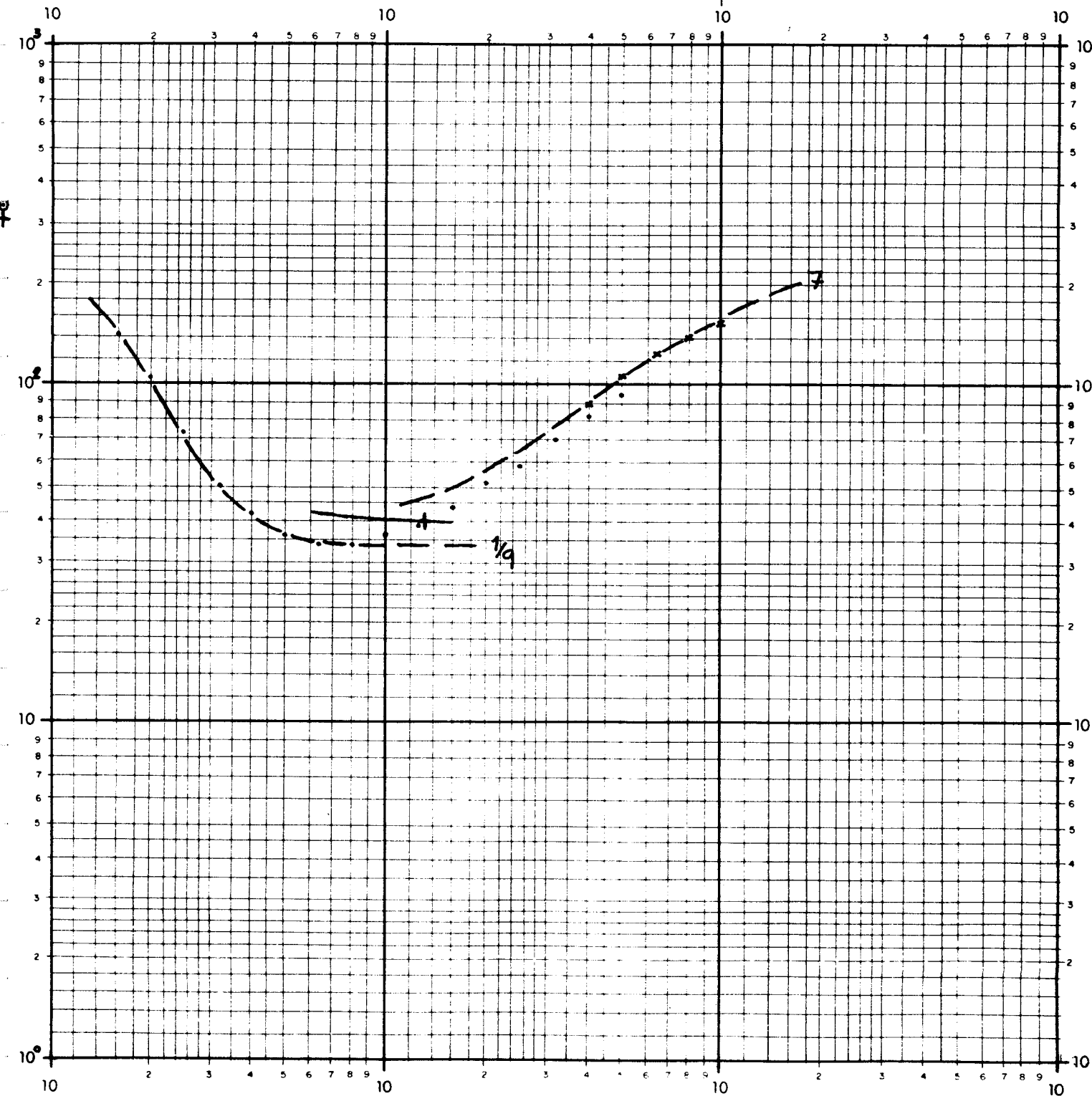
290

Datos:

Azimut de AB: N-62°-E

Cota de superficie Z:

Coordenadas { X: .....  
Y: .....





INSTITUTO GEOLÓGICO  
Y MINERO DE ESPAÑA

Prospección en: GAJANO

GEOFÍSICA

Fecha: 8.3.89

S.E.V. 6

Interpretación:  $\frac{Z}{\rho}$   $\frac{\rho}{P}$

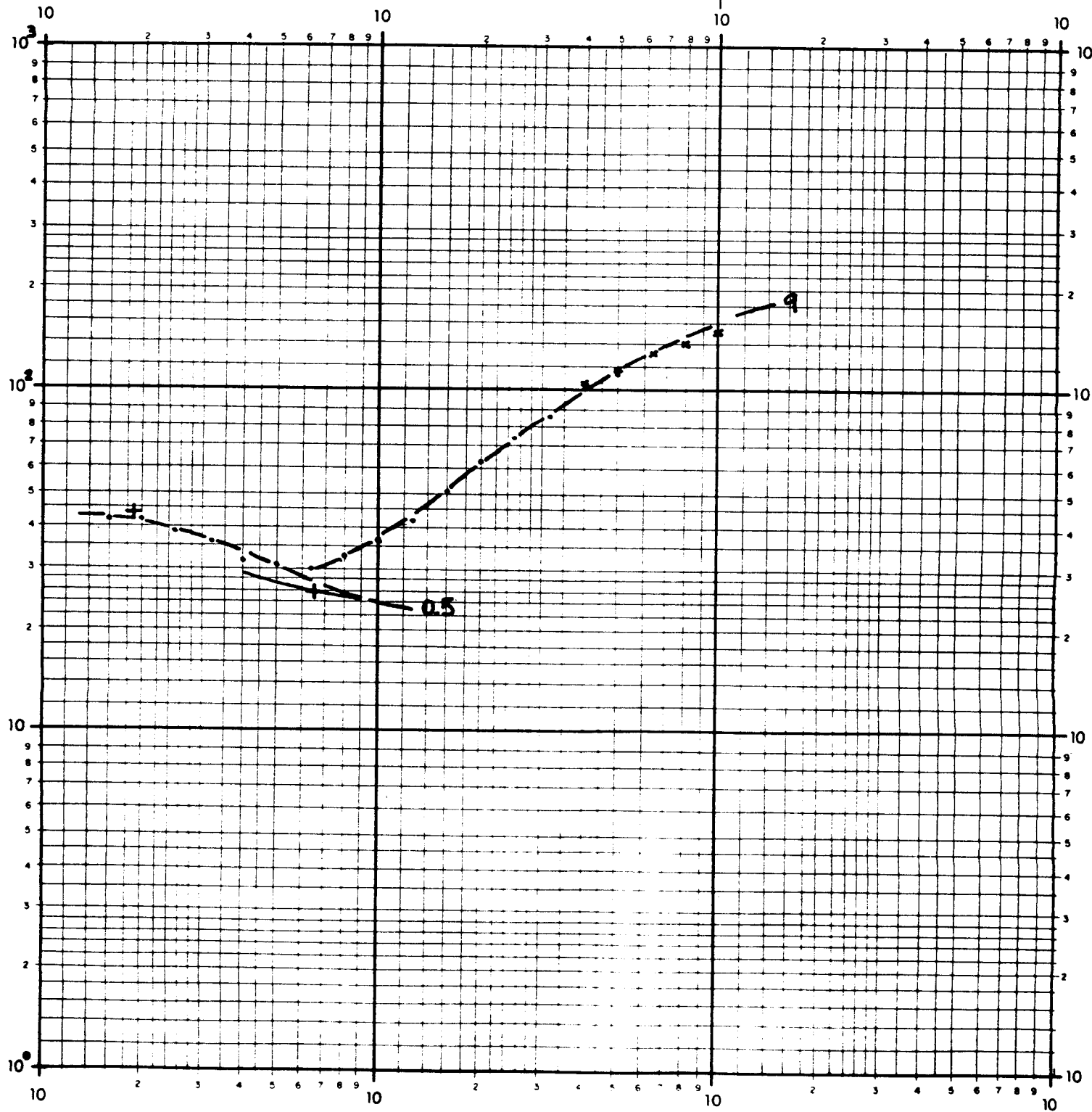
1,9	44
6,5	22
240	

Datos:

Azimut de AB: N-15°-E

Cota de superficie Z: .....

Coordenadas { X: .....  
Y: .....





INSTITUTO GEOLOGICO  
Y MINERO DE ESPAÑA

Prospección en: GAJANO

GEOFISICA

Fecha: 21.2.89

S.E.V. 7

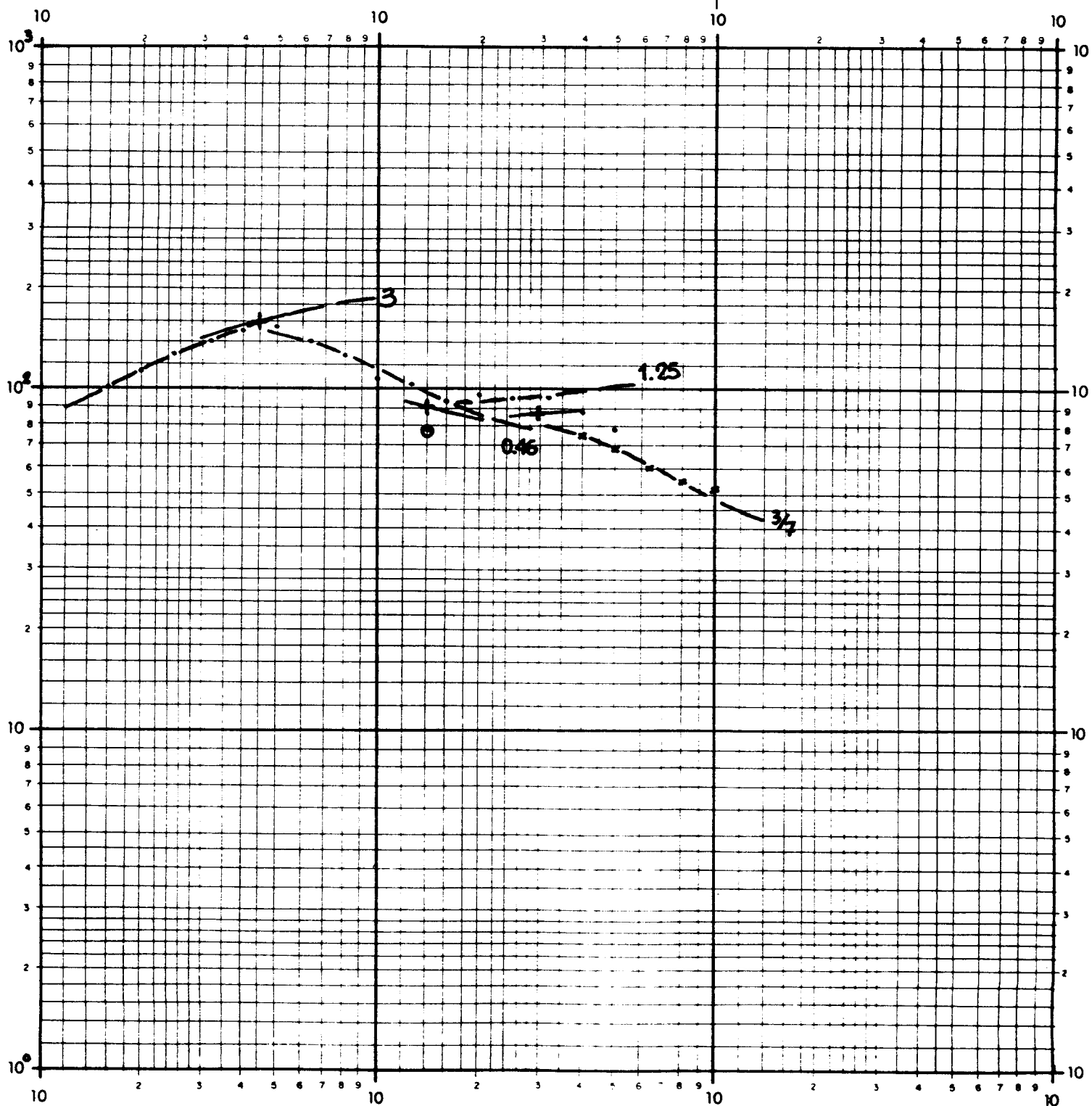
Interpretación:	Z	P
	0,7	68
	3,4	205
	14	74
	29	110
		37

Datos:

Azimut de AB: N-S

Cota de superficie Z:

Coordenadas { X: .....  
Y: .....





INSTITUTO GEOLOGICO  
Y MINERO DE ESPAÑA

Prospección en: GAJANO

GEOFISICA

Fecha: 22.2.89

S.E.V. 8

Interpretación:

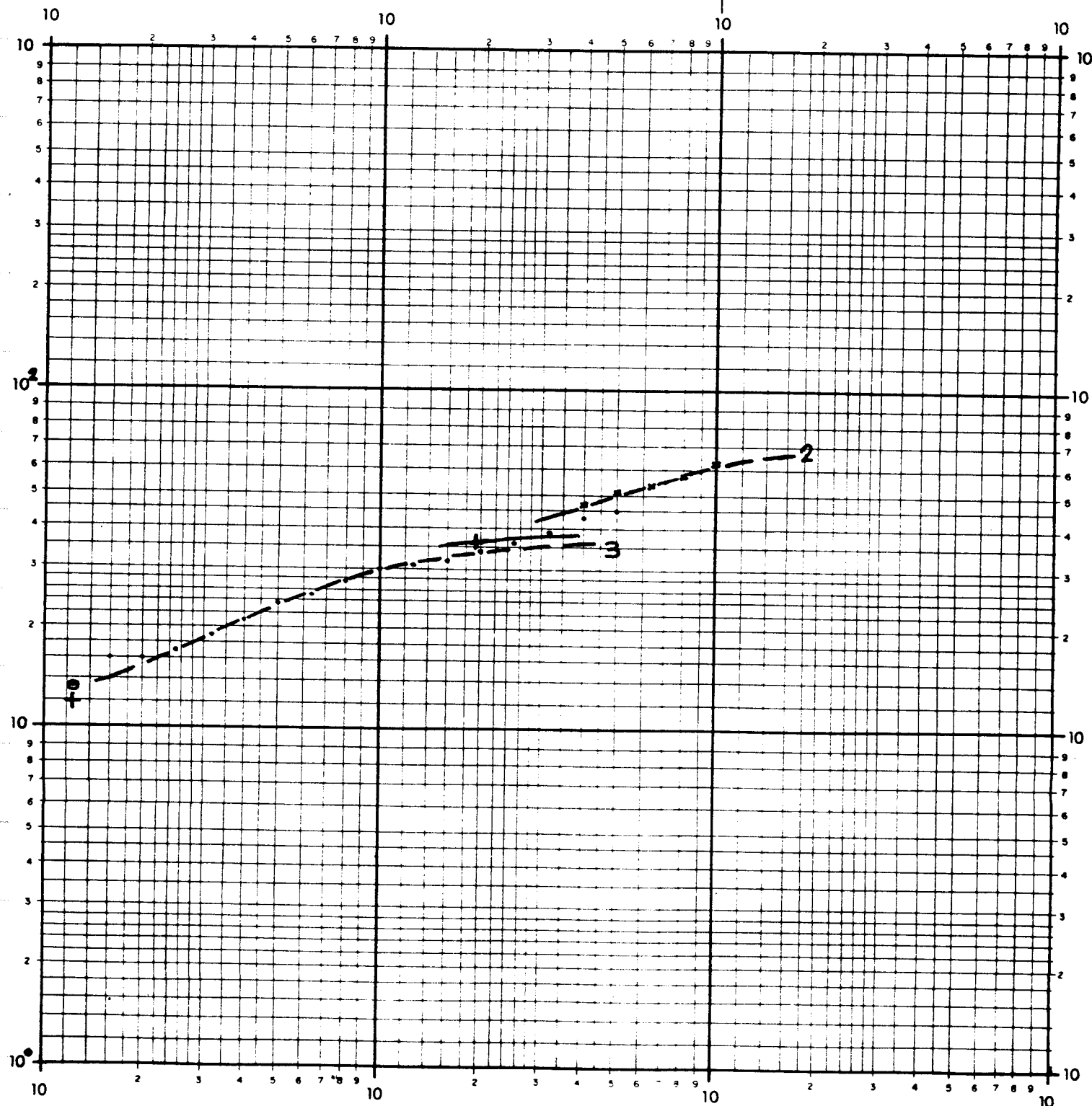
Datos:

Azimut de AB: N-172°-E

Cota de superficie Z: .....

Coordenadas { X: .....

Y: .....





INSTITUTO GEOLÓGICO  
Y MINERO DE ESPAÑA

Prospección en: GAJANO

GEOFÍSICA

Fecha: 22.2.89.

S.E.V. 9

Interpretación:

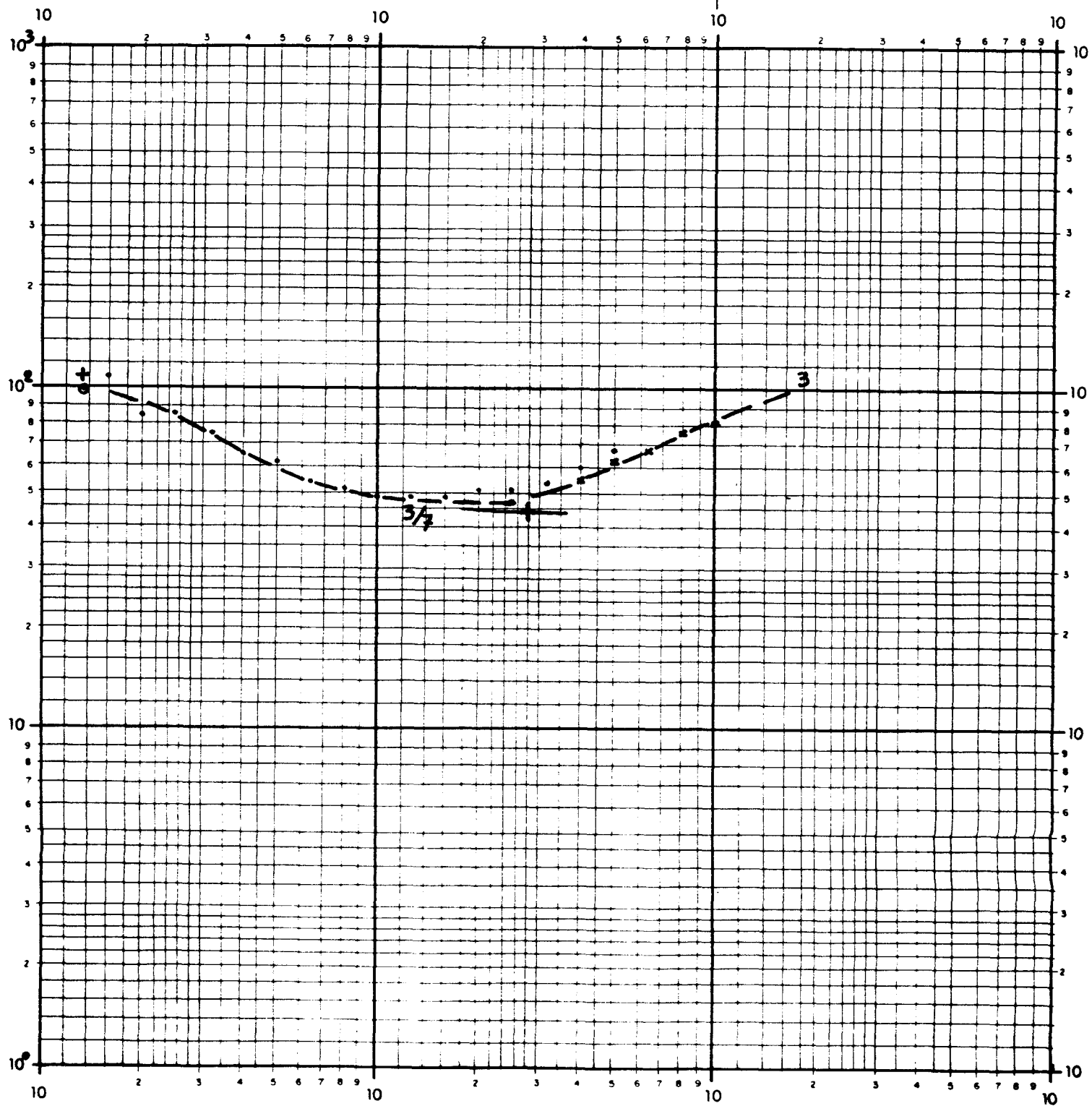
<u>Z</u>	<u>P</u>
1,35	108
28	46
138	

Datos:

Azimut de AB: N-33°-E

Cota de superficie Z:

Coordenadas { X: .....  
Y: .....





INSTITUTO GEOLOGICO  
Y MINERO DE ESPAÑA

Prospección en: GAJANO

GEOFISICA

Fecha: 8.3.89

S.E.V. 10

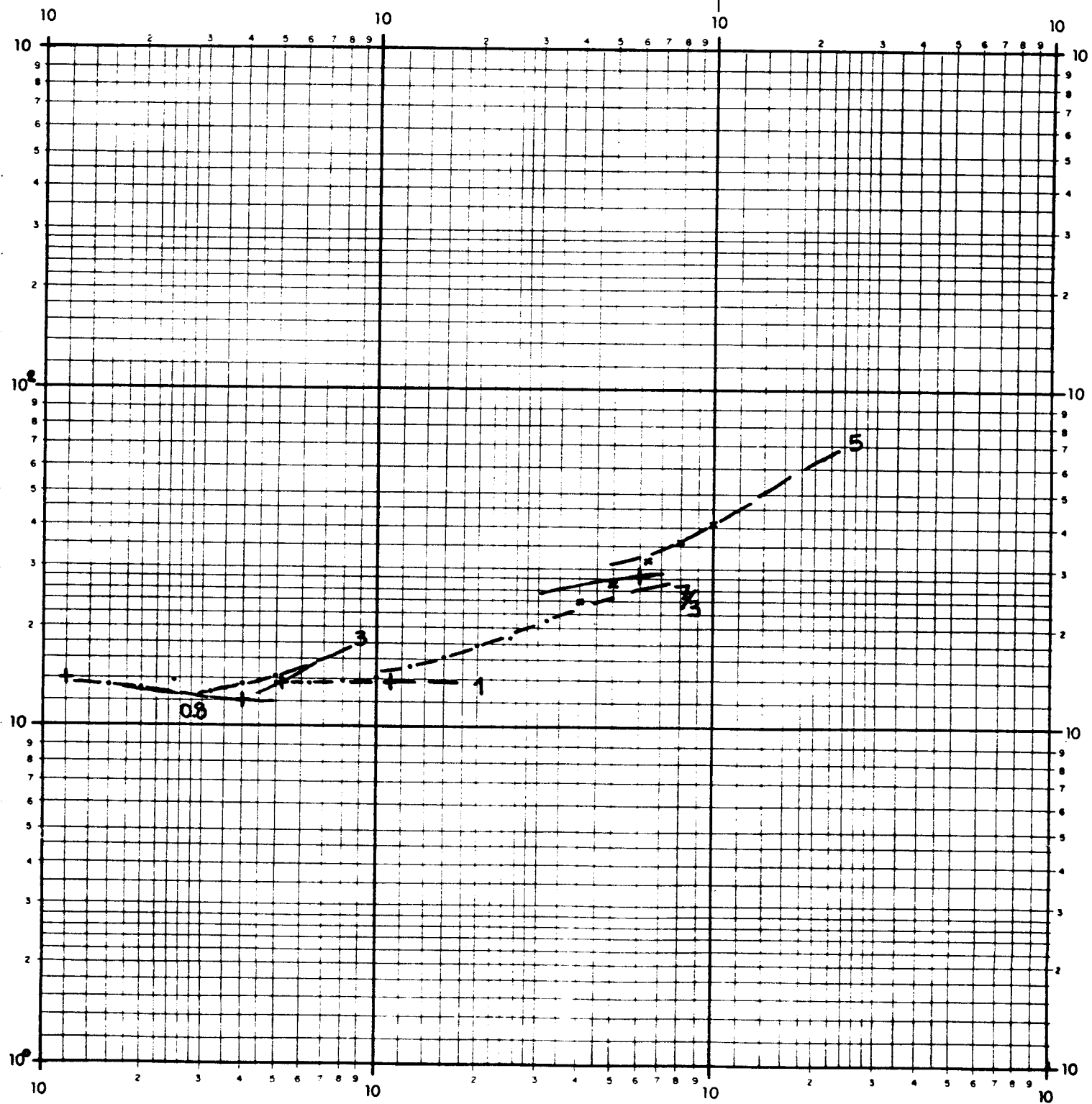
Interpretación:	Z	P
	1,2	14
	4	11
	4,5	36
	11	14
	58	33
		150

Datos:

Azimut de AB: N-S

Cota de superficie Z:

Coordenadas { X: .....  
Y: .....





INSTITUTO GEOLÓGICO  
Y MINERO DE ESPAÑA

Prospección en: GAJANO

GEOFISICA

Fecha: 9.3.89

S.E.V. 11

Interpretación:  $\frac{Z}{\rho}$

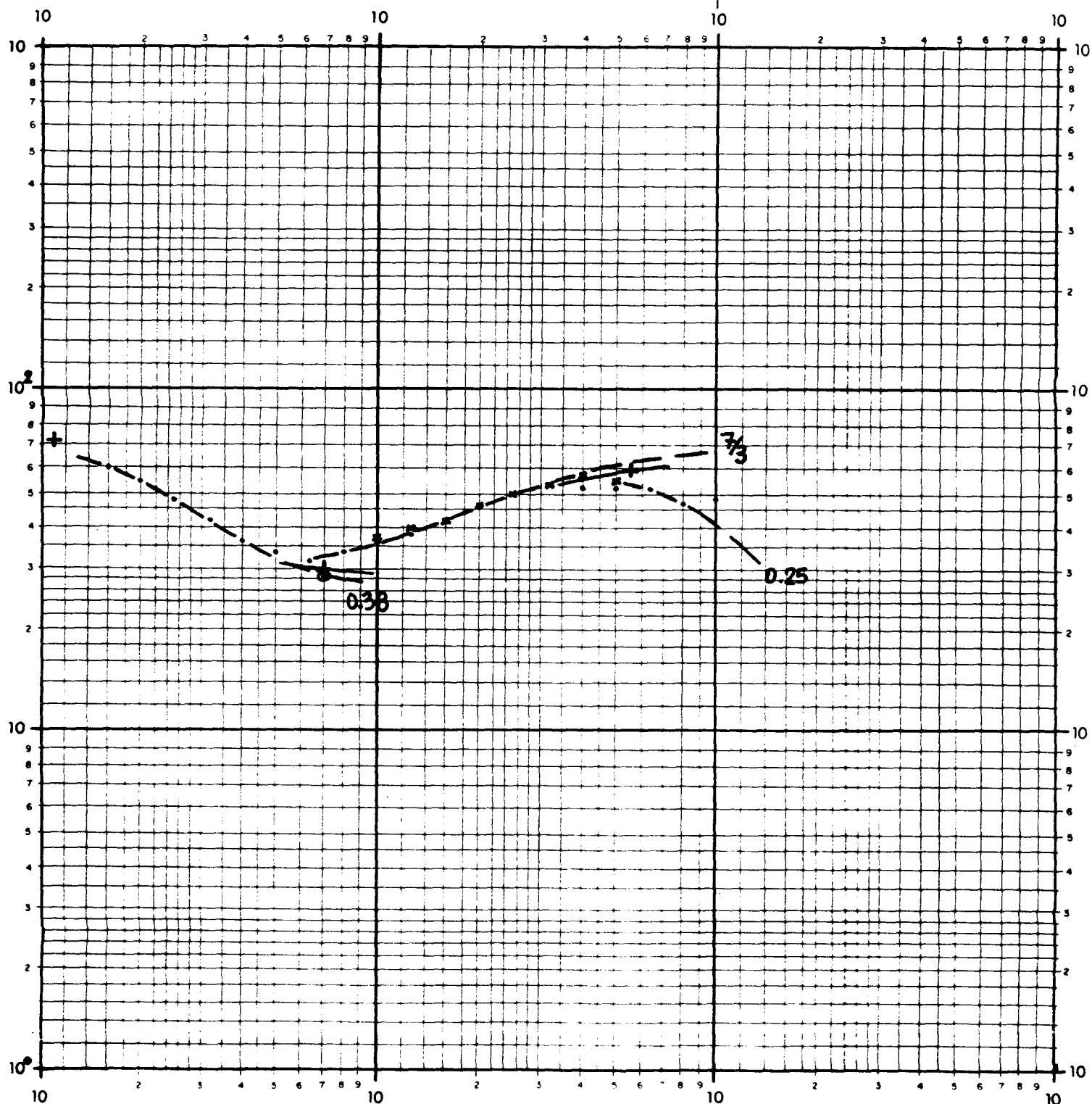
1,1	72
7	27
47	70
	15

Datos:

Azimut de AB: N-S

Cota de superficie Z: .....

Coordenadas { X: .....  
Y: .....





INSTITUTO GEOLOGICO  
Y MINERO DE ESPAÑA

Prospección en: GAJANO

GEOFISICA

Fecha: 8.3.89

S.E.V. 12

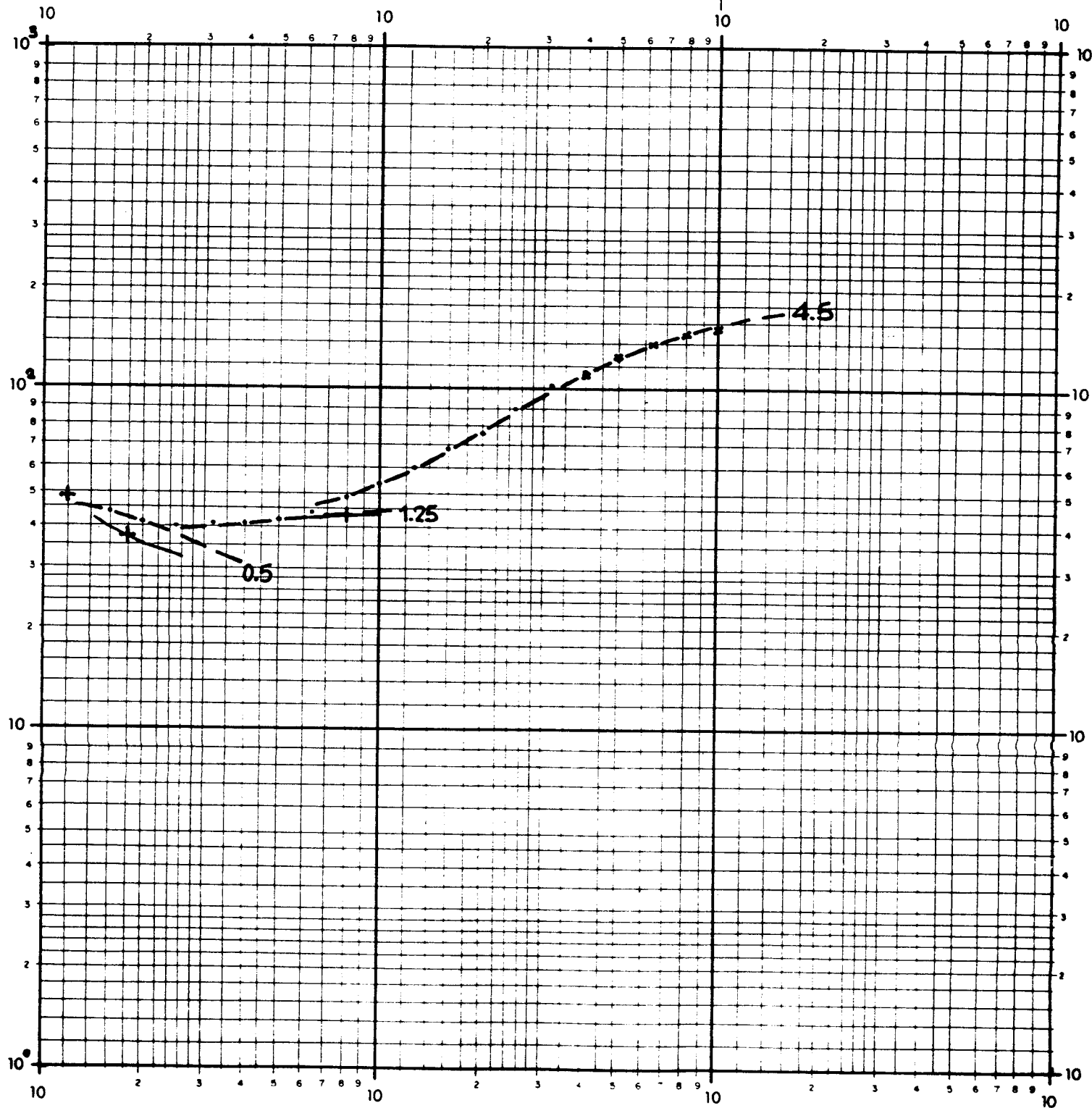
Interpretación:	Z	P
	1,2	49
	1,8	24
	8	45
	200	

Datos:

Azimut de AB: N-135°-E

Cota de superficie Z: .....

Coordenadas { X: .....  
Y: .....





INSTITUTO GEOLOGICO  
Y MINERO DE ESPAÑA

Prospección en: GAJANO

GEOFISICA

Fecha: 21.2.89

S.E.V. 13

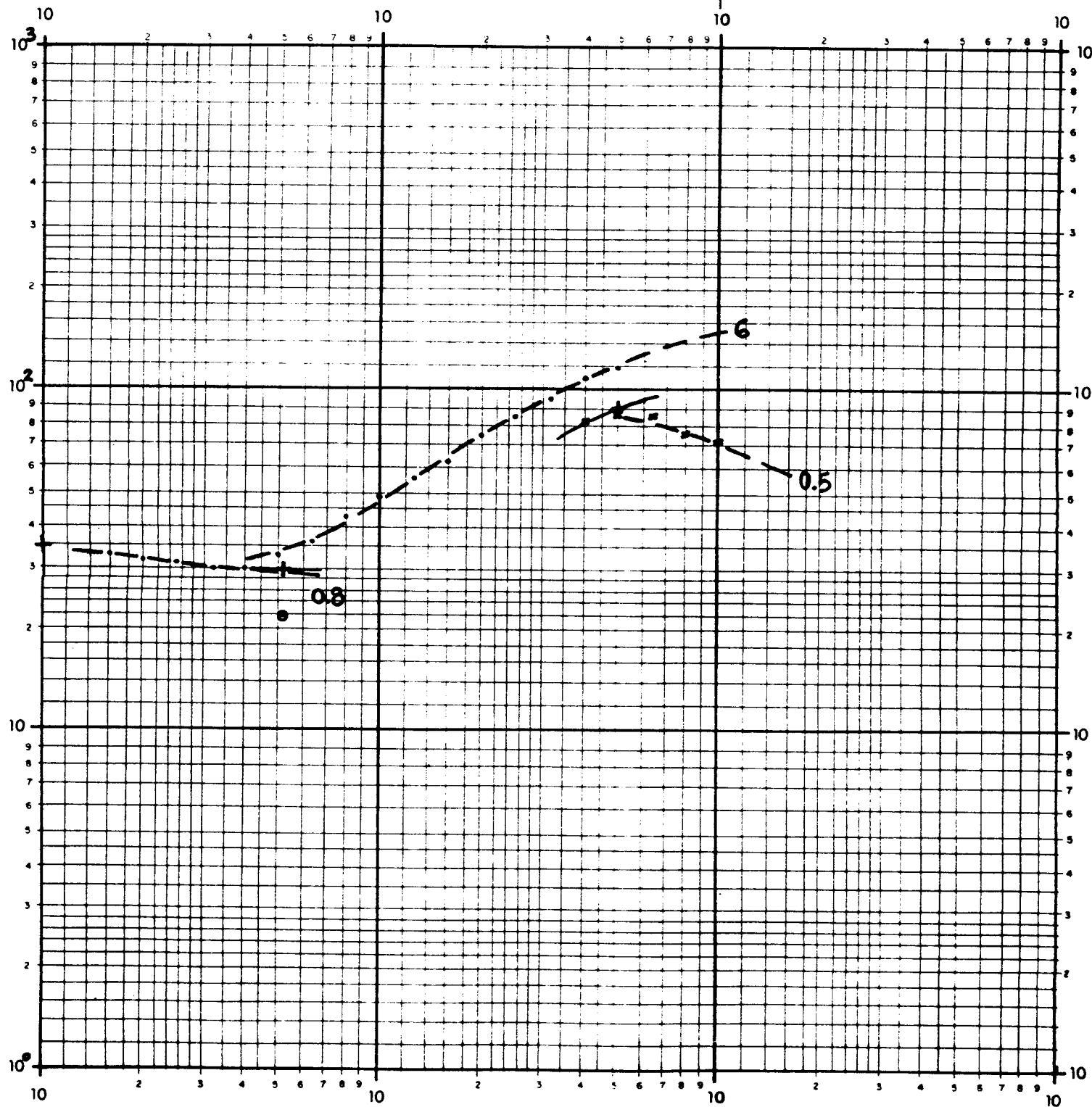
Interpretación:	Z	P
1		35
5,5		28
32		175
		44

Datos:

Azimut de AB: N-15°-E

Cota de superficie Z:

Coordenadas { X: .....  
Y: .....





Prospección en: GAJANO

Fecha: 22.2.89

S.E.V. 14

Interpretación:	Z	P
	0,9	74
	10	54
	18	230
		150

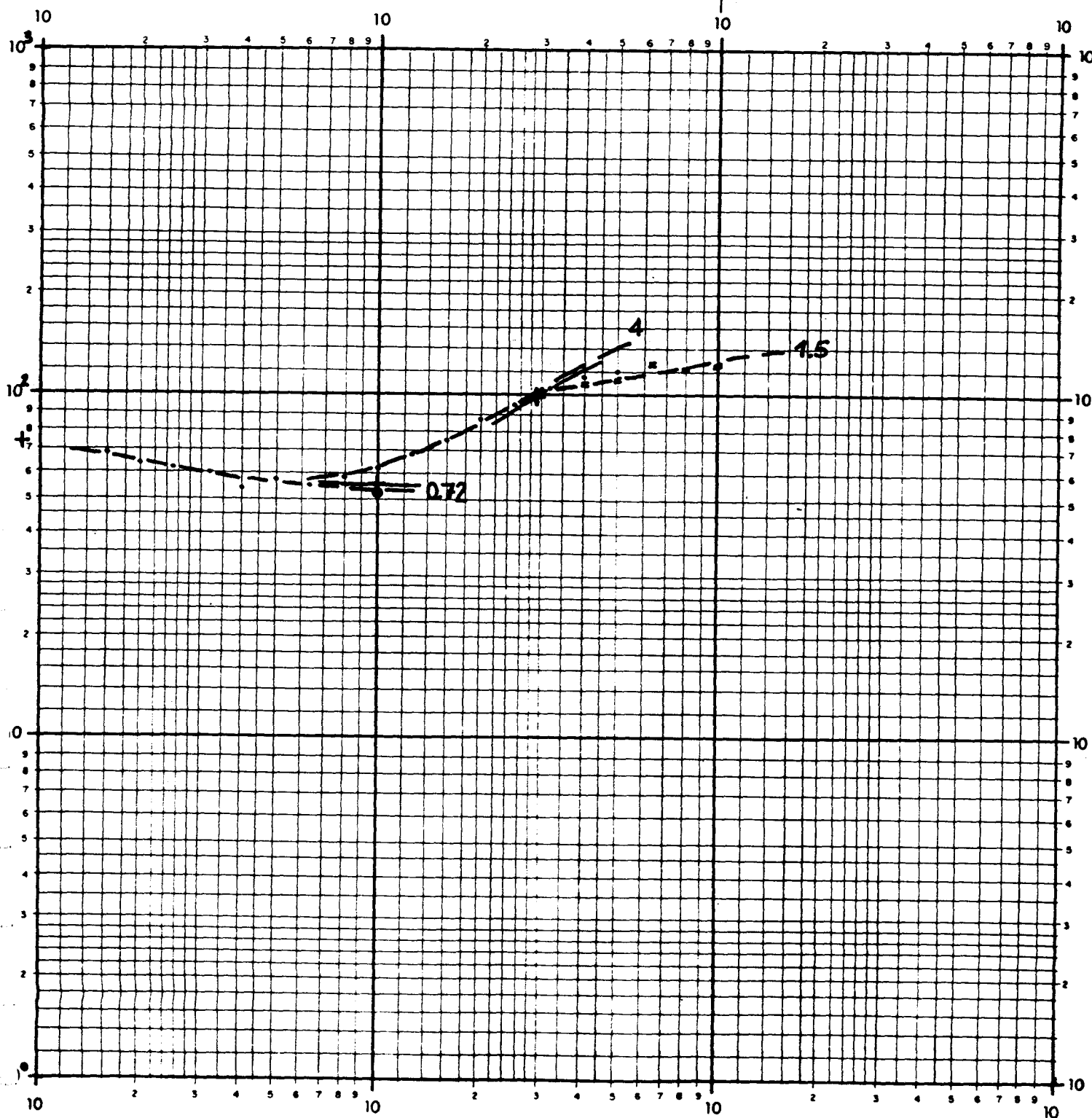
Datos:

Azimut de AB: N-120°-E

Cota de superficie Z: .....

Coordenadas { X: .....

Y: .....





INSTITUTO GEOLÓGICO  
Y MINERO DE ESPAÑA

Prospección en: GAJANO

GEOFÍSICA

Fecha: 8.3.89

S.E.V. 15

Interpretación:	Z	P
	0,9	32
	13,4	48
	28	41
		95

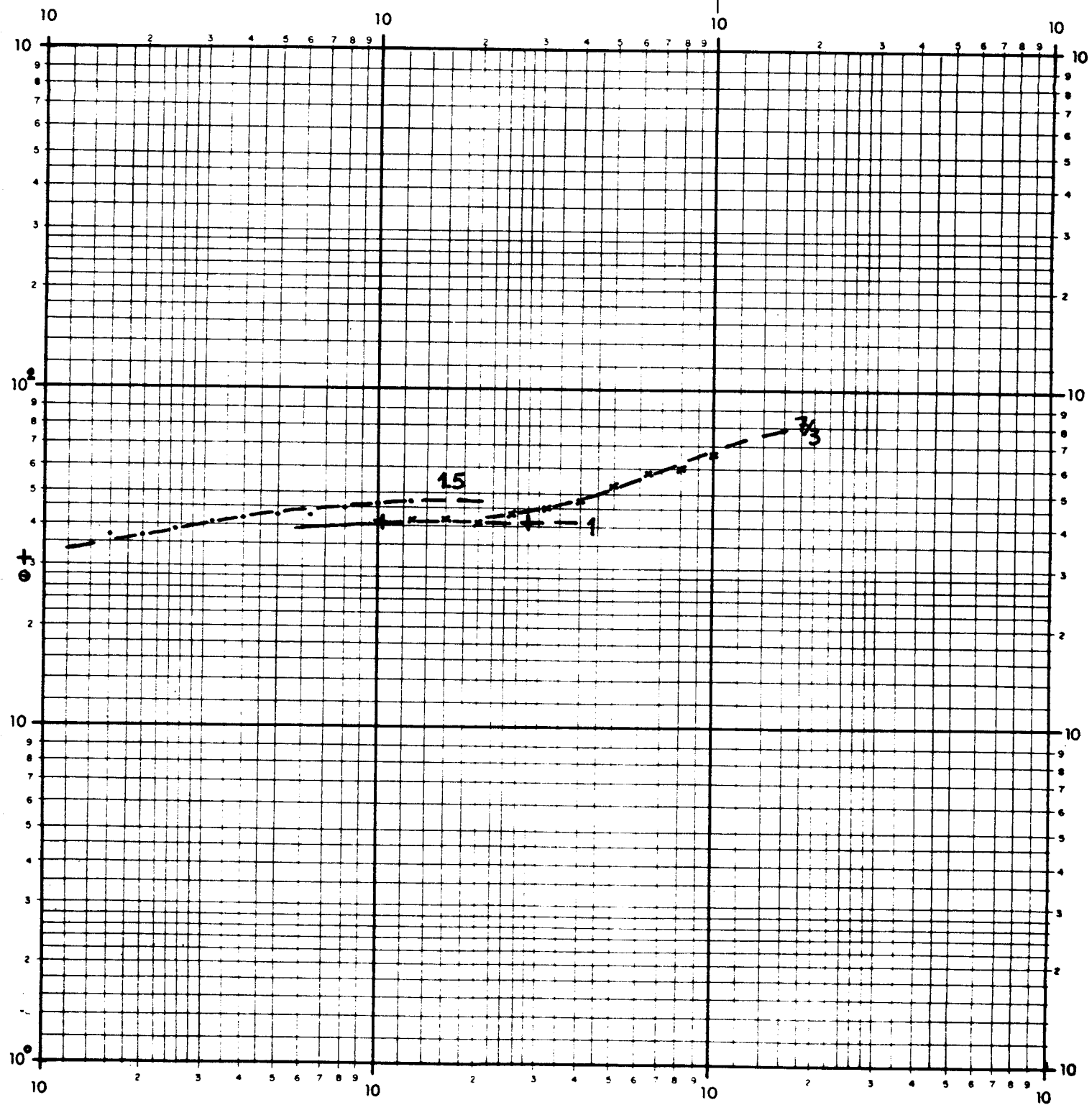
Datos:

Azimut de AB: N-60°-E

Cota de superficie Z: .....

Coordenadas { X: .....

{ Y: .....





INSTITUTO GEOLOGICO  
Y MINERO DE ESPAÑA

Prospección en: GAJANO

GEOFISICA

Fecha: 9.3.89

S.E.V. 16

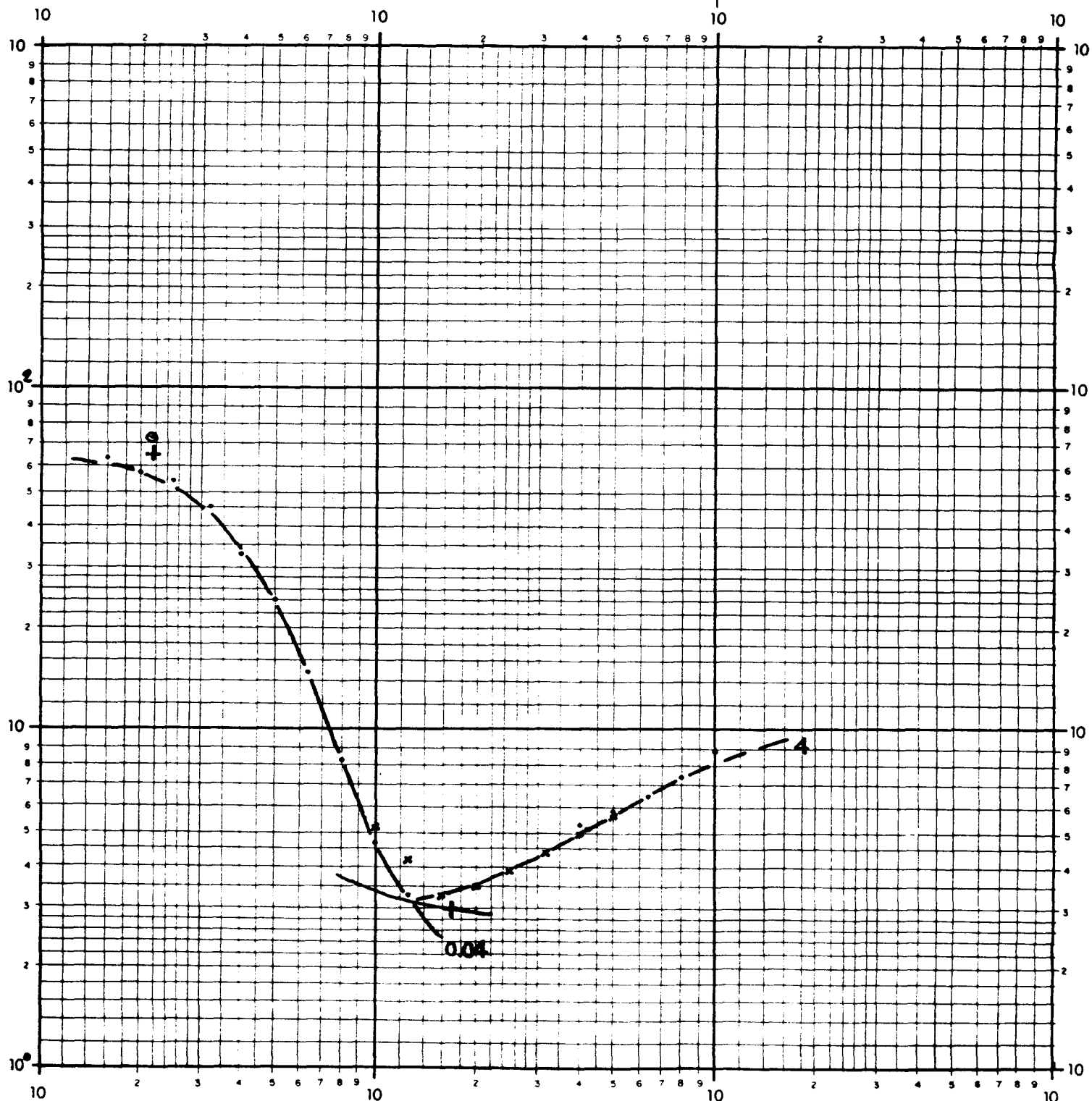
Interpretación:  $\frac{Z}{2,2}$   $\frac{P}{66}$   
 $17$   $2$   
 $12$

Datos:

Azimut de AB: N-2°-E

Cota de superficie Z:

Coordenadas { X: .....  
Y: .....





INSTITUTO GEOLOGICO  
Y MINERO DE ESPAÑA

GEOFISICA

Prospección en: GAJANO

Fecha: 9.3.89

S.E.V. 17

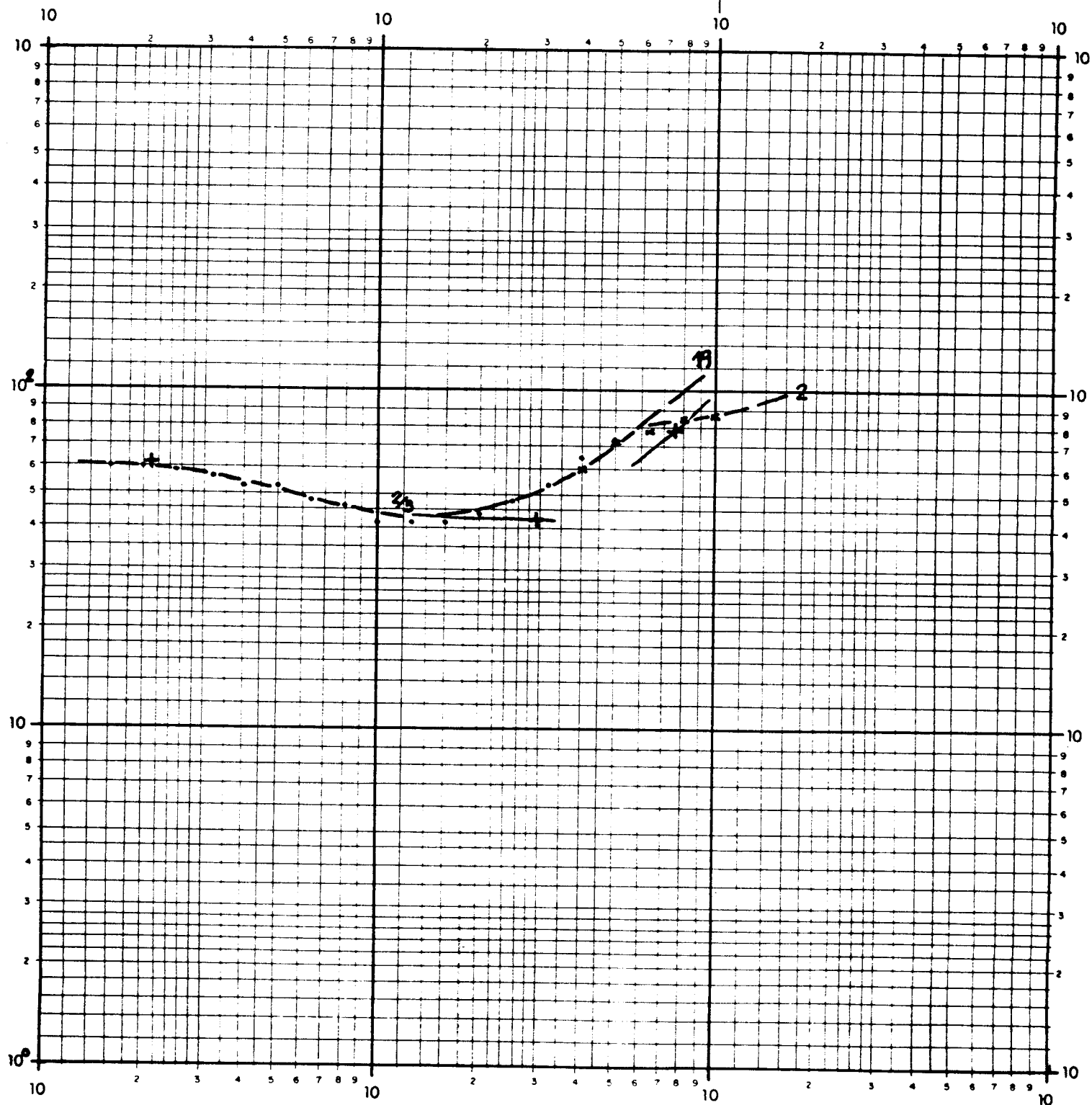
Interpretación:	Z	P
	2,1	62
	29,5	41
	33,5	850
		160

Datos:

Azimut de AB: N-156°-E

Cota de superficie Z:

Coordenadas { X: \_\_\_\_\_  
Y: \_\_\_\_\_





INSTITUTO GEOLÓGICO  
Y MINERO DE ESPAÑA

Prospección en: GAJANO

GEOFISICA

Fecha: 21.2.89

S.E.V. 18

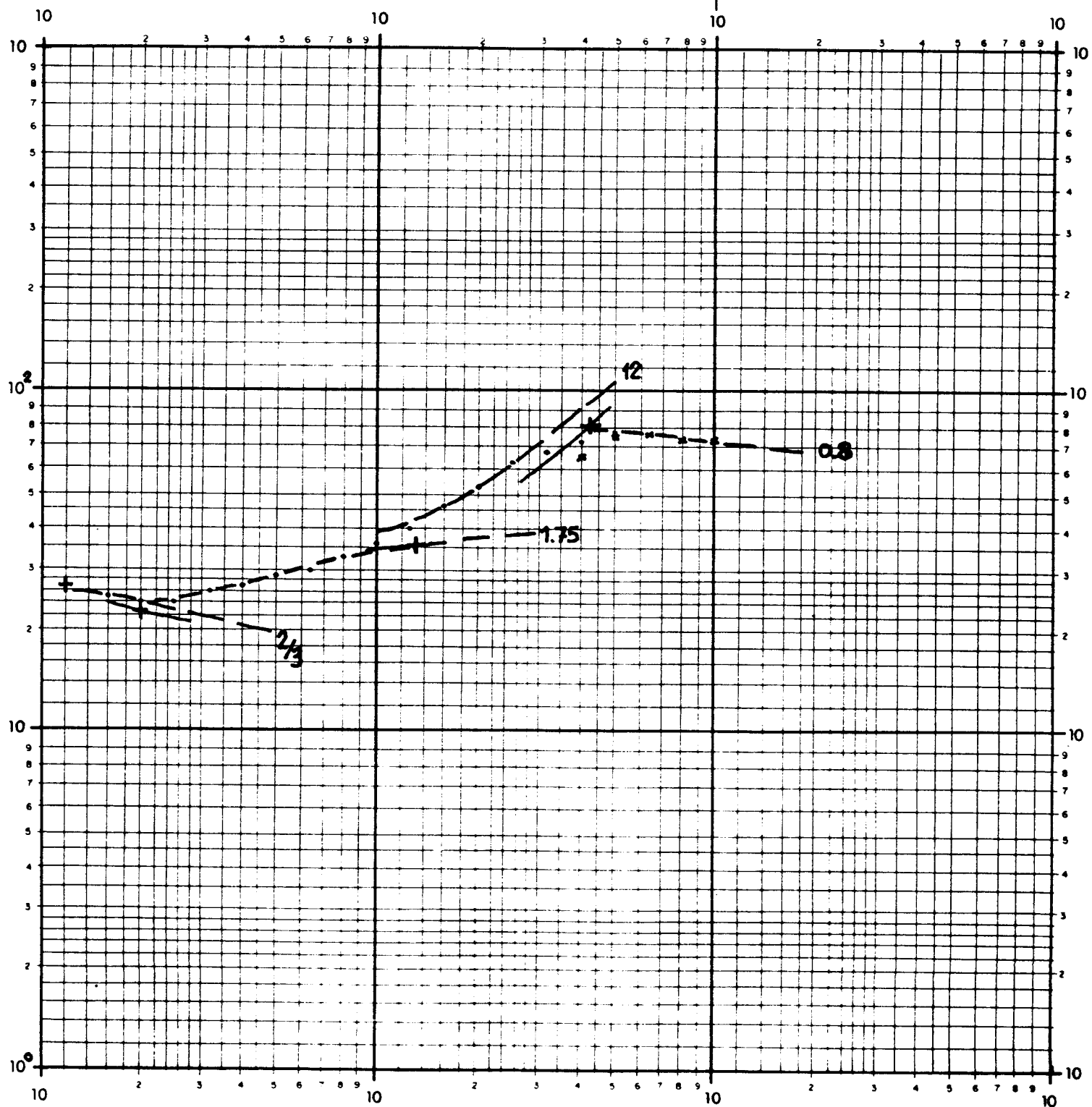
Interpretación:	Z	P
	1,2	27
	2	18
	12,8	40
	17,8	450
		63

Datos:

Azimut de AB: N-62°-E

Cota de superficie Z: .....

Coordenadas { X: .....  
Y: .....





INSTITUTO GEOLÓGICO  
Y MINERO DE ESPAÑA

Prospección en: **GAJANO**

GEOFÍSICA

Fecha: **22.2.89**

**S.E.V. 19**

Interpretación:

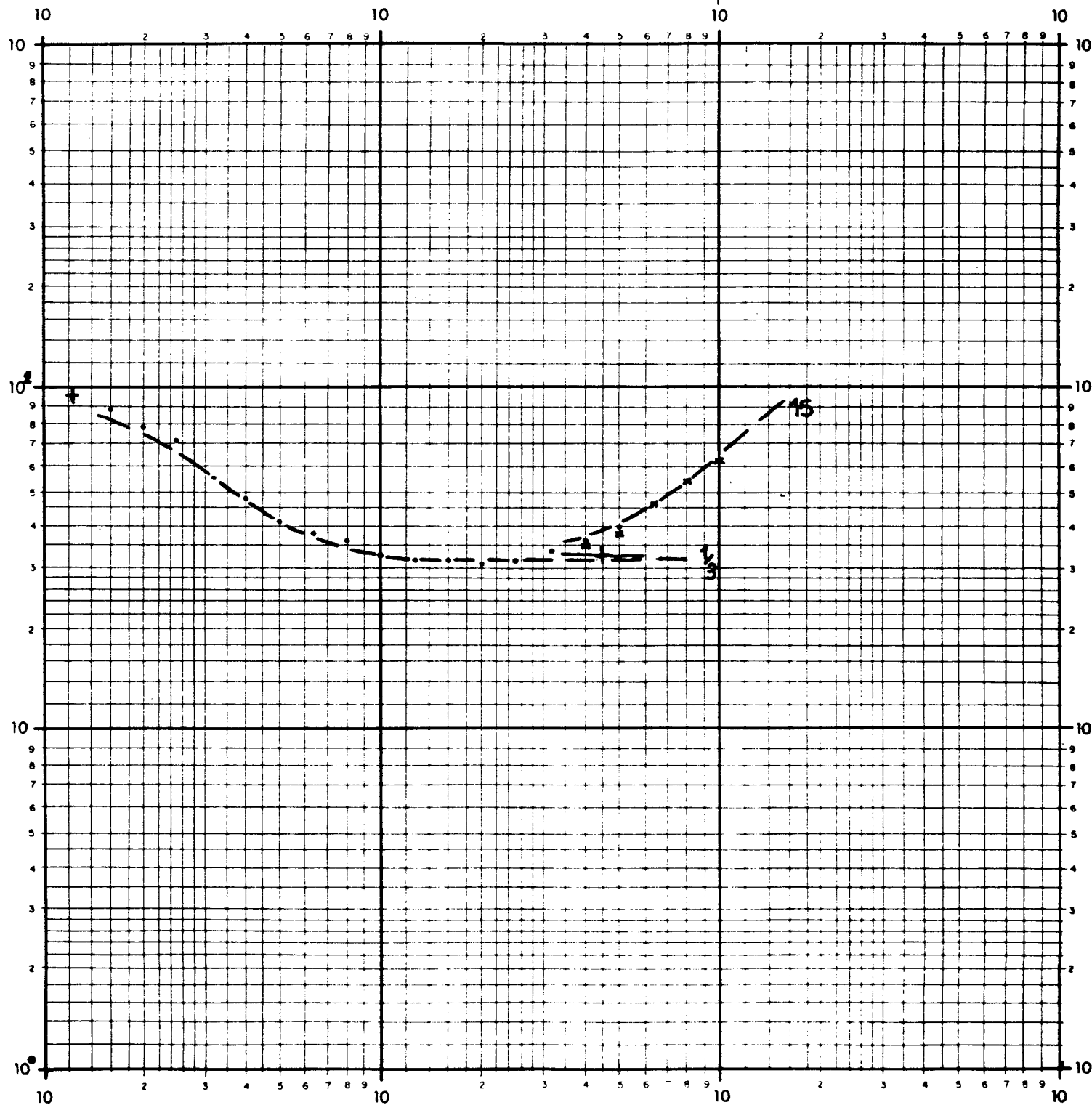
$$\begin{array}{r} Z \\ \hline 1,2 \\ 45 \\ \hline 500 \end{array} \quad \begin{array}{r} P \\ \hline 96 \\ 32 \\ \hline \end{array}$$

Datos:

Azimut de AB: **N-3°-E**

Cota de superficie Z: .....

Coordenadas { X: .....  
Y: .....





INSTITUTO GEOLOGICO  
Y MINERO DE ESPAÑA

Prospección en: GAJANO

GEOFISICA

Fecha: 9.3.89

S.E.V. 20

Interpretación:

Z	P
2,15	58
14	6
	20

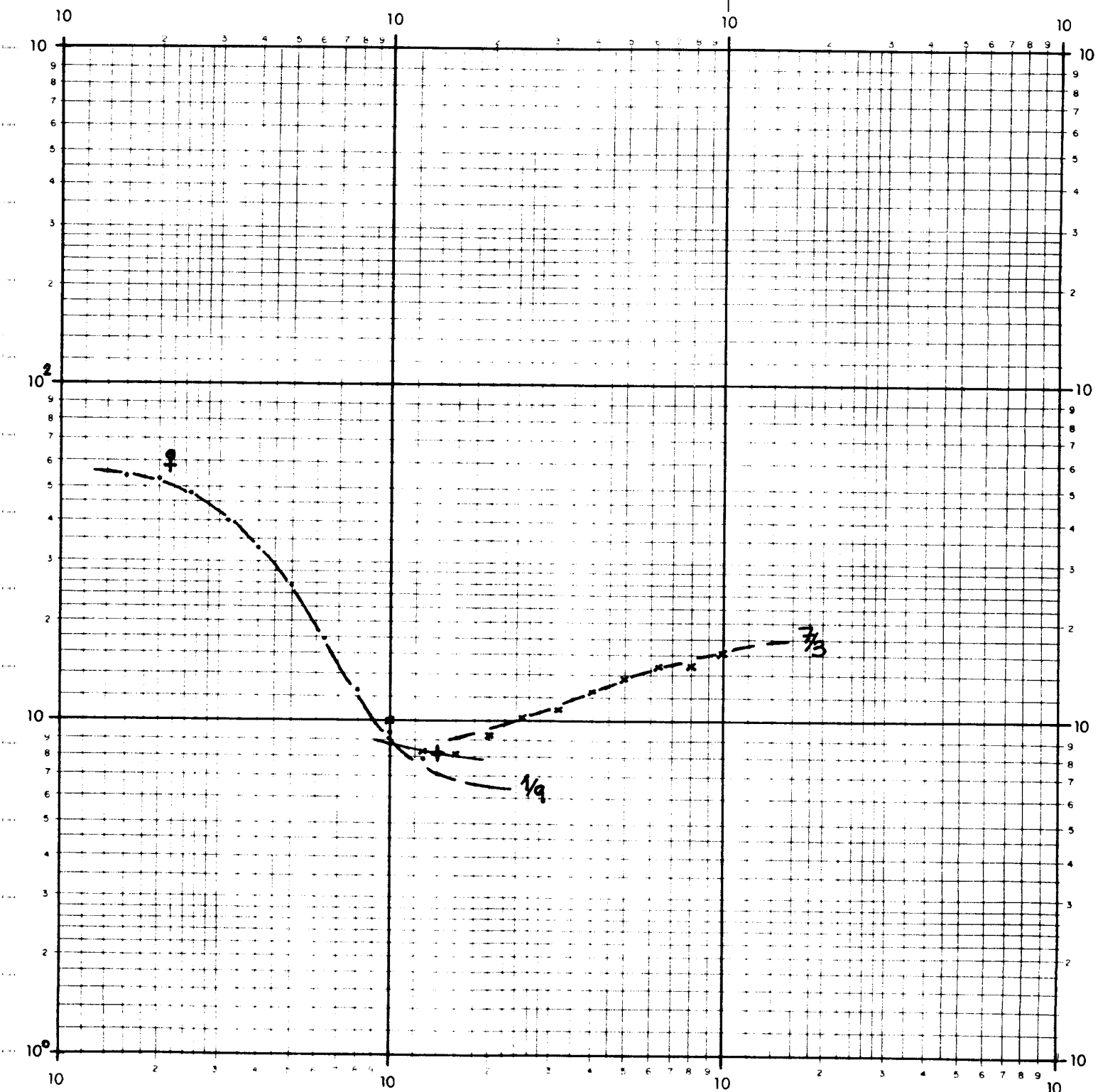
Datos:

Azimut de AB: E - O

Cota de superficie Z: .....

Coordenadas { X: .....

Y: .....



Prospección en: **GAJANO**

**GEOFISICA**

Fecha: **8.3.89**

**S.E.V. 21**

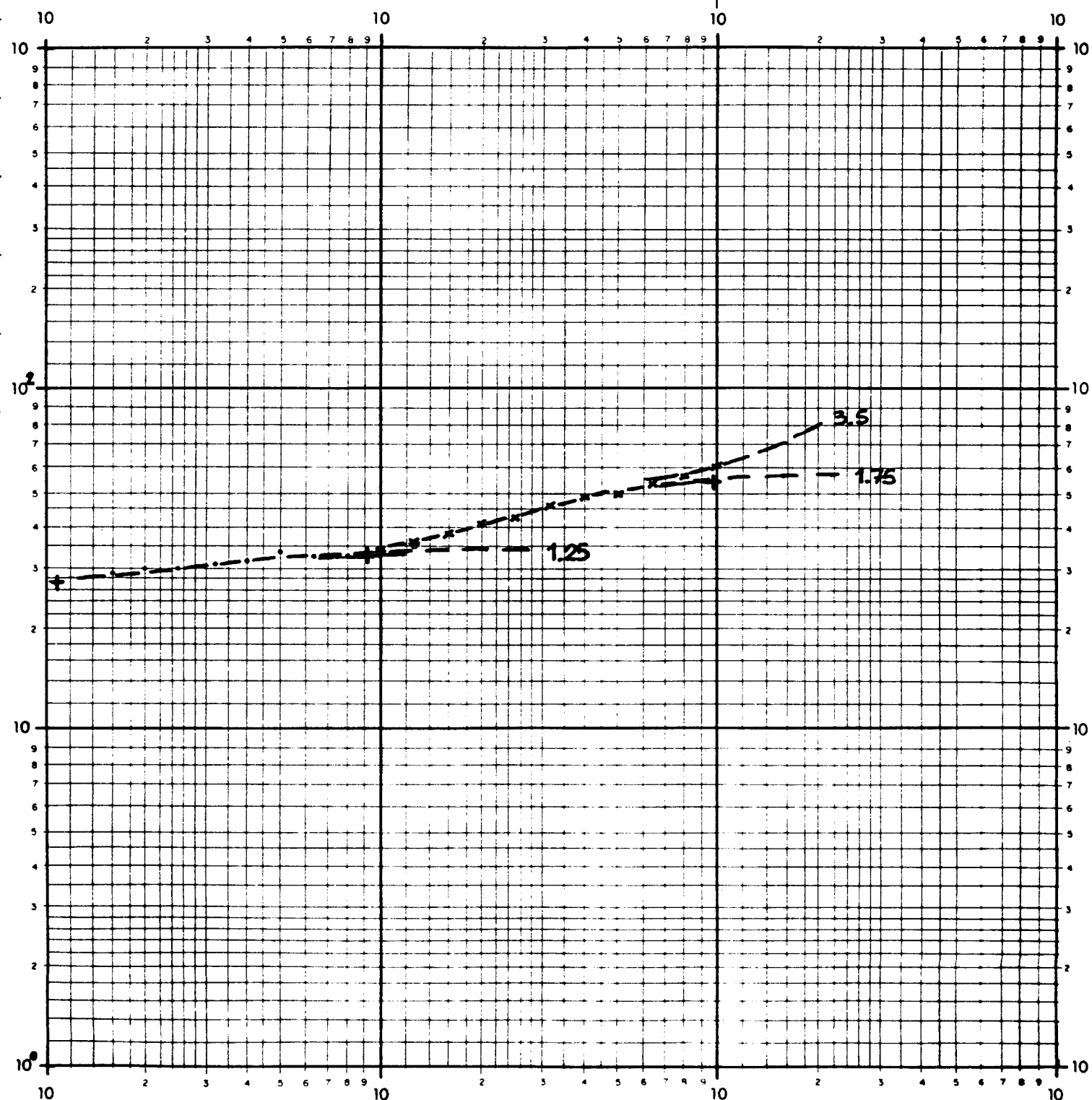
Interpretación:	Z	P
	1,1	27
	9,2	34
	93	58
		190

Datos:

Azimut de AB: **N-130°-E**

Cota de superficie Z: .....

Coordenadas { X: .....  
Y: .....





INSTITUTO GEOLÓGICO  
Y MINERO DE ESPAÑA

Prospección en: GAJANO

GEOFISICA

Fecha: 21.2.89

S.E.V. 22

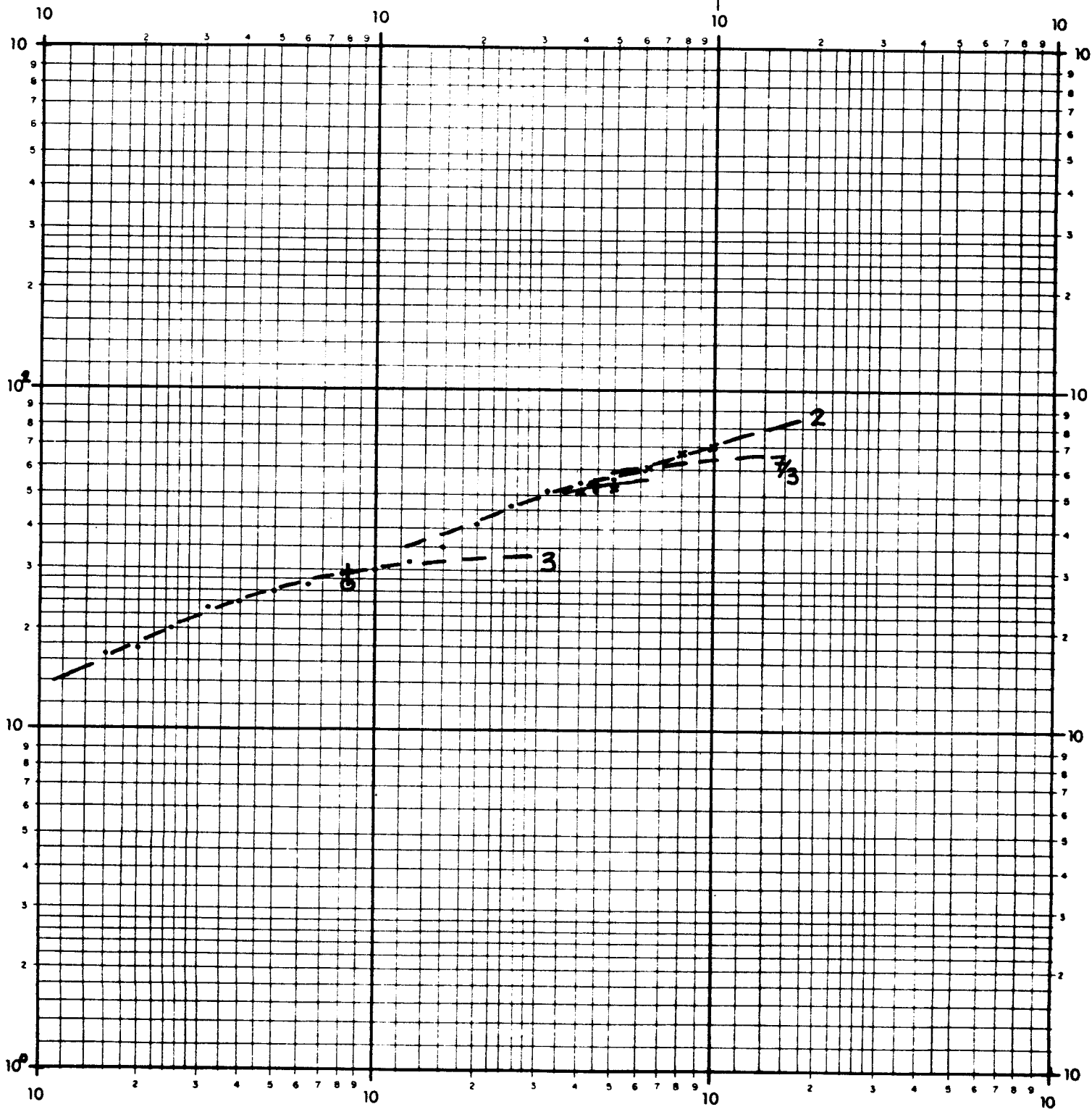
Interpretación:	Z	P
	0,7	11
	7,5	33
	40	69
		108

Datos:

Azimut de AB: N-105°-E

Cota de superficie Z: .....

Coordenadas { X: .....  
Y: .....





INSTITUTO GEOLOGICO  
Y MINERO DE ESPAÑA

Prospección en: GAJANO

GEOFISICA

Fecha: 22.2.89

S.E.V. 23

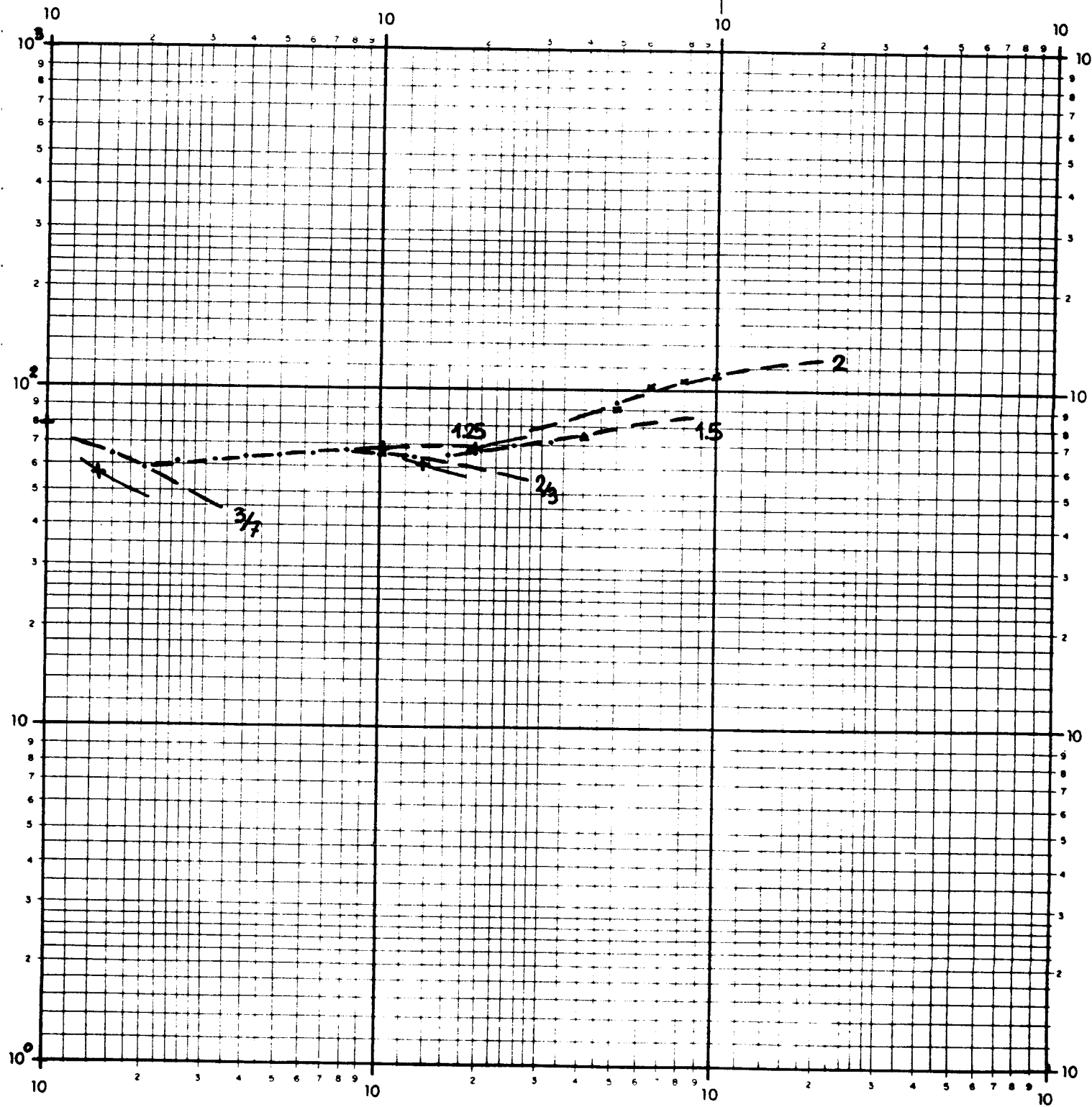
Interpretación:	Z	P
1		79
1,5		34
10,5		70
13,4		45
18,5		91
		138

Datos:

Azimut de AB: N-S

Cota de superficie Z:

Coordenadas { X: .....  
Y: .....





**I**INSTITUTO GEOLOGICO  
Y MINERO DE ESPAÑA

Prospección en: GAJANO

GEOFISICA

Fecha: 8.3.89

S.E.V. 24

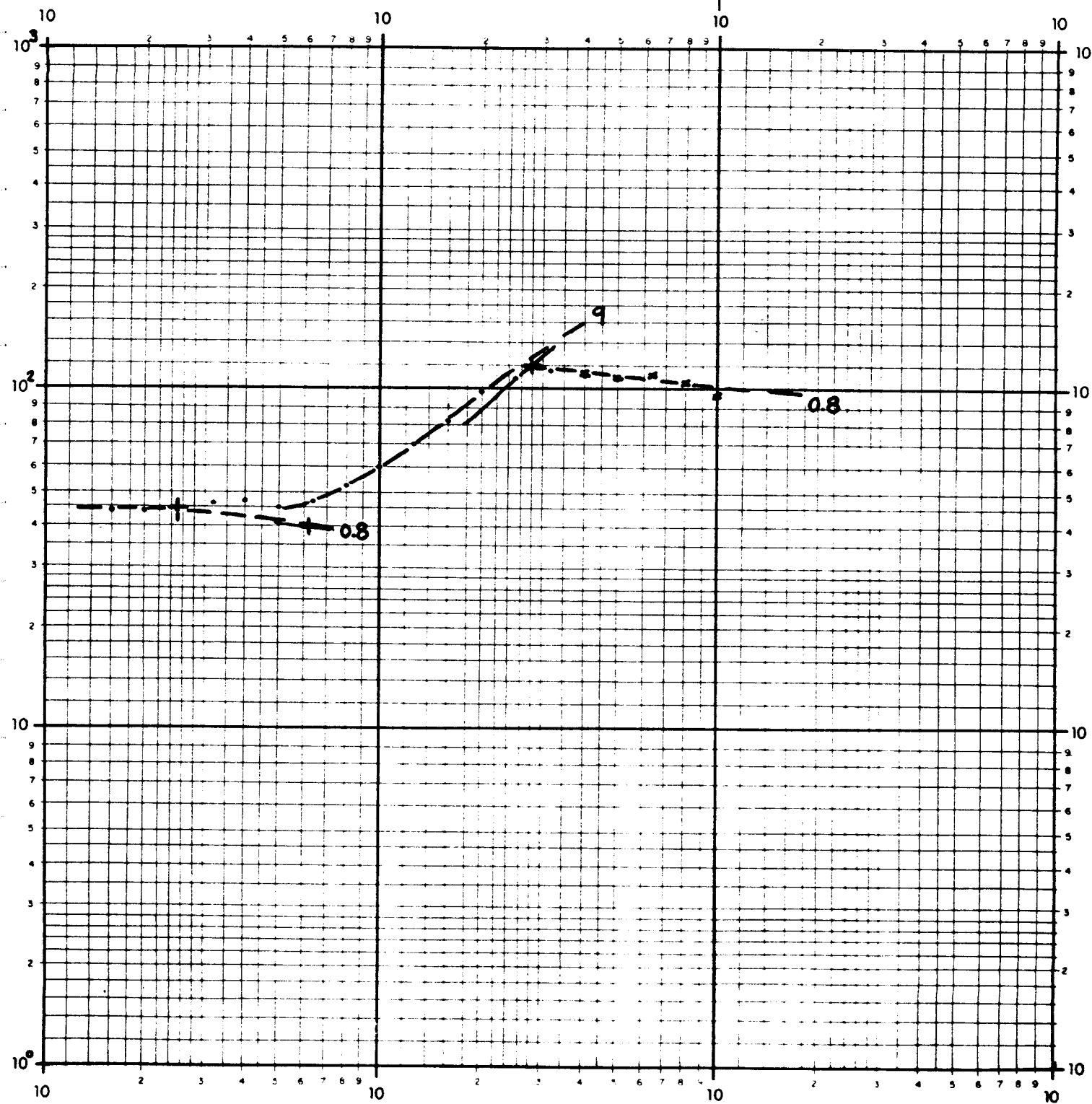
Interpretación:	Z	P
	2,5	44
	6,2	35
	13	350
		95

Datos:

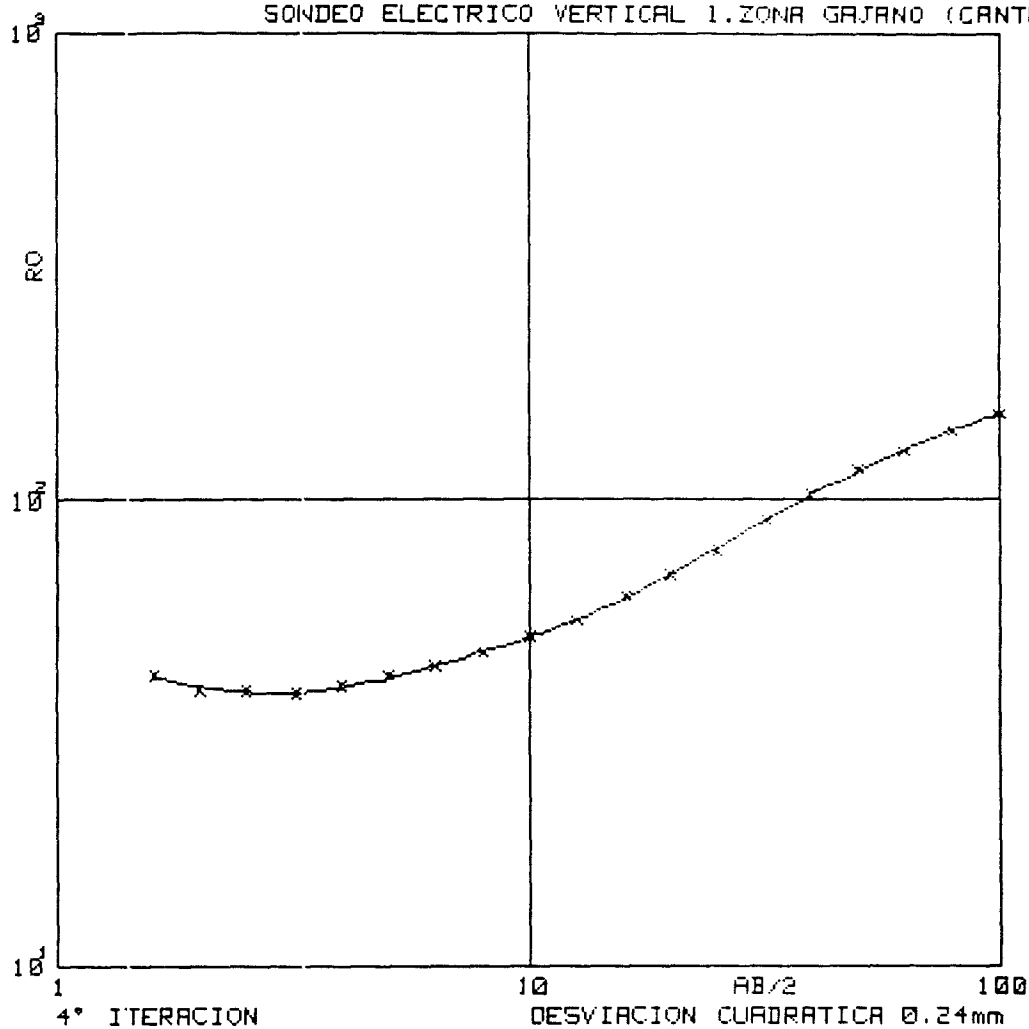
Azimut de AB: N-25°-E

### Cota de superficie Z

**Coordenadas** { X: .....  
Y: .....



## SONDEO ELECTRICO VERTICAL 1. ZONA GAJANO (CANTABRIA)

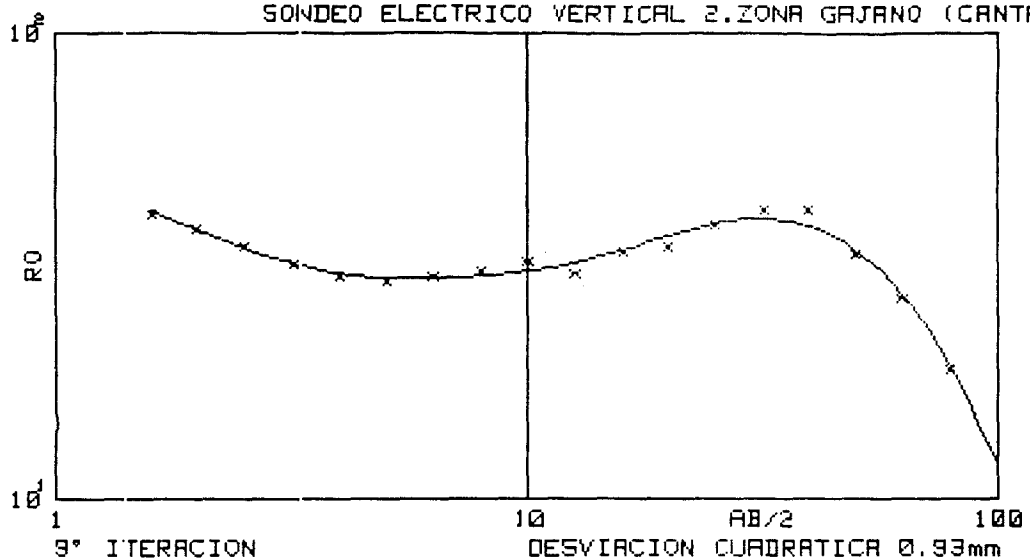


## MODELO

=====

CAPA	RESISTIVIDAD	PROFUNDIDAD
====	=====	=====
1	46.6	1.0
2	25.4	1.8
3	51.6	10.8
4	196.6	

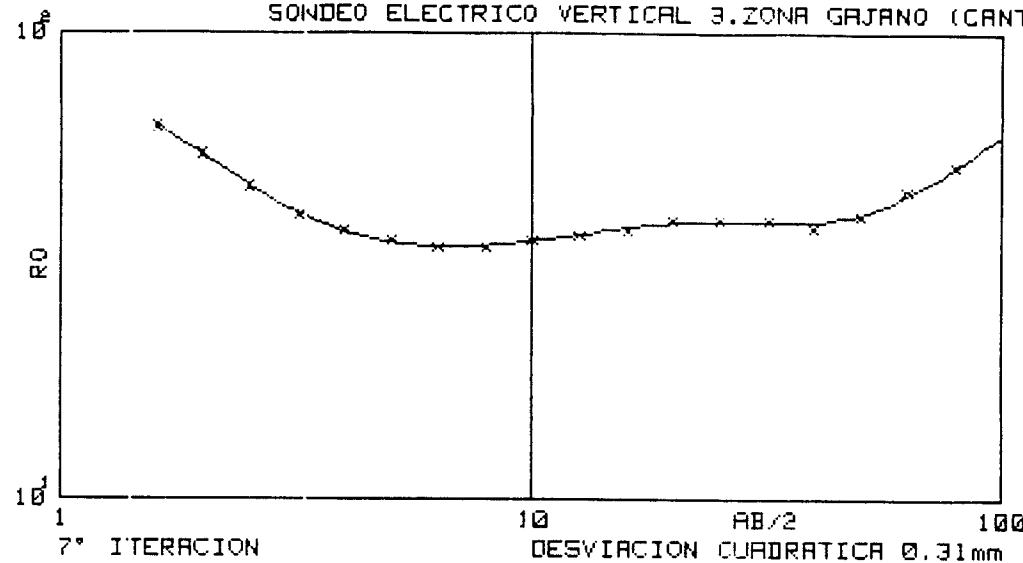
## SONDEO ELECTRICO VERTICAL 2.ZONA GAJANO (CANTABRIA)



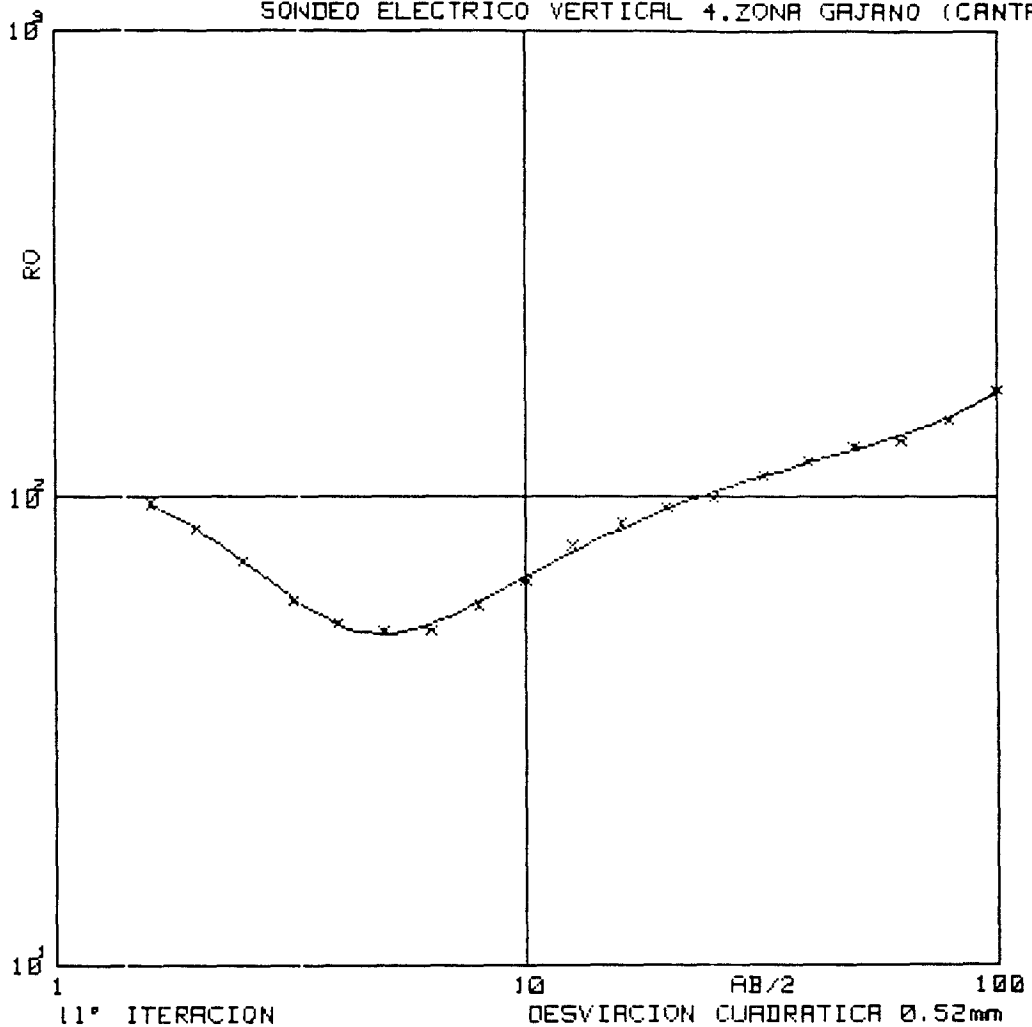
MODELO  
=====

CAPA	RESISTIVIDAD	PROFUNDIDAD
1	51.2	0.9
2	25.3	2.3
3	31.5	6.2
4	14.8	8.5
5	106.1	21.4
6	1.0	

## SONDEO ELECTRICO VERTICAL 3.ZONA GAJANO (CANTABRIA)



## SONDEO ELECTRICO VERTICAL 4.ZONA GAJANO (CANTABRIA)

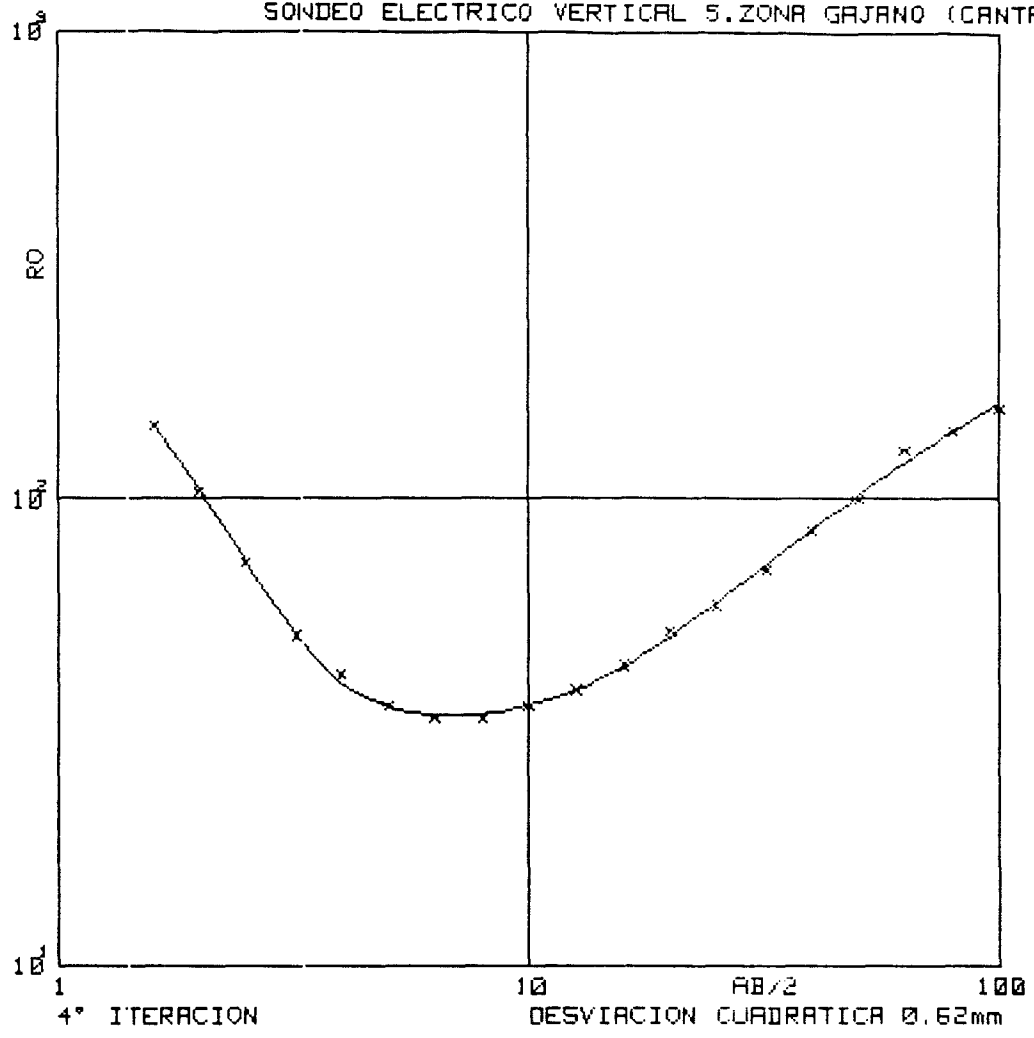


## MODELO

=====

CAPA	RESISTIVIDAD	PROFUNDIDAD
=====	=====	=====
1	118.7	1.2
2	27.8	3.4
3	135.4	78.0
4	1874.4	

## SONDEO ELECTRICO VERTICAL 5.ZONA GAJANO (CANTABRIA)

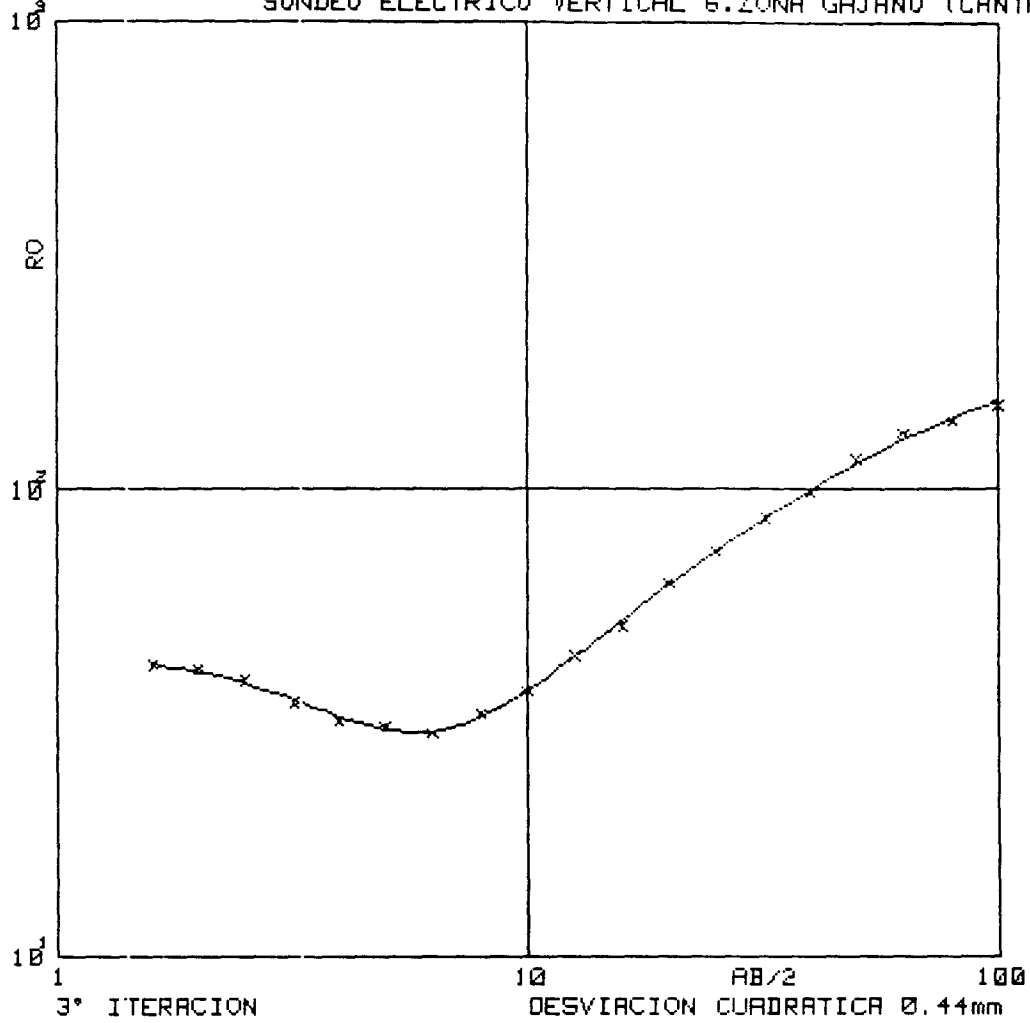


4° ITERACION

 $AB/2$   
DESVIACION CUADRATICA 0.62mmMODELO  
=====

CAPA	RESISTIVIDAD	PROFUNDIDAD
1	273.6	0.8
2	31.6	12.1
3	326.8	

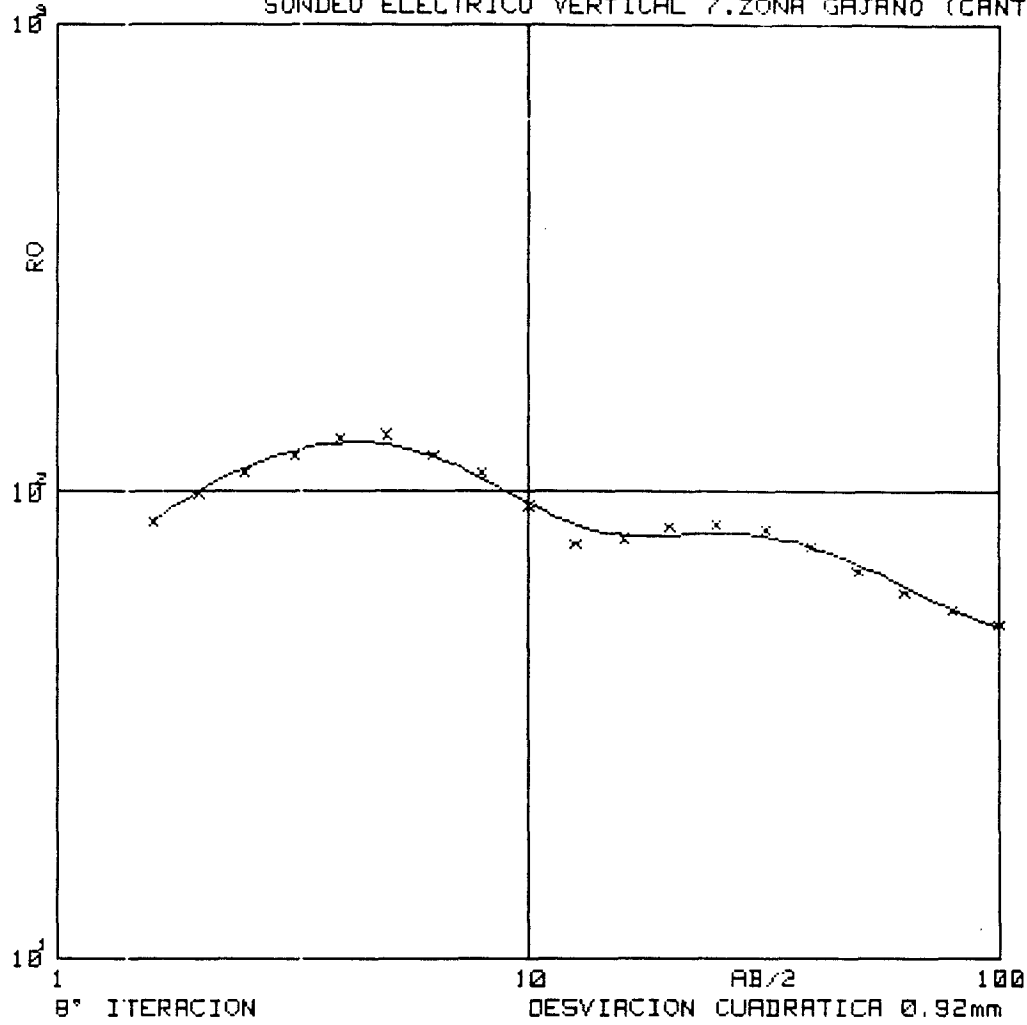
SONDEO ELECTRICO VERTICAL 6.ZONA GAJANO (CANTABRIA)



MODELO  
=====

CAPA ====	RESISTIVIDAD =====	PROFUNDIDAD =====
1	44.6	1.7
2	18.6	5.5
3	213.2	

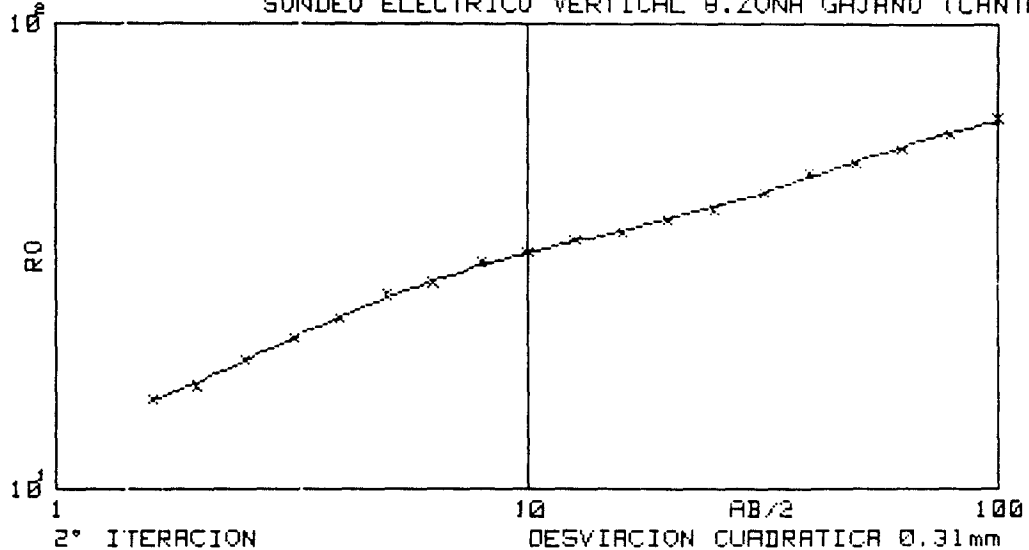
SONDEO ELECTRICO VERTICAL 7.ZONA GAJANO (CANTABRIA)



MODELO  
=====

CAPA ====	RESISTIVIDAD =====	PROFUNDIDAD =====
1	36.3	0.5
2	506.0	1.5
3	19.8	3.9
4	281.8	9.0
5	43.5	

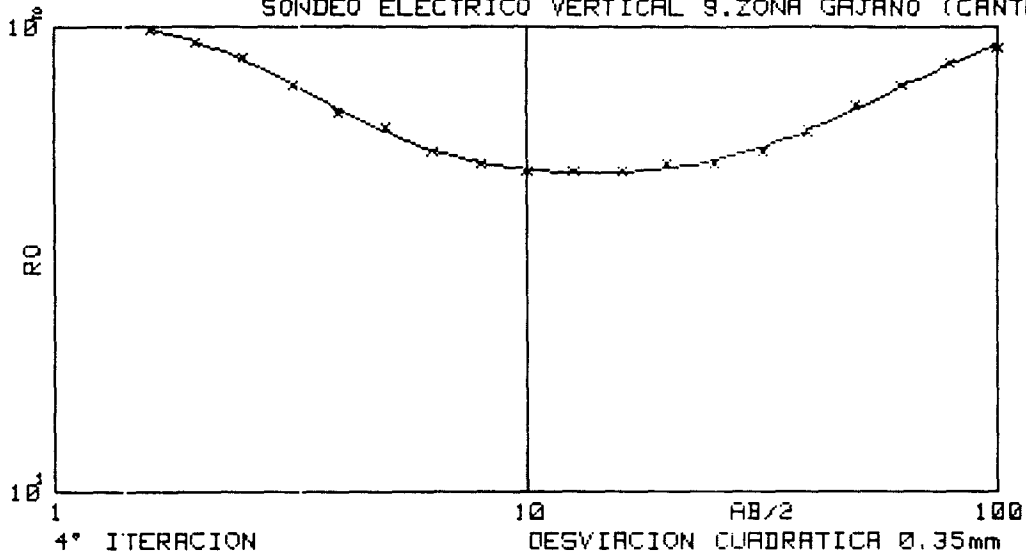
SONDEO ELECTRICO VERTICAL B.ZONA GRJANO (CANTABRIA)



MODELO  
=====

CAPA ====	RESISTIVIDAD =====	PROFUNDIDAD =====
1	12.8	1.1
2	37.5	17.0
3	72.9	

SONDEO ELECTRICO VERTICAL 9.ZONA GAJANO (CANTABRIA)



4° INTERACION

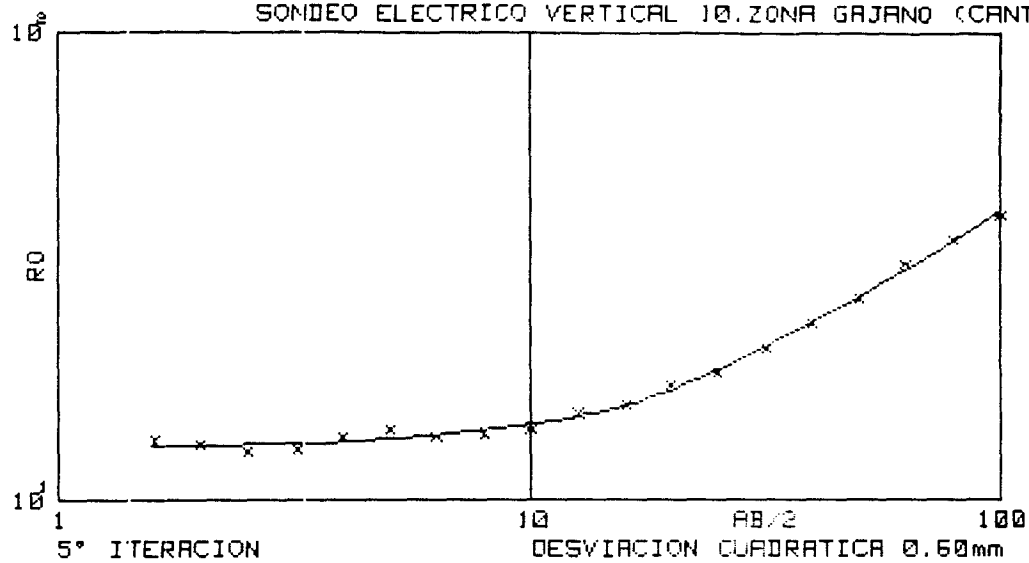
$AB/2$   
DESVIACION CUADRATICA 0.35mm

MODELO

=====

CAPA	RESISTIVIDAD	PROFUNDIDAD
=====	=====	=====
1	108.0	1.4
2	46.5	25.1
3	140.1	

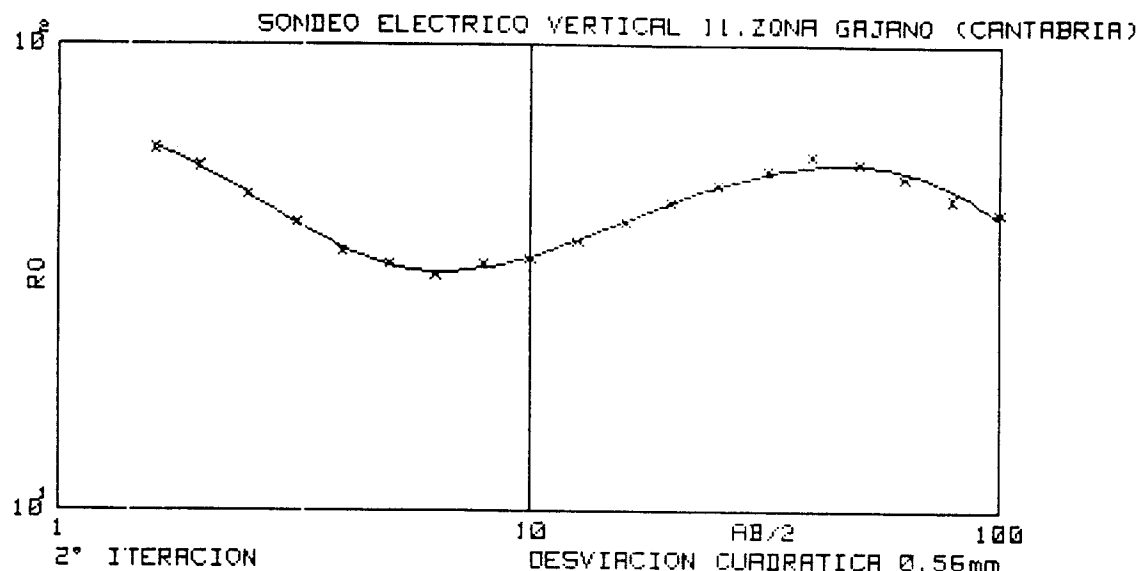
## SONDEO ELECTRICO VERTICAL 10. ZONA GAJANO (CANTABRIA)



MODELO

=====

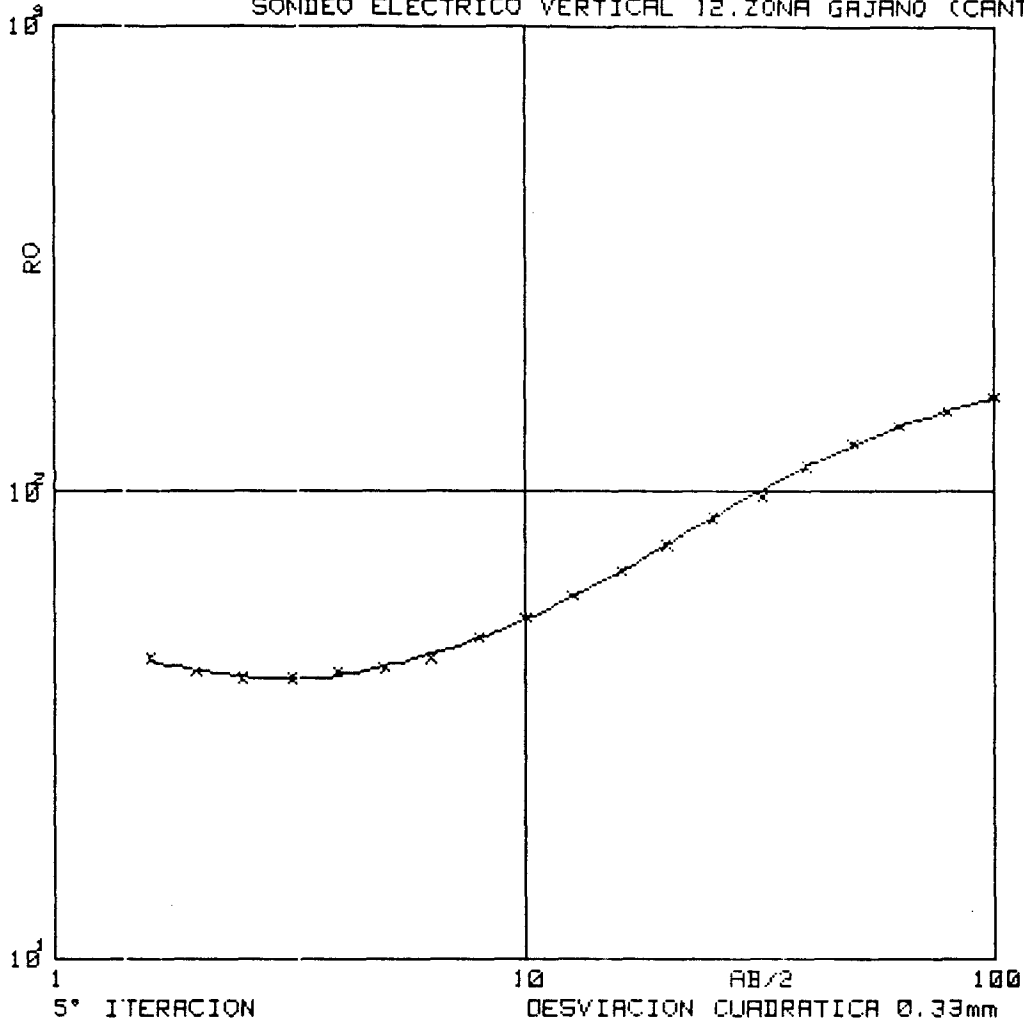
CAPA	RESISTIVIDAD	PROFUNDIDAD
1	13.2	1.2
2	12.9	3.9
3	35.4	4.4
4	12.5	11.8
5	36.2	54.1
6	179.9	



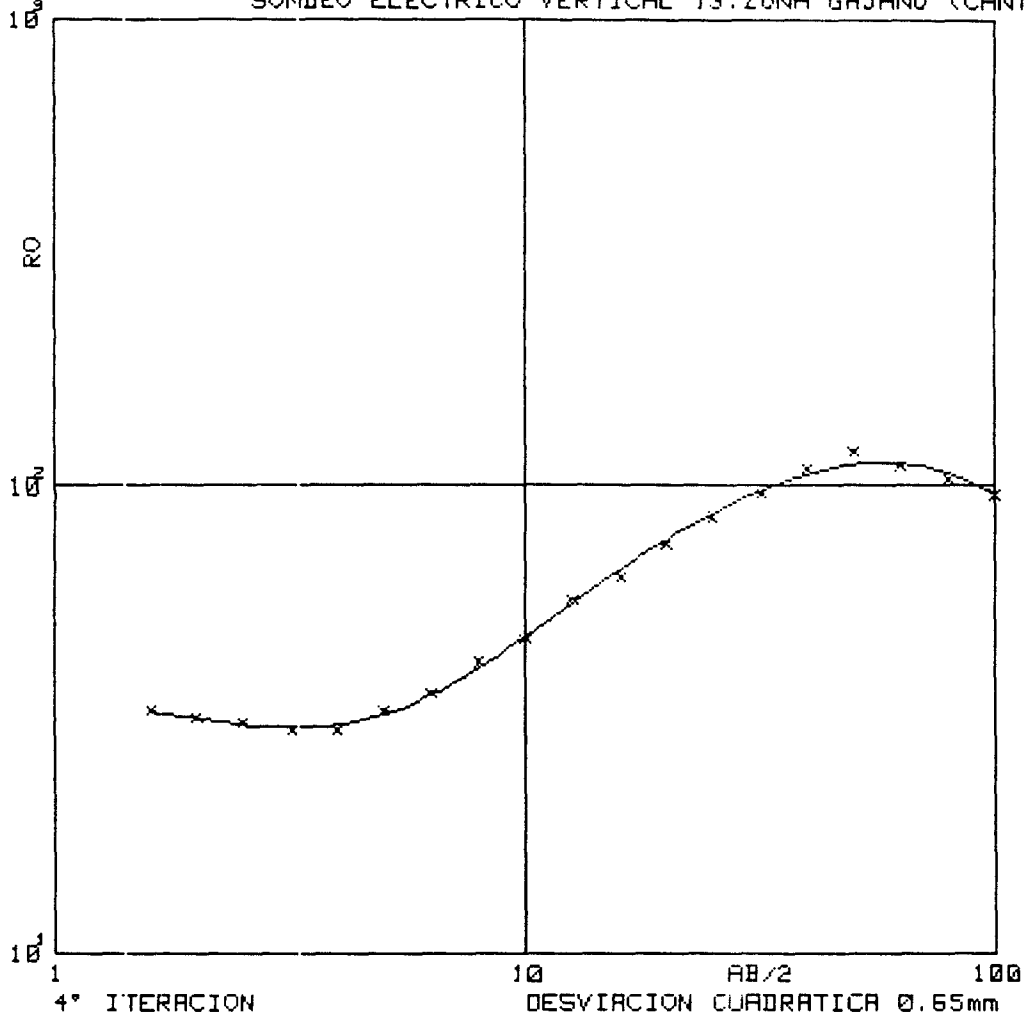
MODELO  
=====

CAPA ====	RESISTIVIDAD =====	PROFUNDIDAD =====
1	72.7	1.1
2	27.4	6.8
3	73.4	45.7
4	15.0	

SONDEO ELECTRICO VERTICAL 12, ZONA GAJANO (CANTABRIA)



## SONDEO ELECTRICO VERTICAL 13.ZONA GAJANO (CANTABRIA)



4° ITERACION

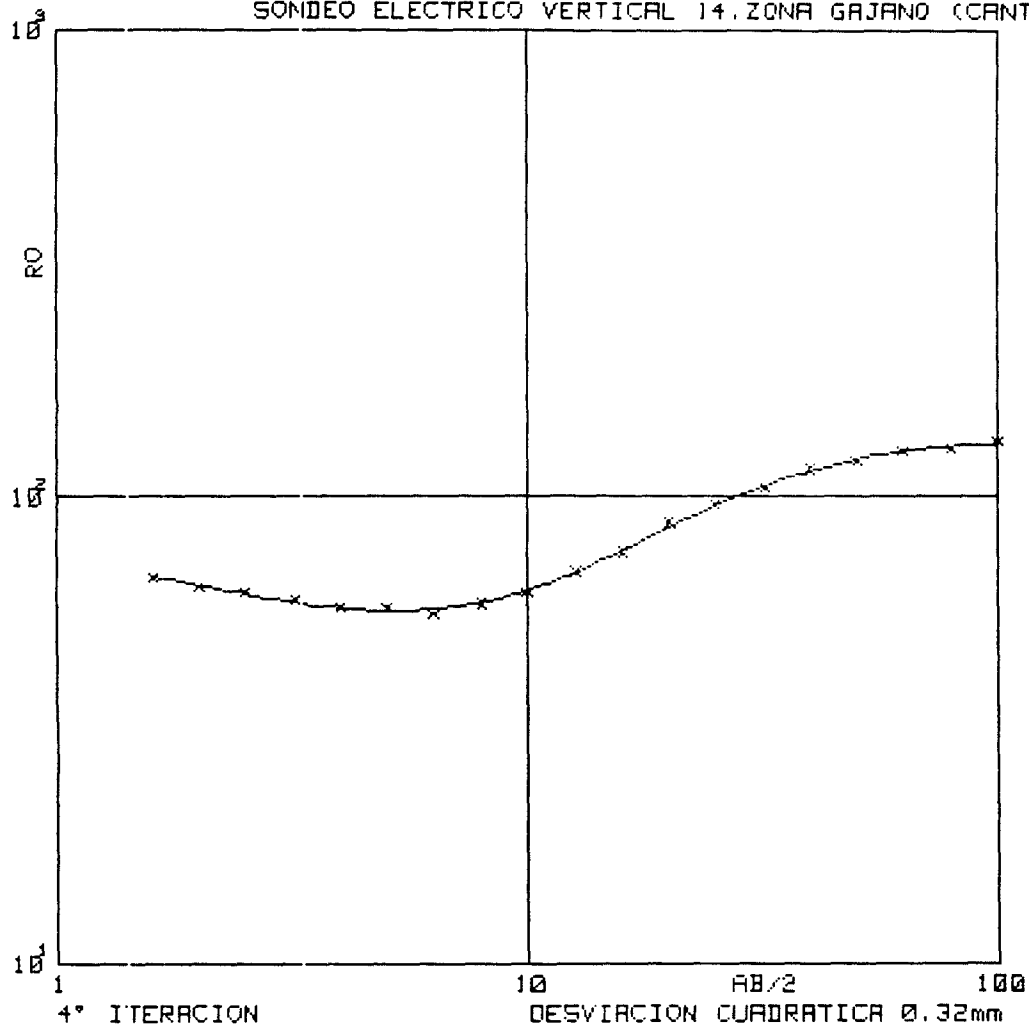
DESVIACION CUADRATICA 0.65mm

## MODELO

=====

CAPA	RESISTIVIDAD	PROFUNDIDAD
=====	=====	=====
1	35.6	1.0
2	25.6	4.7
3	201.5	33.5
4	40.7	

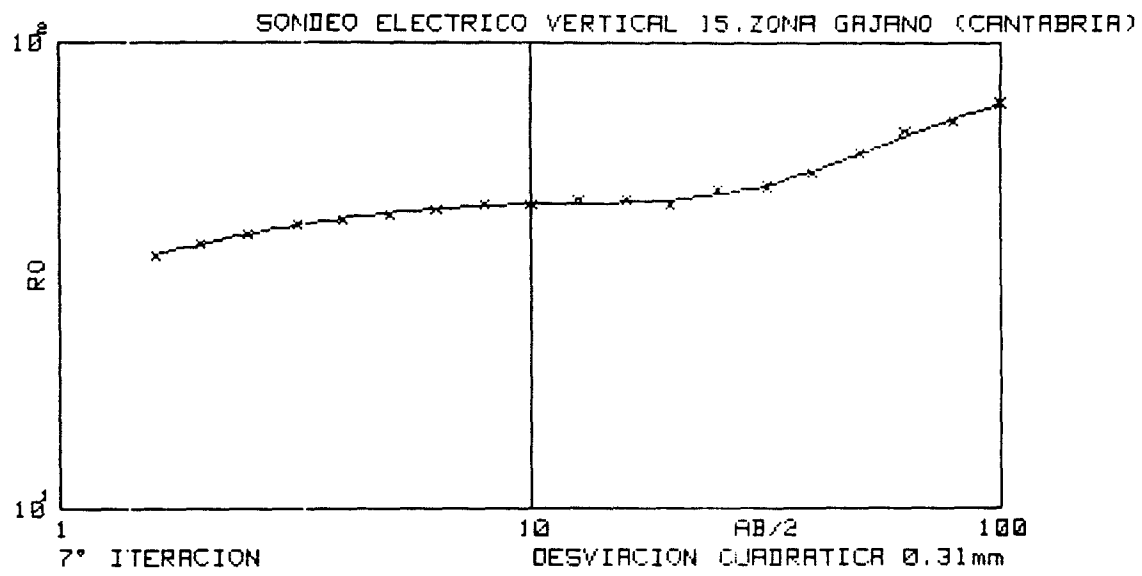
## SONDEO ELECTRICO VERTICAL 14, ZONA GAJANO (CANTABRIA)



4° INTERACION

AB/2  
DESVIACION CURVATICA 0.32mmMODELO  
=====

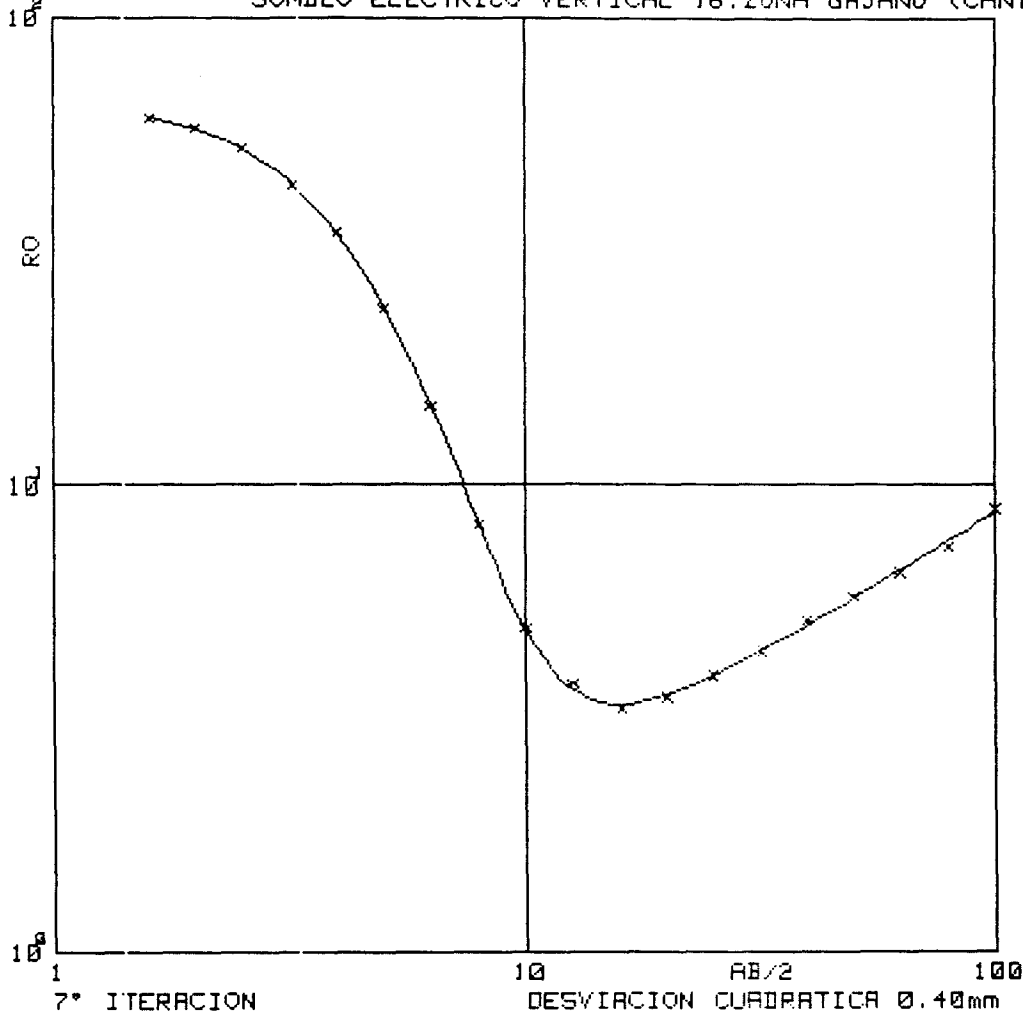
CAPA	RESISTIVIDAD	PROFUNDIDAD
1	74.2	0.9
2	52.8	8.6
3	234.9	16.6
4	130.3	



MODELO  
=====

CAPA	RESISTIVIDAD	PROFUNDIDAD
1	29.5	0.7
2	46.4	9.9
3	38.0	21.3
4	97.1	

SONDEO ELECTRICO VERTICAL 16, ZONA GAJANO (CANTABRIA)

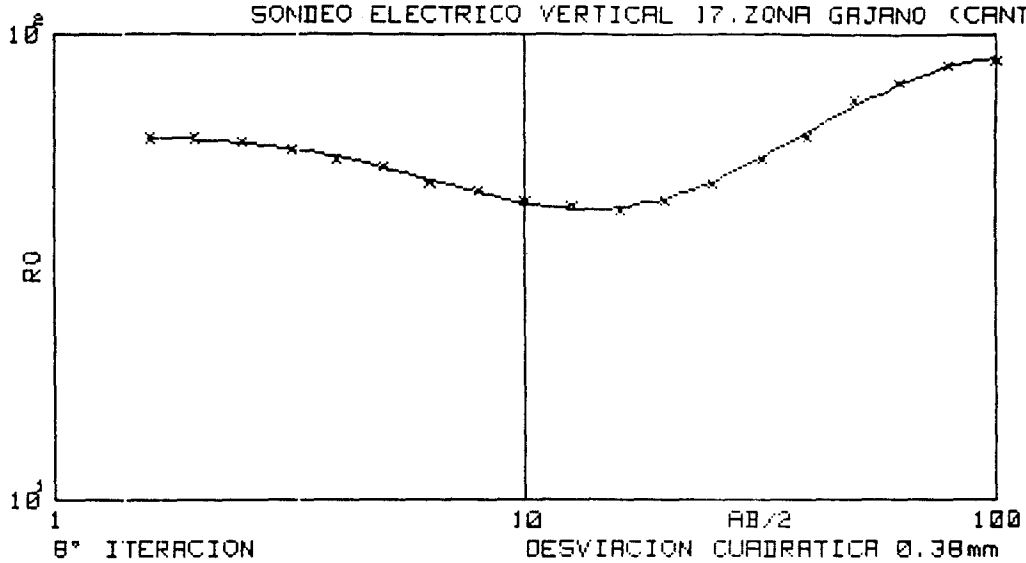


MODELO

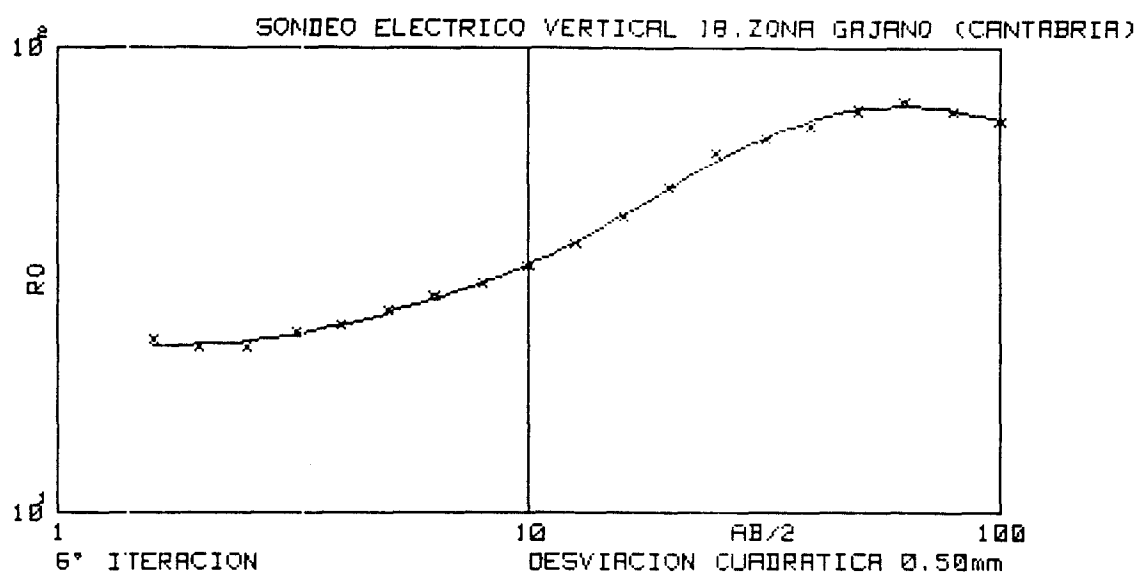
=====

CAPA	RESISTIVIDAD	PROFUNDIDAD
1	65.8	2.2
2	2.7	15.2
3	8.5	46.9
4	22.7	

## SONDEO ELECTRICO VERTICAL 17, ZONA GAJANO (CANTABRIA)

10<sup>1</sup>                  10                  AB/2                  100  
8° INTERACION                  DESVIACION CUADRATICA 0.38mmMODELO  
=====

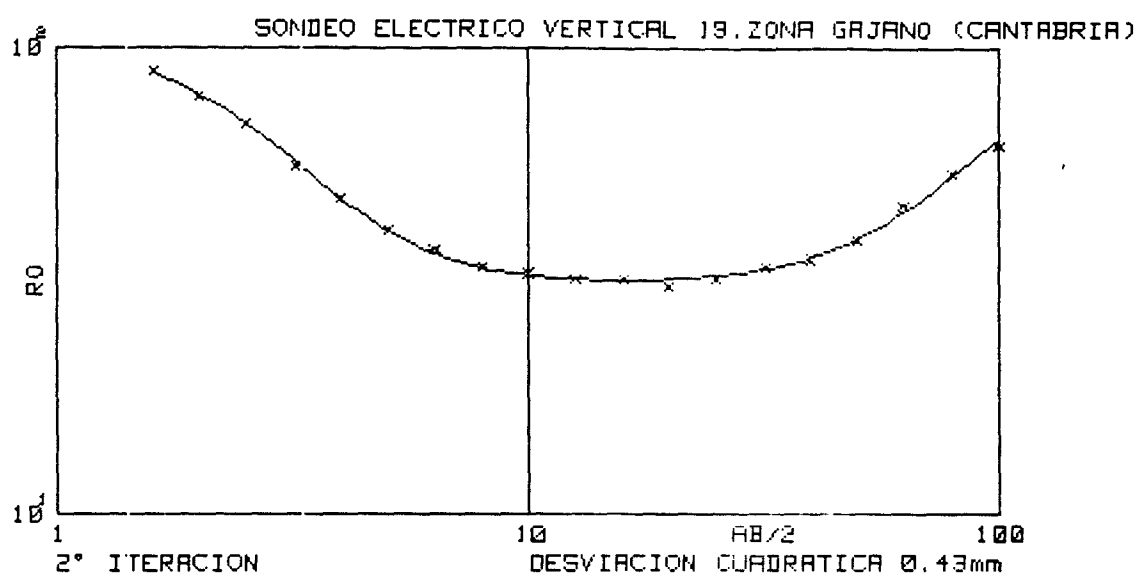
CAPA	RESISTIVIDAD	PROFUNDIDAD
1	60.8	2.7
2	36.6	20.0
3	1014.6	24.8
4	71.7	



MODELO

=====

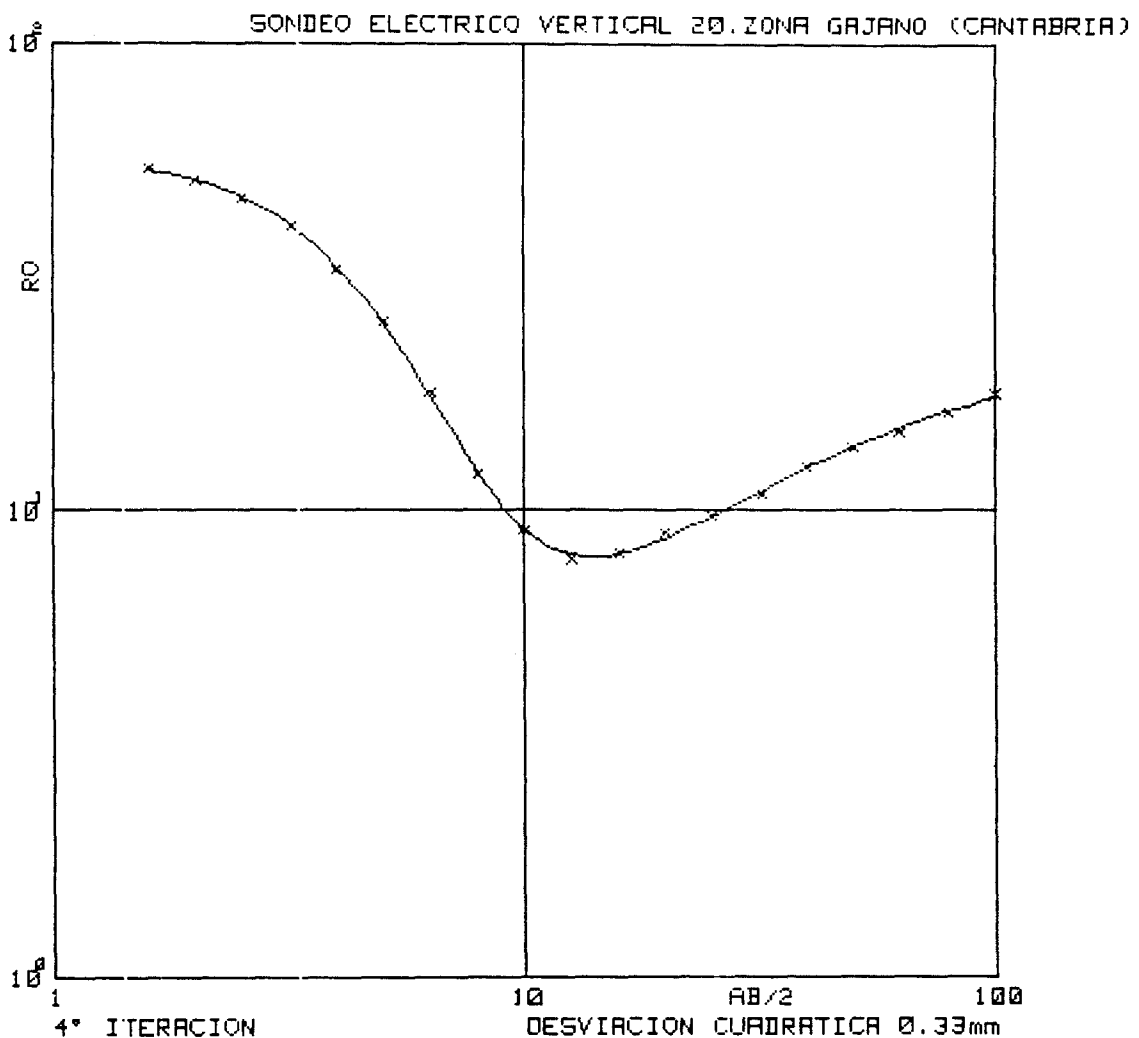
CAPA	RESISTIVIDAD	PROFUNDIDAD
1	23.7	0.9
2	17.9	1.7
3	32.1	9.5
4	473.3	14.7
5	49.5	



MODELO

=====

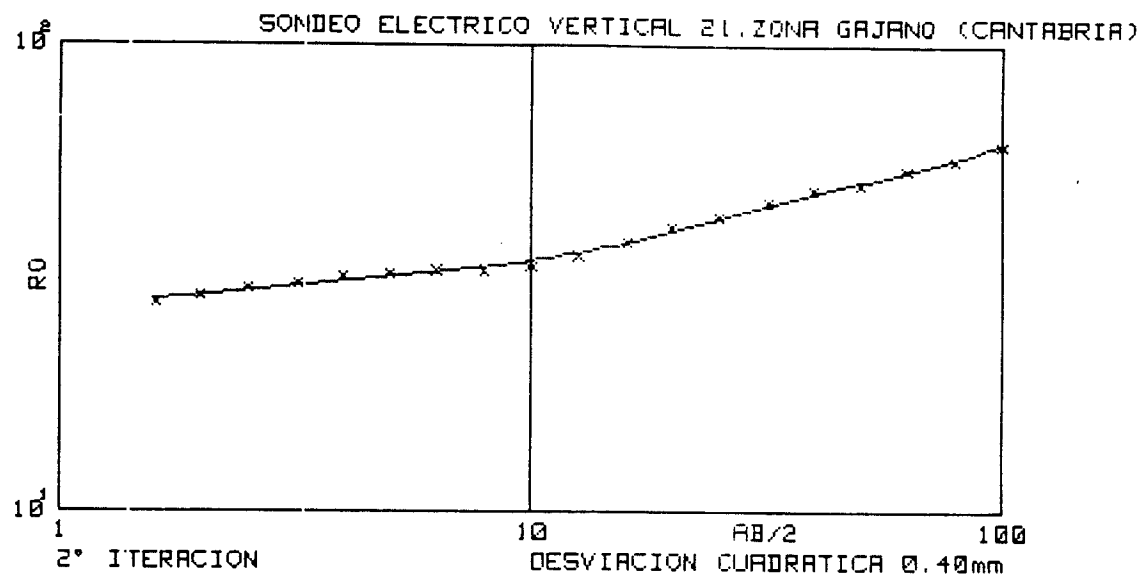
CAPa	RESISTIVIDAD	PROFUNDIDAD
=====	=====	=====
1	104.5	1.2
2	31.0	45.5
3	618.3	



MODELO

=====

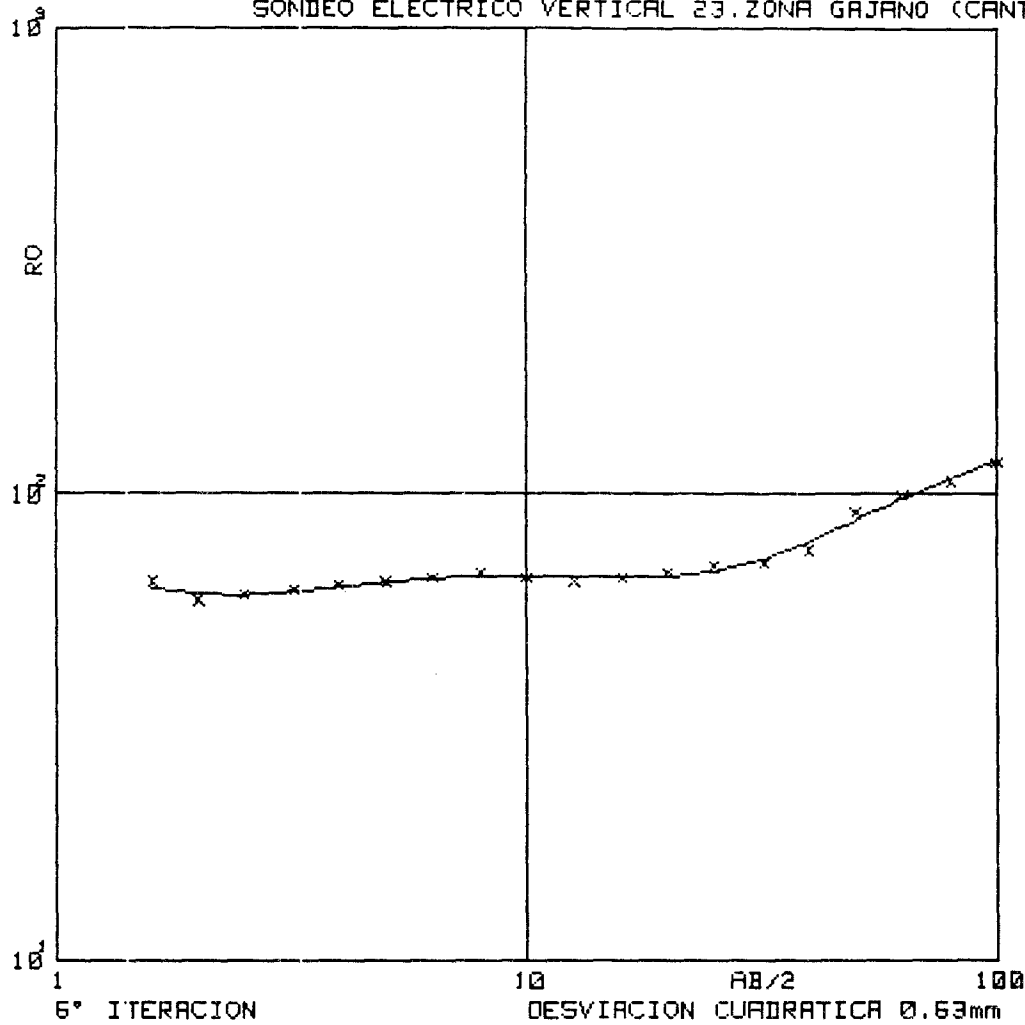
CAPA	RESISTIVIDAD	PROFUNDIDAD
1	57.1	2.2
2	6.0	12.7
3	21.5	



MODELO  
=====

CAPAS	RESISTIVIDAD	PROFUNDIDAD
1	27.3	1.1
2	33.3	9.2
3	55.8	83.1
4	188.9	

## SONDEO ELECTRICO VERTICAL 23. ZONA GAJANO (CANTABRIA)

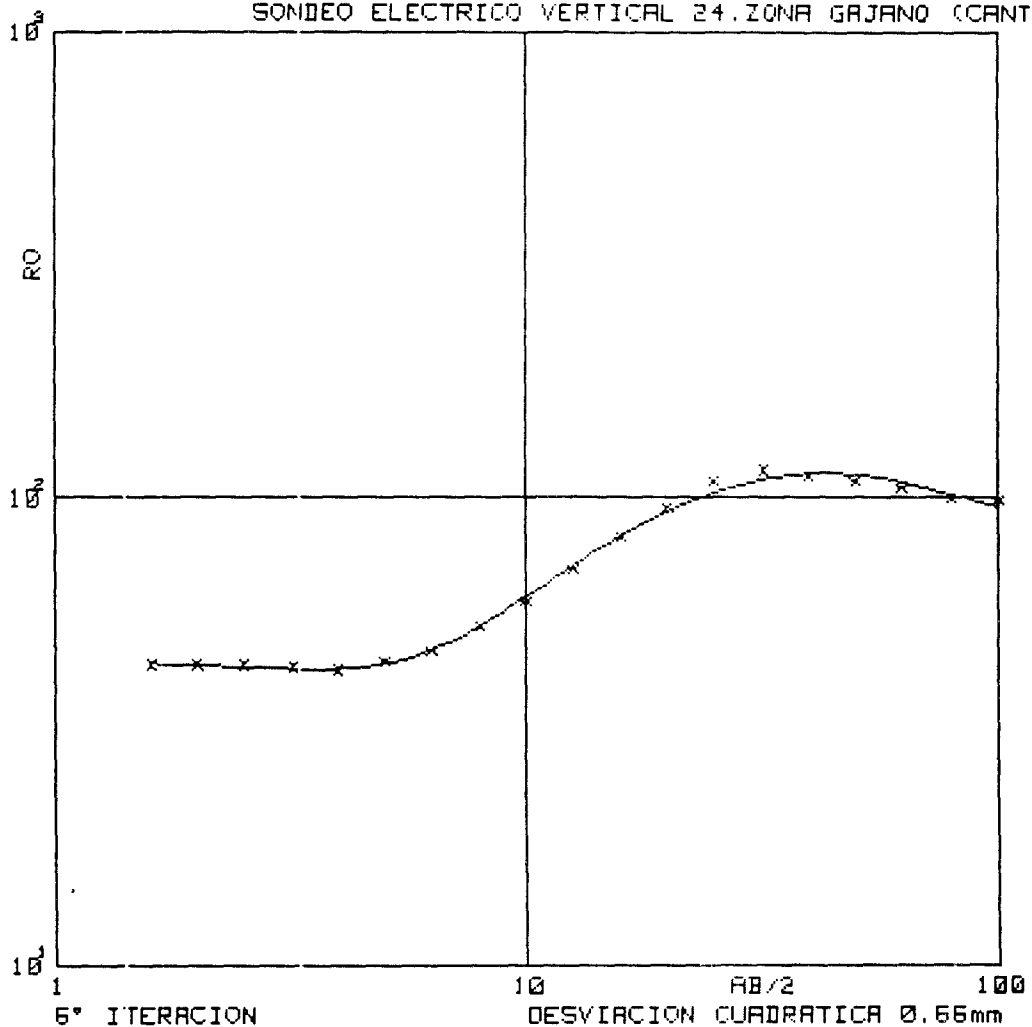


MODELO

=====

CAPA	RESISTIVIDAD	PROFUNDIDAD
1	75.1	0.7
2	37.9	1.1
3	70.7	10.2
4	30.8	13.9
5	70.8	19.4
6	160.4	

SONDEO ELECTRICO VERTICAL 24, ZONA GRJANO (CANTABRIA)

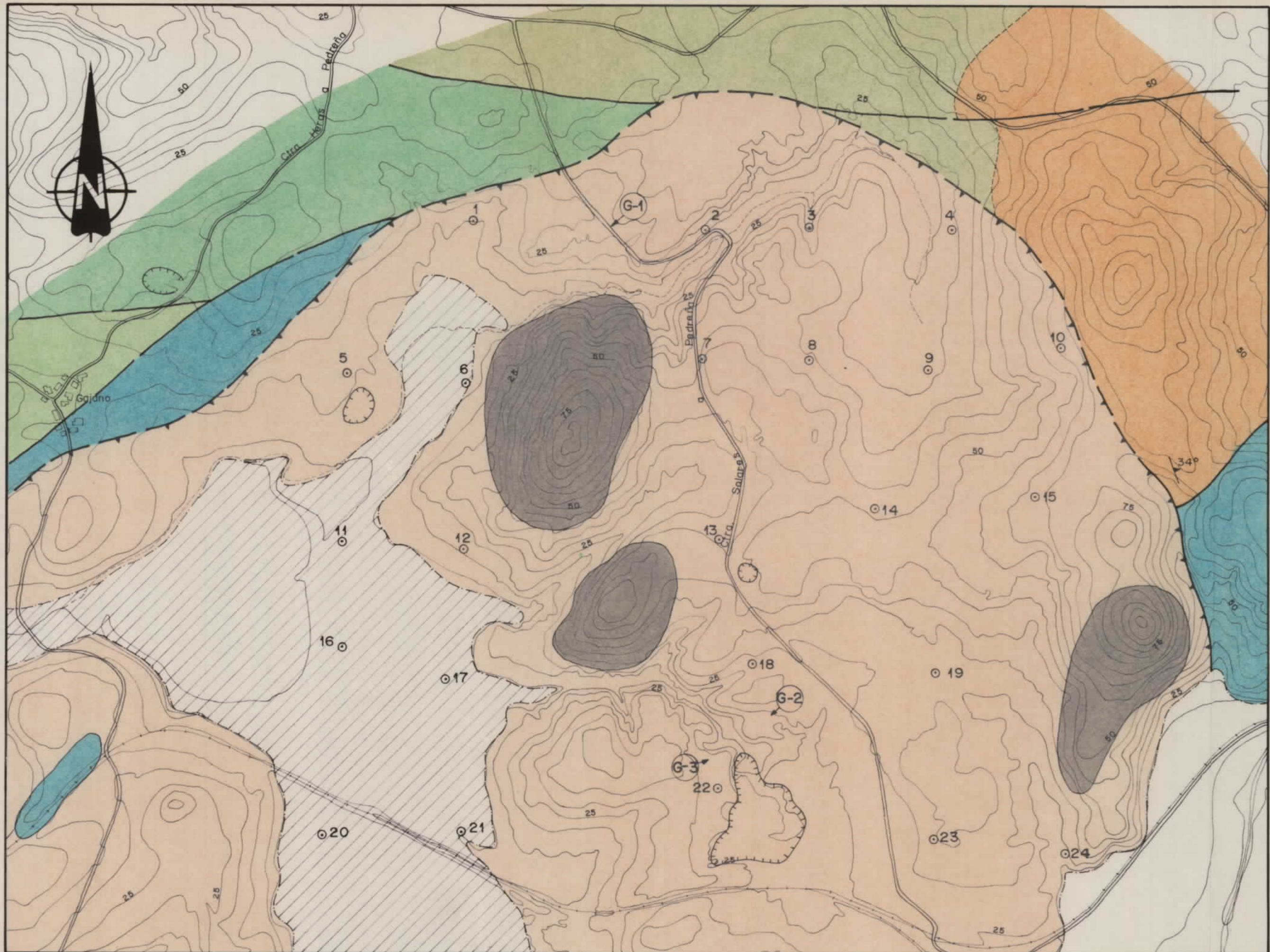


6° ITERACION

AB/2  
DESVIACION CUADRATICA Ø,66mm

MODELO  
=====

CAPA	RESISTIVIDAD	PROFUNDIDAD
1	44.8	2.2
2	26.6	4.5
3	352.9	11.7
4	78.8	



### LEYENDA

CUATERNARIO	(a)	Depósitos de aluvial (b). Depósitos restituídos por el hombre(a).
	(b)	
CRETACICO SUP. TERCIARIO INF.		Calizas grises nodulosas.
CRETACICO SUPERIOR		Margas y calizas.
INFERIOR		Calizas grises y cremas con rudistas.
JURASICO		Areniscas ocreas y limolitas arcillosas amarillentas.
TRIASICO		Calizas grises.
		Limolitas arcillosas rojas con indicios de yeso; asomos ófíticos.

### Signos Convencionales

- Contacto normal.
- Contacto mecánico.
- — — Contacto discordante.
- — — Falla.
- — — Falla supuesta.
- — — Cabalgamiento.
- — — Cabalgamiento supuesto.
- — — Cantera inactiva.
- — — Dirección y buzamiento.
- S.E.V.
- G-1 Toma de muestra.

DIBUJADO  
M.José Sánchez V.

FECHA  
ABRIL-89

COMPROBADO  
Miguel L. Rodríguez

AUTOR I.T.G.E.

ESCALA  
1: 10.000

CONSULTOR

MINISTERIO DE INDUSTRIA Y ENERGIA  
INSTITUTO GEOLOGICO Y MINERO DE ESPAÑA



PROYECTO  
INVESTIGACION GEOFISICA EN  
GAJANO (CANTABRIA)

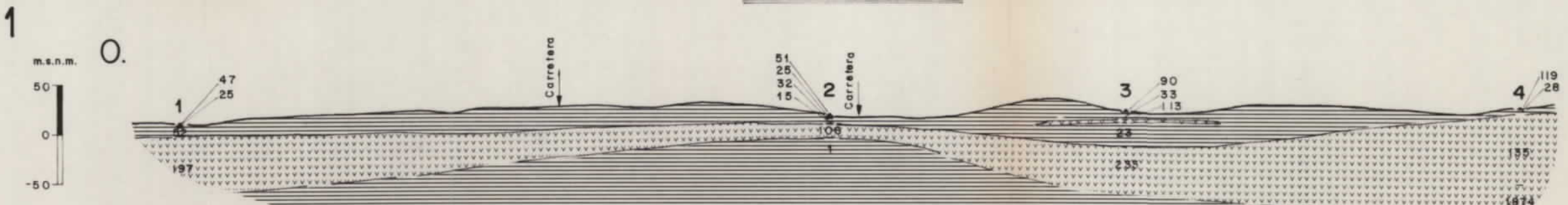
CLAVE

PLANO GEOLOGICO Y DE SITUACION  
DE S.E.V.

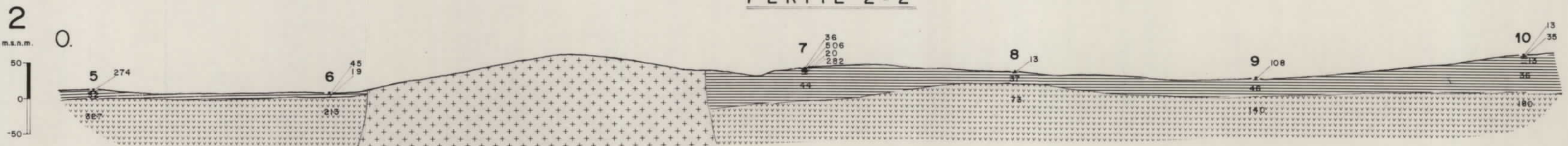
PLANO N°

1

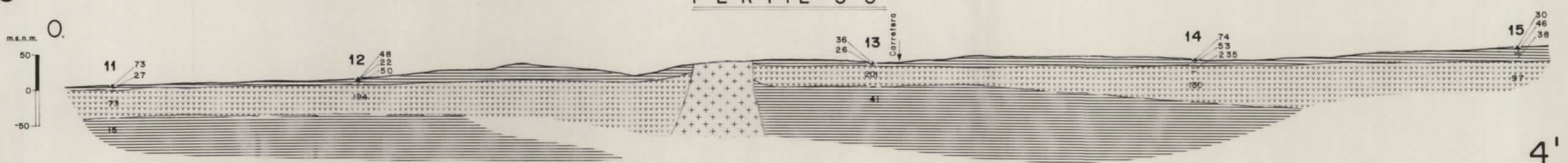
PERFIL 1-1'



PERFIL 2-2'



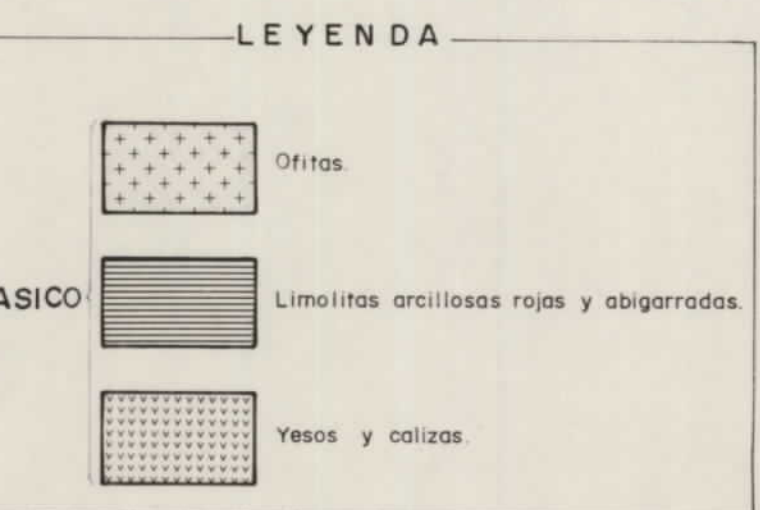
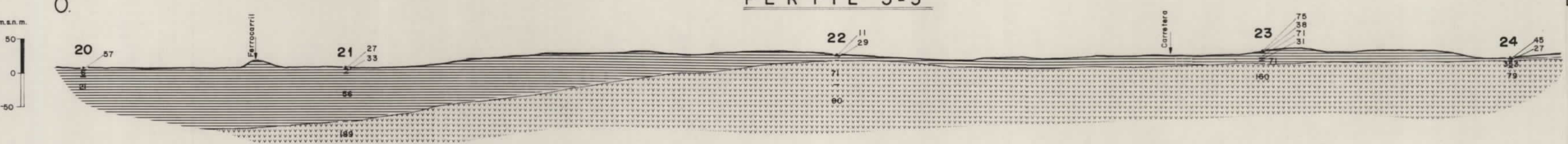
PERFIL 3-3'



PERFIL 4-4'

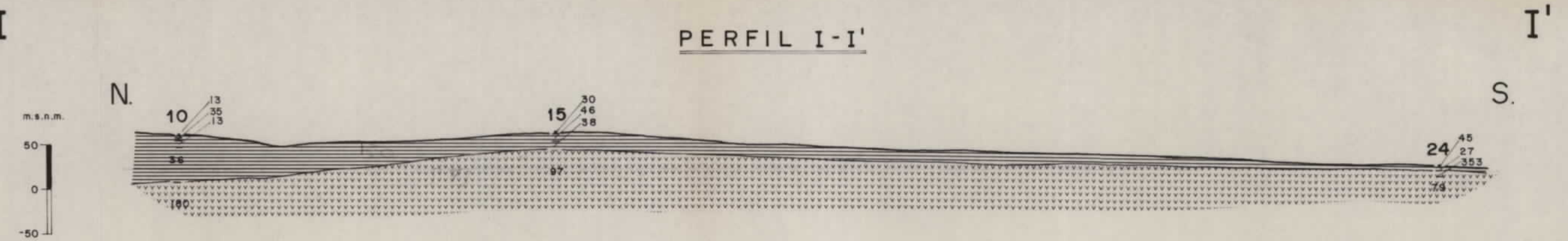


PERFIL 5-5'



DIBUJADO	M. José Sánchez V.
FECHA	ABRIL-89
COMPROBADO	Miguel L. Rodríguez
AUTOR	I.T.G.E.
ESCALA	1:5.000
CONSULTOR	PLANO DE CORTES GEOELECTRICOS PERFILES 1-1' al 5-5'
CLAVE	2
PROYECTO	MINISTERIO DE INDUSTRIA Y ENERGIA INSTITUTO GEOLOGICO Y MINERO DE ESPAÑA
IGME	

PERFIL I-I'

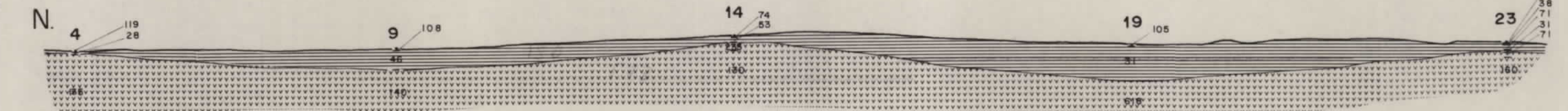


II

N.

m.s.n.m.  
50  
0  
-50

PERFIL II-II'



III

N.

m.s.n.m.  
50  
0  
-50

PERFIL III-III'

III'

S.

90  
33  
113  
8  
13  
23  
73  
233

PERFIL IV-IV'

IV

N.

m.s.n.m.  
50  
0  
-50

Carretera  
Carretera

IV'

S.

V

N.

m.s.n.m.  
50  
0  
-50

PERFIL V-V'

V'

S.

VI

N.

m.s.n.m.  
50  
0  
-50

PERFIL VI-VI'

VI'

S.

DIBUJADO M. José Sánchez V.  
FECHA ABRIL -89  
COMPROBADO Miguel L. Rodriguez  
AUTOR I.T.G.E.  
ESCALA 1:5.000  
CONSULTOR

MINISTERIO DE INDUSTRIA Y ENERGIA  
INSTITUTO GEOLOGICO Y MINERO DE ESPAÑA



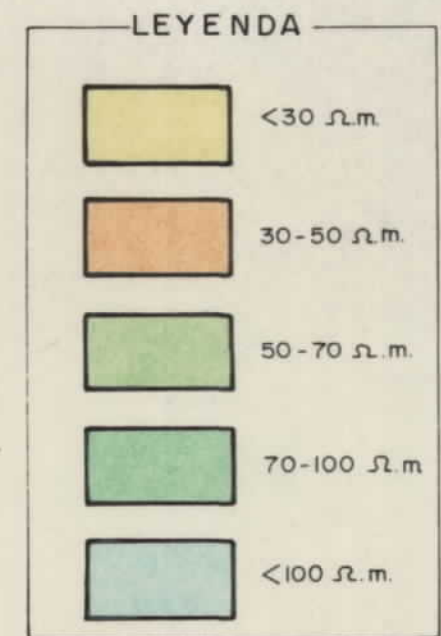
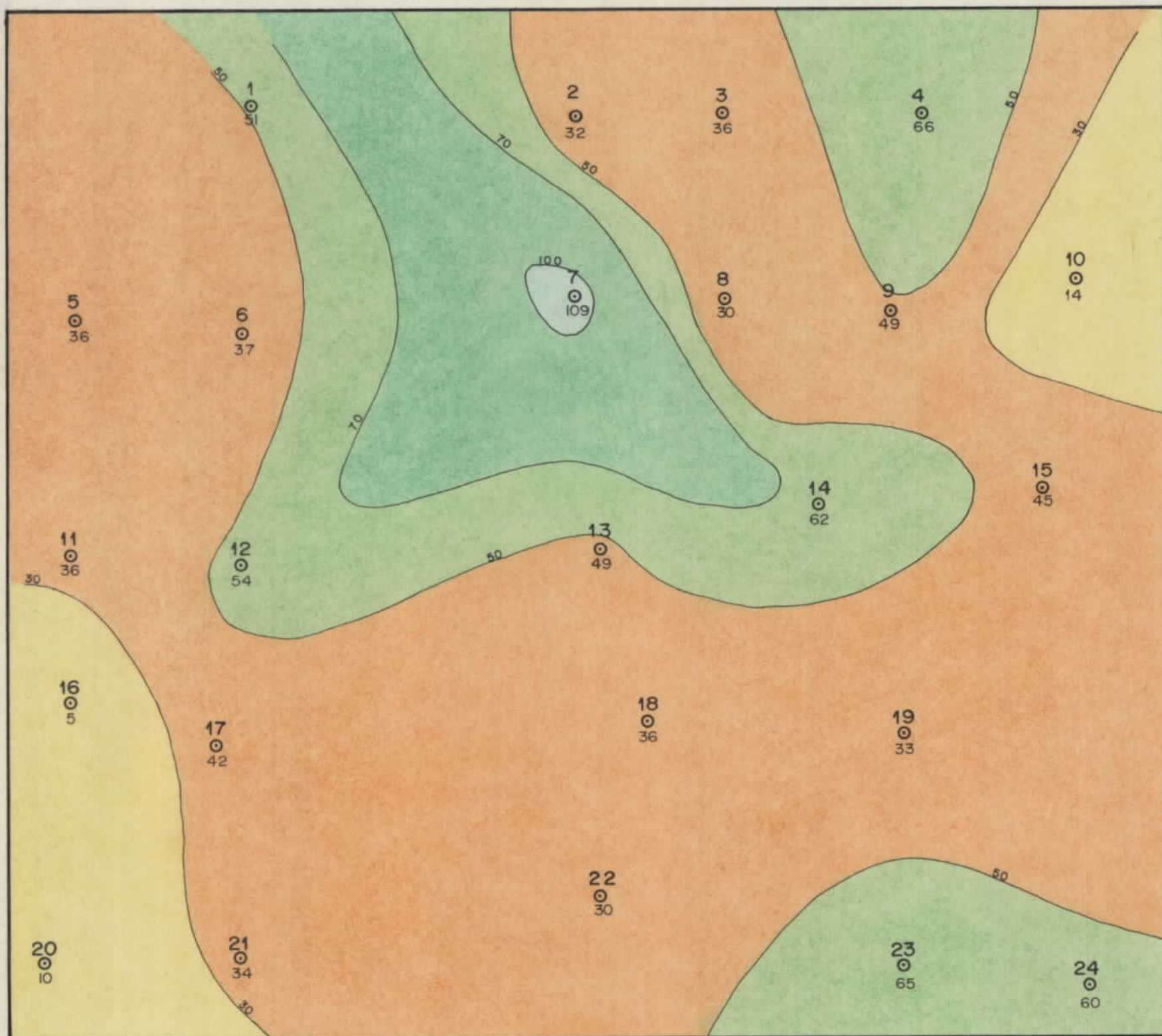
PROYECTO INVESTIGACION GEOFISICA EN  
GAJANO (CANTABRIA)

CLAVE

PLANO DE CORTES GEOFELCTRICOS  
PERFILES I-I' al VI-VI'

PLANO N°

3



DIBUJADO  
M. José Sánchez V.

FECHA  
ABRIL-89

COMPROBADO  
Miguel L. Rodríguez

AUTOR  
I.T.G.E.

ESCALA  
1:10.000

CONSULTOR

MINISTERIO DE INDUSTRIA Y ENERGIA

INSTITUTO GEOLOGICO Y MINERO DE ESPAÑA



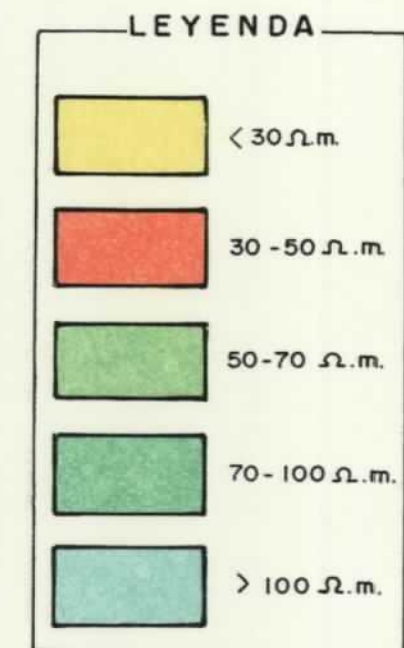
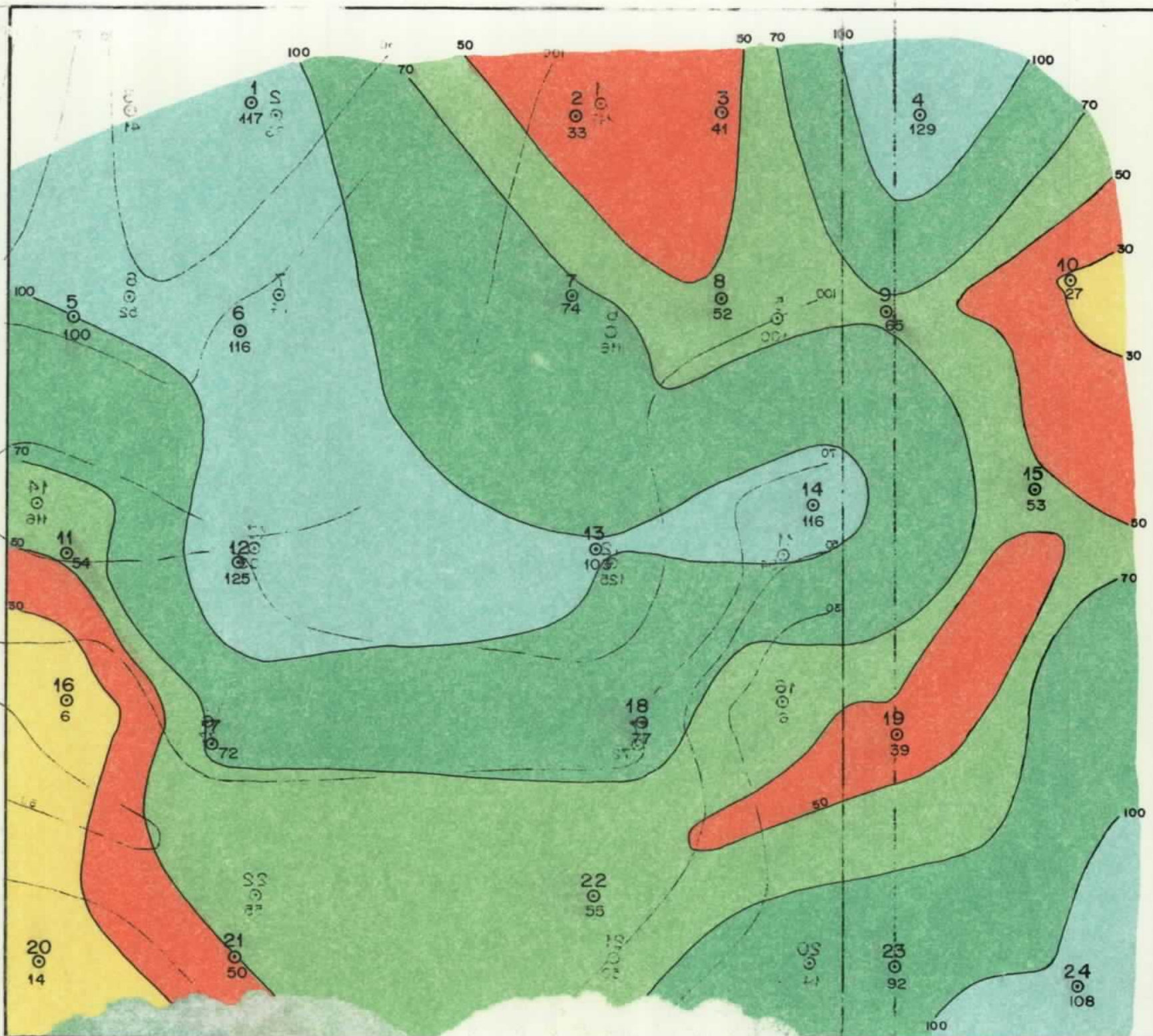
PROYECTO  
**INVESTIGACION GEOFISICA EN  
GAJANO (CANTABRIA)**

CLAVE

PLANO N°

4

PLANO DE ISORRESISTIVIDADES  
EN PLANTA - AB = 10 m.  
2



MINISTERIO DE INDUSTRIA Y ENERGIA  
INSTITUTO GEOLÓGICO Y MINERO DE ESPAÑA

PROYECTO  
INVESTIGACION GEOFISICA EN  
GAJANO (CANTABRIA)

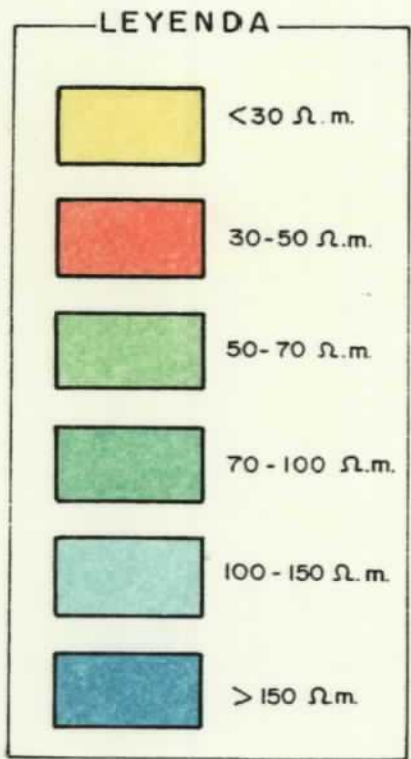
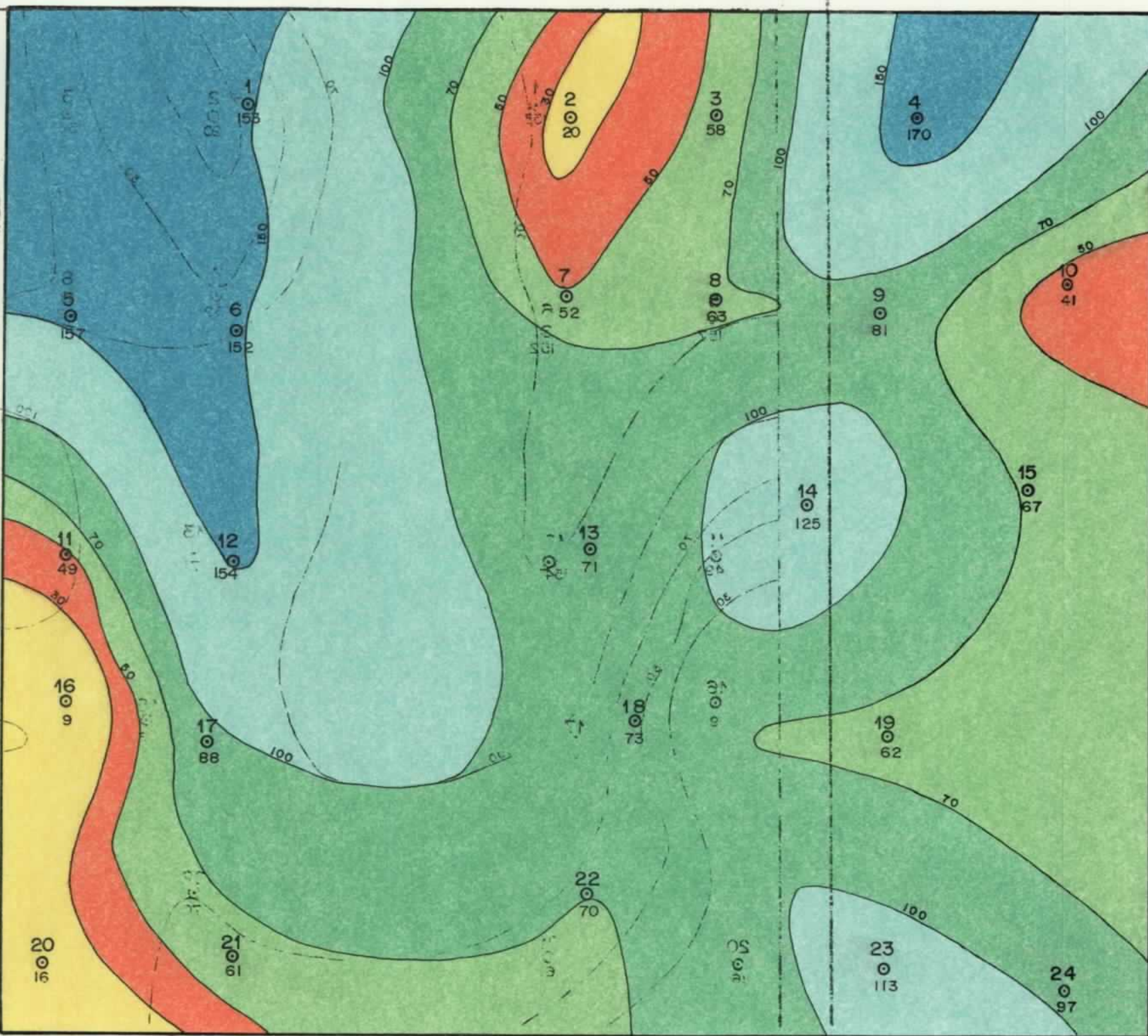
DIBUJADO M. José Sánchez V.  
FECHA ABRIL-89  
COMPROBADO Miguel L. Rodriguez  
AUTOR I.T.G.E.  
ESCALA 1:10.000  
CONSULTOR

CLAVE

PLANO N° 5

PLANO DE ISORRESISTIVIDADES  
EN PLANTA -  $\frac{AB}{2} = 50\text{m}$





DIBUJADO  
M.José Sánchez V.

FECHA  
ABRIL - 89

COMPROBADO  
Miguel L.Rodríguez

AUTOR  
I.T.G.E.

ESCALA  
1:10.000

CONSULTOR

MINISTERIO DE INDUSTRIA Y ENERGIA  
INSTITUTO GEOLÓGICO Y MINERO DE ESPAÑA



PROYECTO  
INVESTIGACION GEOFISICA EN  
GAJANO (CANTABRIA)

CLAVE

PLANO N°

6

PLANO DE ISORRESISTIVIDADES  
EN PLANTA - AB = 100m  
2